

الله زخمی



دانشگاه صنعتی شاهرود

دانشکده عمران و معماری

بررسی جداسازهای لرزه‌ای فعال

دانشجو: محسن برآبادی

استاد راهنمای

دکتر علی کیهانی

استاد مشاور

دکتر رامین امینی

پایان نامه جهت اخذ درجه کارشناسی ارشد مهندسی عمران گرایش سازه

۸۹ تیرماه

تصویب‌نامه

تشکر و قدردانی

در ابتدا لازم می‌دانم از راهنمایی‌ها و زحمات بی‌دریغ و دلسوزانه استاد راهنمایی گرانقدرم جناب آقای دکتر کیهانی کمال تشکر را داشته باشم که مسلمًاً اگر راهنمایی‌ها و مساعدت‌های ایشان نبود این پایان‌نامه به ثمر نمی‌رسید.

همچنین از جناب آقای دکتر امینی که استاد مشاور اینجانب در این پایان‌نامه بودند و همیشه با برخورد شایسته، اینجانب را مورد عنایت و راهنمایی قرار می‌دادند، قدردانی می‌نمایم.
در پایان از تمام دوستانی که تجارت خود را خالصانه با بندۀ به اشتراک می‌گذاشتند و یاور بندۀ بودند، سپاسگزاری می‌نمایم.

تعہدناامہ

چکیده

در این تحقیق تأثیر سیستم جداساز لرزه‌ای فعال بر روی پاسخ لرزه‌ای سازه‌های چند درجه آزادی تحت اثر دو نوع زمین‌لرزه حوزه‌نزدیک و حوزه‌دور، موردنبررسی قرار گرفته است. استفاده از سیستمهای جداسازی لرزه‌ای یکی از موثرترین راههای کنترل ارتعاشات سازه و کاهش این ارتعاشات می‌باشد. از آنجاییکه سازه‌ها تحت تأثیر شرایط مختلف بارگذاری جانبی قرار می‌گیرند، استفاده از سیستمهای جداساز لرزه‌ای غیرفعال نمی‌تواند تأثیر ایده‌آلی بر روی سازه در شرایط مختلف داشته باشد؛ لذا بهنظر می‌رسد استفاده از سیستمهای جداساز لرزه‌ای فعال را حل مناسبی برای حل این مشکل ارائه دهد. الگوریتم‌های مختلفی برای کنترل سیستمهای فعال وجود دارد که در این تحقیق از الگوریتم تنظیم‌کننده خطی درجه دوم (LQR) استفاده شده است. در ابتدا یک سازه پنج درجه آزادی مدل‌شده بوسیله نرم‌افزار MATLAB، در سه حالت بدون جداساز لرزه‌ای، با جداساز لرزه‌ای غیرفعال و با جداساز لرزه‌ای فعال و همچنین تحت تأثیر دو نوع زلزله حوزه‌دور و حوزه‌نزدیک مورد مطالعه قرار گرفته است. در حالت بدون جداساز لرزه‌ای و با جداساز لرزه‌ای غیرفعال، فرمول‌بندی ریاضی از طریق معادلات ماتریسی و در حالت با جداساز لرزه‌ای فعال، فرمول‌بندی از طریق معادلات فضای حالت انجام شده است. نتایج نشان می‌دهد که سیستم کنترل فعال تأثیر مطلوبی بر کنترل لرزه‌ای سازه دارد. پس از آن برای بررسی عملکرد جداسازهای لرزه‌ای در سازه‌های بلندمرتبه، یک سازه چهارده درجه آزادی موردمطالعه قرار گرفته و پاسخ‌های آن با سازه پنج درجه آزادی مقایسه شده است که نشان‌دهنده آن است که جداسازهای لرزه‌ای در سازه‌های بلندمرتبه تأثیر ایده‌آلی در کنترل لرزه‌ای سازه ندارند. لازم به ذکر است در روش LQR که الگوریتم مورد استفاده در این تحقیق می‌باشد، برای بدست آوردن ماتریس‌های وزنی Q و R بهینه برای هر نوع زلزله و مدل متفاوت، بر روی ماتریس‌های وزنی مطالعه پارامتریک انجام شده و با توجه به خواسته‌های طراحی، Q و R تعیین شده است. کلمات کلیدی: جداساز لرزه‌ای فعال، کنترل لرزه‌ای، زلزله حوزه‌نزدیک، زلزله حوزه‌دور، LQR.

فهرست مطالب

۱	فصل اول : مقدمه
۲	۱-۱ - طرح مسئله
۲	۱-۱-۱ - مقدمه
۴	۲-۱-۱ - مفاهیم
۵	۳-۱-۱ - اهمیت تکنولوژی سازه‌های هوشمند در علم عمران
۷	۱-۲ - انواع روش‌های حفاظت لردهای سازه
۸	۱-۲-۱ - روش سختی
۹	۲-۲-۱ - روش میرایی
۱۵	۳-۲-۱ - روش جداسازی
۲۱	۱-۳ - تاریخچه جداسازهای لردهای
۲۵	فصل دوم : کنترل لردهای
۲۶	۱-۲ - مقدمه
۲۷	۲-۲ - طبقه‌بندی روش‌های کنترل لردهای
۲۹	۳-۲ - تجهیزات کنترل لردهای
۳۲	۴-۲ - کنترل لردهای فعال

۳۴	فصل سوم : کنترل مدرن
۳۵	۱-۳ - مقدمه
۳۵	۲-۳ - مفاهیم
۴۰	۳-۳ - کنترل مقاوم
۴۱	۱-۳-۳ - تاریخچه
۴۲	۲-۳-۳ - ضرورت استفاده از کنترل مقاوم
۴۲	۳-۳-۳ - فرآیند تحلیل و طراحی در کنترل مقاوم
۴۳	۴-۳ - فیدبک حالت
۴۳	۱-۴-۳ - فرآیند طراحی کنترل کننده
۴۴	۲-۴-۳ - بررسی فیدبک حالت
۴۵	۳-۴-۳ - کنترل فیدبک حالت بهینه : LQR
۴۶	۵-۳ - رؤیتگر حالت [۱۰]
۴۷	۱-۵-۳ - رؤیتگر مقدماتی
۴۸	۲-۵-۳ - رؤیتگر مرتبه کامل
۴۹	۳-۵-۳ - رؤیتگر بهینه : فیلتر کالمن
۵۲	فصل چهارم : مدلسازی و تحلیل نتایج
۵۳	۱-۴ مقدمه
۵۵	۲-۴ - فرمول بندی ریاضی

۵۵	- معادلات ماتریسی ۱-۲-۴
۵۸	- معادلات فضای حالت ۲-۲-۴
۶۰	- شبیه‌سازی مدل (Simulink) ۳-۴
۶۰	- حالت بدون جداساز لرزه‌ای (Fixed Structure) ۱-۳-۴
۶۱	- حالت با جداساز لرزه‌ای غیرفعال (Passive BI) ۲-۳-۴
۶۲	- حالت با جداساز لرزه‌ای فعال (Active BI) ۳-۳-۴
۶۴	- مطالعه پارامتریک ماتریس‌های وزنی Q و R ۴-۴
۸۱	- بررسی نتایج تحلیل ۵-۴
۸۳	- تحلیل و بررسی نتایج بر روی مدل شماره ۱ ۱-۵-۴
۹۷	- تحلیل و بررسی نتایج بر روی مدل شماره ۲ ۲-۵-۴
۱۱۱	فصل پنجم : نتیجه‌گیری
۱۱۴	پیشنهادات
۱۱۵	مراجع

فهرست اشکال

..... ۶ شکل ۱-۱: مخزن مرتفع آب با تجهیزات میرایی
..... ۱۰ شکل ۲-۱: شمای کلی میراگر جرمی تنظیم شده
..... ۱۱ شکل ۳-۱: انواع میراگر جرمی تنظیم شده
..... ۱۱ شکل ۴-۱: انواع میراگر سیال تنظیم شده
..... ۱۲ شکل ۵-۱: میراگرهای اصطکاکی
..... ۱۳ شکل ۶-۱: میراگر اصطکاکی سومیتومو و جزئیات آن
..... ۱۴ شکل ۷-۱: نمونه‌ای از میراگر فلزی جاری‌شونده
..... ۱۴ شکل ۸-۱: میراگرهای ویسکوالاستیک
..... ۱۵ شکل ۹-۱: میراگرهای سیال ویسکوز
..... ۱۵ شکل ۱۰-۱: استفاده از روش جداسازی برای جدا کردن سازه از مولفه افقی نیروی زلزله
..... ۱۶ شکل ۱۱-۱: تکیه‌گاه الاستومری
..... ۱۸ شکل ۱۲-۱: تکیه‌گاه لاستیکی سربی
..... ۱۹ شکل ۱۳-۱: تکیه‌گاه لاستیکی دمپینگ بالا
..... ۲۰ شکل ۱۴-۱: تکیه‌گاه پاندولی اصطکاکی
..... ۲۱ شکل ۱۵-۱: تکیه‌گاه گلدانی
..... ۲۸ شکل ۱۶-۱: طبقه‌بندی روش‌های کنترل لرزه‌ای
..... ۲۸ شکل ۲-۱: نمای کلی سیستم کنترل لرزه‌ای به روش CCM
..... ۲۹ شکل ۳-۲: نمای خارجی دو برج بلند مرتبه با سیستم کنترل لرزه‌ای به روش CCM
..... ۳۰ شکل ۴-۲: نمای کلی اعمال میراگر جرمی

..... شکل ۵-۲ : نمای کلی اعمال سیستم CCM به روش فعال و غیرفعال	۳۱
..... شکل ۶-۲ : نمای کلی اعمال سیستم مهاربندی به روش غیرفعال و نیمهفعال	۳۱
..... شکل ۷-۲ : نمای کلی اعمال سیستم جداساز لرزه‌ای به روش غیرفعال و نیمهفعال	۳۲
..... شکل ۸-۲ : اجزاء اصلی حلقه کنترل فعال	۳۳
..... شکل ۱-۳ : نمایش یک سیستم حلقه‌باز و حلقه‌بسته	۳۷
..... شکل ۲-۳ : نمایش کلی سیستم کنترل	۳۸
..... شکل ۴-۱ : طرح کلی مدل استفاده	۵۳
..... شکل ۴-۲ : مدل شماتیک سازه پنج درجه آزادی بدون جداساز لرزه‌ای	۵۶
..... شکل ۴-۳ : مدل شماتیک سازه پنج درجه آزادی با جداساز لرزه‌ای غیرفعال	۵۸
..... شکل ۴-۴ : مدل شماتیک سازه پنج درجه آزادی با جداساز لرزه‌ای فعال	۶۰
..... شکل ۵-۴ : شبیه‌سازی مدل شماره ۱ مربوط به حالت بدون جداساز لرزه‌ای	۶۱
..... شکل ۶-۴ : شبیه‌سازی مدل شماره ۱ مربوط به حالت با جداساز لرزه‌ای غیرفعال	۶۲
..... شکل ۷-۴ : شبیه‌سازی مدل شماره ۱ مربوط به حالت با جداساز لرزه‌ای فعال	۶۳
..... شکل ۸-۴ : نیروی کنترل تقاضا تحت زلزله السنترو	۶۸
..... شکل ۹-۴ : تغییرمکان بام نسبت به پایه تحت زلزله السنترو	۶۹
..... شکل ۱۰-۴ : تغییرمکان پایه تحت زلزله السنترو	۷۰
..... شکل ۱۱-۴ : نیروی کنترل تقاضا تحت زلزله کوبه	۷۱
..... شکل ۱۲-۴ : تغییرمکان بام نسبت به پایه تحت زلزله کوبه	۷۲
..... شکل ۱۳-۴ : تغییرمکان پایه تحت زلزله کوبه	۷۳
..... شکل ۱۴-۴ : نمودار هیسترزیس نیروی کنترل-جابجایی پایه مدل شماره ۱ (El Centro)	۷۹
..... شکل ۱۵-۴ : نمودار هیسترزیس نیروی کنترل-جابجایی پایه مدل شماره ۱ (Kobe)	۷۹

- شکل ۱۶-۴: نمودار هیسترزیس نیروی کنترل-جابجایی پایه مدل شماره ۲ (El Centro) ۸۰
- شکل ۱۷-۴: نمودار هیسترزیس نیروی کنترل-جابجایی پایه مدل شماره ۲ (Kobe) ۸۰
- شکل ۱۸-۴: شتابنگاشت زلزله Hachinohe و El Centro ۸۲
- شکل ۱۹-۴: شتابنگاشت زلزله Kobe و Northridge ۸۲
- شکل ۲۰-۴: تغییرمکان پایه در مدل شماره ۱ Hachinohe & El Centro ۸۳
- شکل ۲۱-۴: تغییرمکان پایه در مدل شماره ۱ Northridge & Kobe ۸۴
- شکل ۲۲-۴: تغییرمکان نسبی بام در مدل شماره ۱ El Centro & Hachinohe ۸۷
- شکل ۲۳-۴: تغییرمکان نسبی بام در مدل شماره ۱ Northridge & Kobe ۸۸
- شکل ۲۴-۴: شتاب واردہ به پایه در مدل شماره ۱ Hachinohe & El Centro ۹۱
- شکل ۲۵-۴: شتاب واردہ به پایه در مدل شماره ۱ Northridge & Kobe ۹۲
- شکل ۲۶-۴: شتاب واردہ به بام در مدل شماره ۱ Hachinohe & El Centro ۹۳
- شکل ۲۷-۴: شتاب واردہ به بام در مدل شماره ۱ Northridge & Kobe ۹۴
- شکل ۲۸-۴: تغییرمکان پایه در مدل شماره ۲ Hachinohe & El Centro ۹۷
- شکل ۲۹-۴: تغییرمکان پایه در مدل شماره ۲ Northridge & Kobe ۹۸
- شکل ۳۰-۴: تغییرمکان نسبی بام در مدل شماره ۲ Hachinohe & El Centro ۱۰۱
- شکل ۳۱-۴: تغییرمکان نسبی بام در مدل شماره ۲ Northridge & Kobe ۱۰۲
- شکل ۳۲-۴: شتاب واردہ به پایه در مدل شماره ۲ Hachinohe & El Centro ۱۰۵
- شکل ۳۳-۴: شتاب واردہ به پایه در مدل شماره ۲ Northridge & Kobe ۱۰۶
- شکل ۳۴-۴: شتاب واردہ به بام در مدل شماره ۲ Hachinohe & El Centro ۱۰۷
- شکل ۳۵-۴: شتاب واردہ به بام در مدل شماره ۲ Northridge & Kobe ۱۰۸

فهرست جداول

جدول ۱-۴ : مشخصات مدل شماره ۱، Kelly و همکاران (۱۹۸۷) ۵۳
جدول ۲-۴ : مشخصات مدل شماره ۲، H.Yazici & R.Guclu ۵۴
جدول ۳-۴ : مقدار نیروی کنترل بیشینه تقاضا برای مدل شماره ۱ ۷۴
جدول ۴-۴ : مقدار تغییر مکان بیشینه بام نسبت به پایه برای مدل شماره ۱ ۷۴
جدول ۵-۴ : مقدار تغییر مکان بیشینه پایه برای مدل شماره ۱ ۷۴
جدول ۶-۴ : مقدار نیروی کنترل بیشینه تقاضا برای مدل شماره ۲ ۷۵
جدول ۷-۴ : مقدار تغییر مکان بیشینه بام نسبت به پایه برای مدل شماره ۲ ۷۵
جدول ۸-۴ : مقدار تغییر مکان بیشینه پایه برای مدل شماره ۲ ۷۵
جدول ۹-۴ : مقادیر نرمالیزه شده به تفکیک انواع مدل و زلزله ۷۸
جدول ۱۰-۴ : بررسی تغییر مکان بیشینه پایه در مدل شماره ۱ ۸۵
جدول ۱۱-۴ : بررسی تغییر مکان بیشینه بام نسبت به پایه در مدل شماره ۱ ۸۹
جدول ۱۲-۴ : بررسی شتاب بیشینه واردہ به پایه در مدل شماره ۱ ۹۵
جدول ۱۳-۴ : بررسی شتاب بیشینه واردہ به بام در مدل شماره ۱ ۹۶
جدول ۱۴-۴ : بررسی تغییر مکان بیشینه پایه در مدل شماره ۲ ۹۹
جدول ۱۵-۴ : بررسی تغییر مکان بیشینه بام نسبت به پایه در مدل شماره ۲ ۱۰۳
جدول ۱۶-۴ : بررسی شتاب بیشینه واردہ به پایه در مدل شماره ۲ ۱۰۹
جدول ۱۷-۴ : بررسی شتاب بیشینه واردہ به بام در مدل شماره ۲ ۱۱۰

فصل اول

مقدمه

“In **theory**, there is no difference between theory and practice; But, in **practice**, there is.”
Jan L.A. van de Snepscheut

۱-۱- طرح مسئله

مسئله اصلی که در طراحی سازه برای تأمین مقاومت لرزه‌ای آن وجود دارد به حداقل رساندن خسارت‌های واردہ به سازه و همچنین اجزاء غیرسازه‌ای آن است [۱]. این مسئله می‌تواند با کاهش تغییرمکان بین‌طبقه‌ای و شتاب طبقات سازه صورت پذیرد؛ چراکه تغییرمکان بین‌طبقه‌ای زیاد موجب خسارت دیدن عناصر سازه‌ای و شتاب بالای طبقات باعث خسارت دیدن اجزاء غیرسازه‌ای از جمله تجهیزات، لوازم داخلی و ... می‌شود. تغییر مکان بین‌طبقه‌ای را می‌توان با افزایش سختی سازه کاهش داد که در نتیجه آن شتاب طبقات بالا می‌رود. شتاب طبقات را نیز می‌توان با کاهش دادن سختی سازه و نرم کردن سیستم سازه‌ای پایین آورد که در نتیجه آن تغییر مکان بین‌طبقه‌ای زیاد می‌گردد. بنابراین می‌بایستی از مکانیزمی استفاده کرد که این دو عامل را بطور همزمان کاهش دهد.

۱-۱-۱- مقدمه

یکی از گسترده‌ترین سیستمهای حفاظت لرزه‌ای قابل قبول و به کاربرده شده در سازه‌ها، جداسازهای لرزه‌ای پایه می‌باشد. مفهوم جداساز لرزه‌ای بسیار ساده است؛ سیستم جداساز با انعطاف‌پذیری افقی که بین سازه و پی ایجاد می‌کند سازه را از مؤلفه‌های افقی زلزله جدا می‌سازد. مکانیزم اصلی سیستمهای جداساز شامل دو قسمت است : افزایش زمان تناوب اصلی سازه، ایجاد میرایی اضافی برای استهلاک انرژی واردہ [۲]. این دو مشخصه می‌تواند به ترتیب شتاب طبقات و تغییر مکان بین‌طبقه‌ای را کاهش دهد.

اولین تجهیزات به کاربرده شده در این سیستم، جداسازهای لاستیکی بود. مشکلی که در این سیستم با گذشت زمان و مشاهده عملکرد آن در انواع زلزله‌ها بخصوص زلزله‌های حوزه‌نزدیک و از نوع پالس سرعت بالا، نمود پیدا کرد تغییرمکان‌های بزرگ پایه بود. با ادامه مطالعات و تحقیقات در این زمینه، برای غلبه بر این مشکل از جداسازهای غیرخطی از قبیل تکیه‌گاه لاستیکی-سرپی، اصطکاکی و

لاستیکی با میرایی بالا استفاده شد. مزیت این تجهیزات، کاهش دادن نیروهای لرزه‌ای و دارا بودن میرایی کافی بطور همزمان است. اگرچه این نوع جداسازها باعث بالا بردن نیروهای وارد به سازه می‌شوند که شتاب سازه و تغییرمکان بین طبقه‌ای را افزایش می‌دهد [۳]؛ ولی در عین حال تاثیر بسزایی در کاهش تغییر مکان پایه دارند. این قبیل سیستمهای جداساز به دلیل عملکرد و رفتار واحد در انواع زلزله‌ها و عدم قابلیت تطبیق با تغییرات پاسخ سازه‌ای تحت تاثیر زلزله‌های مختلف، سیستمهای جداساز لرزه‌ای غیرفعال خوانده می‌شوند. این موضوع، نیاز به وجود یک سیستم هوشمند که بتواند در مقابل انواع زلزله‌های با مشخصات متفاوت، عملکرد متناسبی از خود نشان دهد را بیش از پیش آشکار کرد.

سیستمهای جداساز لرزه‌ای فعال را حل مناسبی برای کنترل همه‌جانبه سازه در انواع زلزله‌ها می‌باشند. این سیستمهای ترکیبی از جداسازهای لرزه‌ای غیرفعال و عملگرهای فعال هستند [۴]. به این ترتیب با بهره‌گیری از مزایای سیستمهای جداساز غیرفعال از یک طرف، و برطرف کردن نقص آن بوسیله کنترل هوشمند از طرف دیگر، یک ترکیب نسبتاً ایده‌آل را خواهیم داشت.

تحقیقات گسترده بر روی کنترل پاسخ سازه‌ای در حدود سال‌های 1960 انجام گرفت. فجایع ویرانگری همچون زلزله Northridge (1994) در ایالات متحده، زلزله Hyogoken-Nanbu (1995) در ژاپن و زلزله Chi-Chi (1999) در تایوان، موجب شتاب گرفتن کاربرد تکنولوژی‌های کنترل پاسخ در سازه‌ها شد. بطور ویژه در ژاپن و چین، بر پایه گسترش علوم و تحقیقات جهانی و با پیشرفت تکنولوژی کامپیوتر که امکان بررسی عملکرد پاسخ سازه‌های کنترل شده را ممکن می‌ساخت، تجهیزات کنترلی جدید گسترش پیدا کردند [۴].

۱-۲- مفاهیم

الف) پاسخ سازه : رفتار سازه و مؤلفه‌هایش (مانند ستون، تیر، صفحه‌ها و ...) در برابر نیروهای استاتیک و بارهای دینامیک را پاسخ سازه‌ای می‌نامند؛ مانند تغییر مکان در برابر نیروهای استاتیک و ارتعاش تحت بارهای دینامیک [۵].

ب) روش‌های معمول طراحی سازه : روش معمول طراحی سازه، تأمین مقاومت کافی برای تحمل بارهای واردہ با قابلیت شکل‌پذیری مناسب است. این نوع طراحی سازه با چند عامل محدود کننده رو به رو است :

- این سازه‌ها برای استهلاک انرژی دینامیکی که به آنها وارد می‌شود، به میرایی مصالح و اتصالات‌شان وابسته هستند که مقدار این میرایی در مقابل نیروهای واردہ بسیار پایین است. در این نوع سازه‌ها برای غلبه بر این مشکل هیچ راهکاری در نظر گرفته نشده است؛ مانند سازه‌های بتن‌آرم و فلزی رایج.

- این سازه‌ها ظرفیت مقاومتی و استهلاکی ثابتی دارند که در نتیجه نمی‌توانند با تغییرات تحریکات محیطی مانند باد و زمین‌لرزه، سازگار شوند.

- به طور کلی این سازه‌ها برای مقاومت در مقابل بارهای واردہ تنها به سختی‌شان وابسته هستند [۵].

پ) سیستم‌های سازه‌ای هوشمند : امروزه چالش اصلی مهندسی سازه، طراحی بهتر سازه‌ها در برابر تأثیرات ویرانی ناشی از زلزله و طوفان‌های شدید است. محدودیت‌های روش‌های معمول طراحی سازه، محققان را برای پیدا کردن یک روش جایگزین و راه حل مناسب ترغیب کرد. تحقیقات علمی گسترده منجر به کشف مواد مصنوعی و طبیعی جدیدی شد که خواصی غیرمعمول داشتند. این مواد،

سیستم‌های هوشمندی که بطور خودکار خودشان را با تغییرات محیطی هماهنگ می‌کنند را به وجود آورده‌اند که به سیستم‌های سازگار معروفند. این اکتشافات و اضافه شدن سیستم‌های سازگار و مصالح و تجهیزات هوشمند به سازه‌ها، نهایتاً منجر به ظهر مفهوم جدیدی به نام سازه‌های هوشمند شد. این نوع سازه‌ها می‌توانند خود را مانیتور کنند و با محیط سازگار شوند [۵].

یک سیستم سازه‌ای هوشمند، قابلیت درک و حس‌کردن تغییرات محیطی، تشخیص معایب و مشکلات در موقعیت‌های بحرانی، ذخیره و فراخوانی اطلاعات اندازه‌گیری شده و در نهایت پیدا کردن دستورالعمل مناسب برای بهبود عملکرد سیستم و یکپارچگی سازه را دارا می‌باشد [۵]. سیستم‌های سازه‌ای هوشمند، مفهوم جدیدی هستند که تأثیر زیادی در بهبود عملکرد سازه‌ها در برابر این تأثیرات داشته‌اند. این سیستم‌ها انرژی و نیروهای ویرانگر وارد به سازه را جذب و خنثی می‌کنند و به این طریق خرابی‌های سازه‌ای را بطور قابل ملاحظه‌ای کاهش می‌دهند. این سیستم‌ها در حال حاضر مراحل تکامل و توسعه را با سرعت طی می‌کنند [۵].

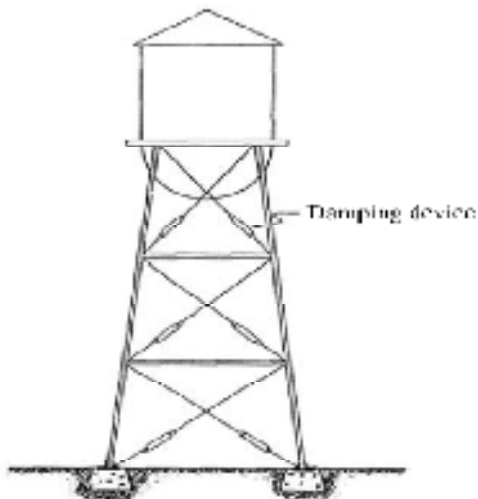
۱-۳-۱-۱-۳- اهمیت تکنولوژی سازه‌های هوشمند در علم عمران

“Measure what is measurable, and make measurable what is not so.” *Galileo Galilei*

سازه‌های عمرانی مانند ساختمان‌ها، پل‌ها، برج‌ها و ... ممکن است در معرض نیروهای وارد بطور شدیدی ارتعاش کنند و یا حتی ویران شوند. همانطور که گفته شد اکثر این سازه‌ها برای مقابله با این نیروها به سختی‌شان وابسته هستند. این سازه‌ها غیرفعال هستند و نمی‌توانند در مقابل تغییرات نیروی زلزله و باد خود را سازگار کنند. برای مقابله با تحريكات قویتر، افزایش در مقاومت و شکل‌پذیری سازه موردنیاز است؛ اما مقاومت بالا و مصالح سازه‌ای انعطاف‌پذیر معمولاً هزینه‌های بالایی را در بر خواهد داشت. تکنولوژی سازه‌های هوشمند می‌تواند یک راه حل مناسب برای بالابردن این میزان سازه، افزایش خدمت‌پذیری و بهبود عملکرد آن باشد. امروزه این سیستم‌ها در سازه‌ها عمرانی زیر

به کار برده می‌شوند:

- سازه‌های تحت تحريكات غیرمعمول مانند طوفان‌ها و زلزله‌های شدید.
- سازه‌های با اهمیت زیاد و نیازمند به تدبیر ایمنی بالا مانند بیمارستان‌ها، ایستگاه‌های آتش‌نشانی و نیروگاه‌ها.
- سازه‌هایی که تحت اثر تحريكات محیطی بزرگ و دامنه ارتعاشات زیاد، به منظور حفظ آرامش ساکنین و همچنین ایمنی سازه، نیازمند ملاحظات خدمت‌پذیری ویژه‌ای هستند.
- تجهیزات اضافه شده به سازه‌ها برای خنثی کردن ارتعاشات، تاریخچه طولانی دارد. میراگرهای غیرفعال در اوایل قرن بیستم به وجود آمدند. یک کاربرد ابتدایی این تجهیزات در سازه‌های مهندسی عمران، در برج‌های مرتفع مخازن آب بوده است. نمونه‌ای از آن در شکل ۱-۱ نمایش داده شده است.



شکل ۱-۱: مخزن مرتفع آب با تجهیزات میرایی

میراگرهای غیرفعال به کار برده شده در این سازه‌ها در دهه ۱۹۷۰ مرسوم بوده‌اند و بطور وسیعی برای دفع ارتعاشات در اتوبیل‌ها، سازه‌های فضاکار و عمرانی استفاده می‌شوند. پس از آن تکنولوژی کنترل مدرن و سیستم‌های سازگار در زمینه مکانیک و صنایع الکتریکی توسعه پیدا کردند.

منشأ پیدایش مفهوم کنترل سازه‌ای در دهه 1950 به وسیله محققان ژاپنی (Kobori & Minai) بود. به دنبال آن با تلاش زیاد محققان و همچنین گسترش علوم، دستاوردهای بزرگی در تکنولوژی سازه‌های هوشمند برای کنترل پاسخ لرزه‌ای به دست آمد. این تلاش‌ها را می‌توان به صورت زیر طبقه‌بندی کرد:

- مدل کردن سیستم کنترل و گسترش الگوریتم‌ها جهت بهبود و گسترش قابلیت کاربرد تئوری کنترل مدرن در سازه‌های بزرگ.

- گسترش تحقیقات آزمایشگاهی و تجهیزات کنترل، هچمنین بالا رفتن قابلیت کارآمدی میراگرها و عملگرها در تولید نیروهای بزرگ موردنیاز برای کنترل پاسخ‌های لرزه‌ای سازه.

- به کاربردن مصالح هوشمند در سازه‌ها؛ مانند الکترورنئولوژیکال^۱ یا مگنتورئولوژیکال^۲، لایه‌های پیزوالکتریک^۳، آلیاژهای حافظه‌شکلی^۴ و حسگرهای فیبر نوری.

- بررسی بر روی قابلیت اجراء در سازه‌های مقیاس واقعی.

- گسترش و پیشرفت استانداردهای طراحی [۵] از قبیل:

- Federal Emergency Management Agency (FEMA) : 1991 (FEMA 140), 1997 (FEMA 302), 2000 (FEMA 368), and 2003 (FEMA 450)
- ASCE-7 standards (1991)
- Uniform Building Code (UBC) issued by the International Conference of Building Officials (ICBO) (September 1986)
- Structural Engineers Association of Northern California (SEAONC)

۱-۲- انواع روش‌های حفاظت لرزه‌ای سازه

بسته به نوع مسئله، کاهش ارتعاش از راههای مختلفی قابل دسترسی است. معمولترین آنها

1- Electro Rheological : ER

2-Magneto Rheological : MR

3-PZT

4-Shape Memory

استفاده از سختی^۱، میرایی^۲ و جداسازی^۳ است[۶] :

۱- استفاده از سختی عبارتست از تغییر فرکانس پاسخ سازه به مقداری بیشتر از فرکانس تحریک‌کننده.

۲- استفاده از میرایی که ممکن است به صورت غیرفعال، نیمه‌فعال یا فعال به سازه اعمال شود.

۳- استفاده از جداسازی شامل جلوگیری از ازدیاد و انتشار اختلالات واردہ به بخش‌های حساس سیستم است.

۱-۲-۱- روش سختی

یکی از سیستم‌های معمول محافظت سازه‌ای استفاده از روش طراحی ساختمان با مقاومت و سختی کافی و به کار گرفتن ظرفیت تغییرشکل غیر الاستیک برای تحمل زلزله است. این هدف با اضافه کردن عناصری مانند دیوار برشی، بادبند‌ها، قاب خمشی و دیافراگم‌ها تأمین می‌شود تا منجر به سیستمی مقاوم در برابر بارهای جانبی گردد. در این روش همچنین شکل ساختمان یکی از عوامل تأثیرگذار در طراحی است. مثلاً ساختمان‌های متقارن مرکزی (مربع یا مستطیلی‌شکل) بهتر از سایر شکل‌ها (T,U,L...) عمل می‌کنند. نکته مهم دیگر، نوع مصالح استفاده شده در ساختمان است. برای مثال مصالح شکل‌پذیر مثل آهن، بهتر از مصالح شکننده مانند آجر، عمل می‌کنند.

بطور کلی در این سیستم، سازه بوسیله ترکیبی از انعطاف‌پذیری و جذب انرژی در مقابل نیروهای واردہ مقاومت می‌کند. معمولاً میزان دمپینگ در این نوع سازه‌ها بسیار پایین است و در نتیجه میزان انرژی که در خلال رفتار الاستیک سازه مستهلك می‌شود بسیار ناچیز است؛ بنابراین در زلزله‌های شدید سازه وارد فاز غیرالاستیک شده که این امر نهایتاً منجر به تشکیل مفاصل پلاستیک موضعی می‌شود. به این ترتیب با بالا رفتن خاصیت انعطاف‌پذیری و جذب انرژی در این مفاصل،

1-Stiffening

2-Damping

3-Isolation

خرابی‌های موضعی بوجود می‌آید [۷].

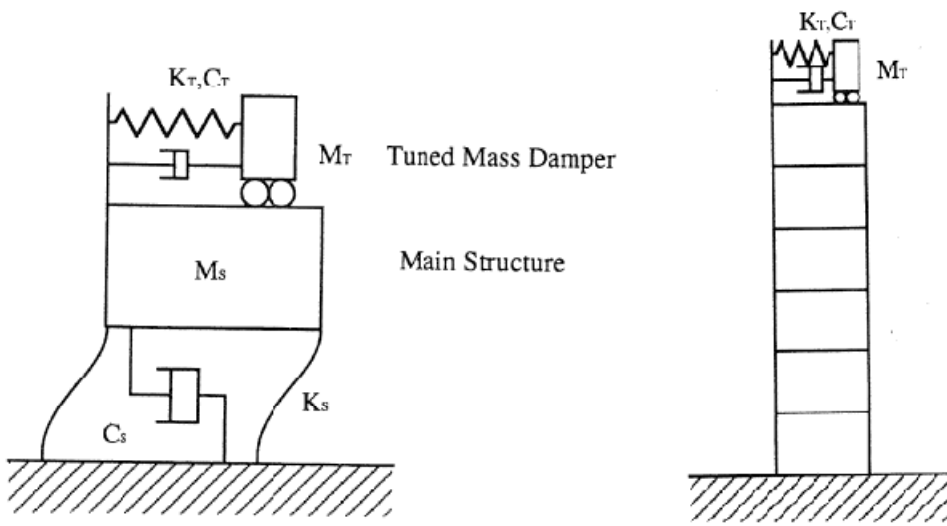
با توجه به اینکه این روش به مقاومت داخلی سازه برای اتلاف انرژی تکیه می‌کند، سطح مشخصی از تغییرشکل و خرابی را باید پذیرفت. علاوه بر این سیستم‌های معمول فقط تغییرمکان‌های سازه را کنترل می‌کنند؛ در صورتیکه کنترل شتاب سازه که از لحظه راحتی و آرامش ساکنان بسیار حائز اهمیت است، در نظر گرفته نمی‌شود.

۲-۲-۱- روش میرایی

استفاده از میرایی ممکن است به صورت غیرفعال با استفاده از انواع میراگرهای المان‌های الاستومری و مغناطیسی انجام شود؛ همچنین می‌توان از مبدل‌های انرژی برای تغییر حالت انرژی ارتعاشی به انرژی الکتریکی که مستهلك‌کننده و ذخیره‌کننده انرژی در شبکه‌های الکتریکی است، استفاده نمود (بهره‌برداری از انرژی). در سال‌های اخیر، استفاده از میراگرهای فعال، نیمه‌فعال و غیرفعال در کنترل سازه‌ها، بطور وسیعی گسترش پیدا کرده است. در اینجا به چند نمونه از انواع این میراگرهای اشاره می‌کنیم :

الف) میراگرهای جرمی تنظیم شده^۱ : میراگرهای جرمی از المان‌های با جرم زیاد تشکیل می‌شود که بطور الاستیک به سازه اصلی متصل می‌شوند. چنین اتصالی باید اجازه حرکت نسبی بین میراگر جرمی و سازه اصلی را بدهد تا نیروهای بزرگ اینرسی تولید شده، نیروهای خارجی وارد بر سازه را خنثی کند. برای رسیدن به این هدف، بایستی پریود طبیعی جرم افزوده شده به پریود اصلی سازه نزدیک باشد. این خاصیت اساس کار میراگرهای جرمی تنظیم شده هستند. شکل ۲-۱ میراگر جرمی تنظیم شده شماتیک را نمایش می‌دهد. این سیستم بیشتر برای کاهش لرزه‌های افقی ساختمان‌های بلند و لاغر، آسمان‌خراش‌ها، برج‌های مخابراتی و امثال آن به کار می‌رond [۸].

1-Tuned Mass Damper : TMD

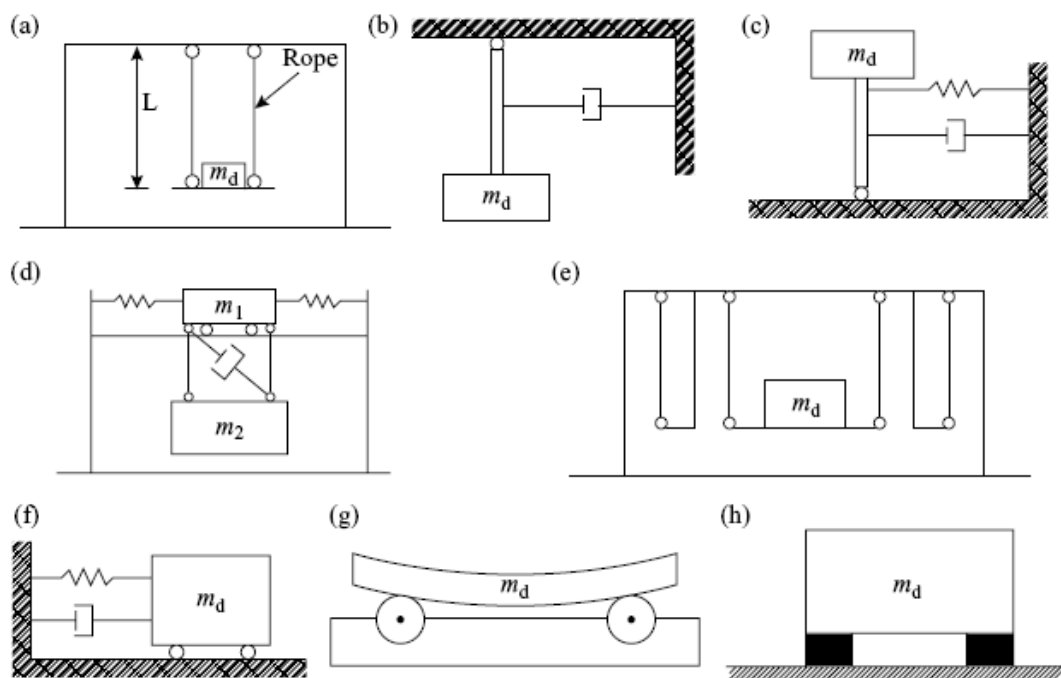


شکل ۲-۱ : شمای کلی میراگر جرمی تنظیم شده

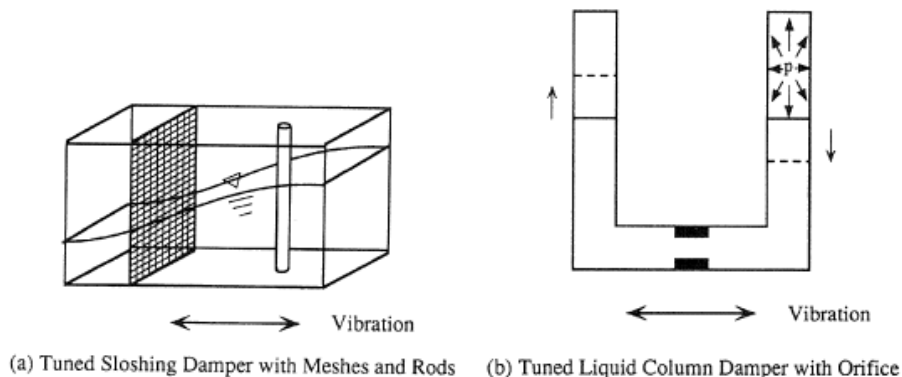
نمونه های این سیستم در ساختمان City Crop Center در نیویورک، برج Sydney Tower در استرالیا و در سایر کشورها از جمله کانادا، عربستان، پاکستان و ژاپن به کار رفته اند. میراگر جرمی تنظیم شده انواع مختلفی دارد که در شکل ۱-۳ برخی از آنها به نمایش گذاشته شده است [۷].

ب) میراگرهای سیال تنظیم شده^۱ : این نوع میراگرهای که بطور وسیعی در تعادل کشته ها استفاده می شوند، اخیراً در کنترل لرزه های سازه ها به کار برده می شوند. در این نوع میراگر، از حرکت و آشفتگی جرم آب یا سایر سیال های مشابه در ظرف محتوى آن، به عنوان ذخیره کننده و مستهلك کننده انرژی استفاده می شود. اساس کار TLD همانند TMD بر جذب انرژی جنبشی سازه اصلی استوار است. نمونه هایی از انواع میراگرهای سیال تنظیم شده در شکل ۱-۴ نشان داده شده است . [۷]

1-Tuned Liquid Damper : TLD



شکل ۳-۱ : انواع میراگر جرمی تنظیم شده (a) پاندولی ساده، (b) پاندولی با میراگر، (c) پاندولی معکوس با میراگر و فنر ، (d) میراگر دو جرمی، (e) میراگر چند لایه، (f) جرم لغزنده با فنر و میراگر، (g) جرم شناور بر تکیه گاه دوار، (h) جرم روی تکیه گاه لاستیکی



شکل ۴-۱ : انواع میراگر سیال تنظیم شده (a) میراگر سیال با شبکه و میله، (b) میراگر سیال ستونی با روزنه

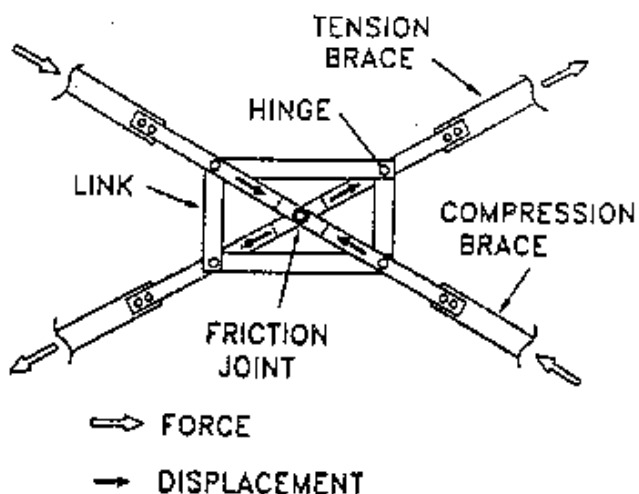
در مورد شکل ۴-۱-a ، دوره تناوب میراگر بوسیله اندازه تانک و عمق سیال تنظیم می شود.

ظرفیت میرایی نیز به واسطه قراردادن شبکه ها و میله ها، قابل افزایش است. در نوع ستونی مربوط به

شکل ۴-۱-b ، دوره تناوب میراگر بوسیله شکل ستون و فشار هوای داخل ستون قابل تنظیم است.

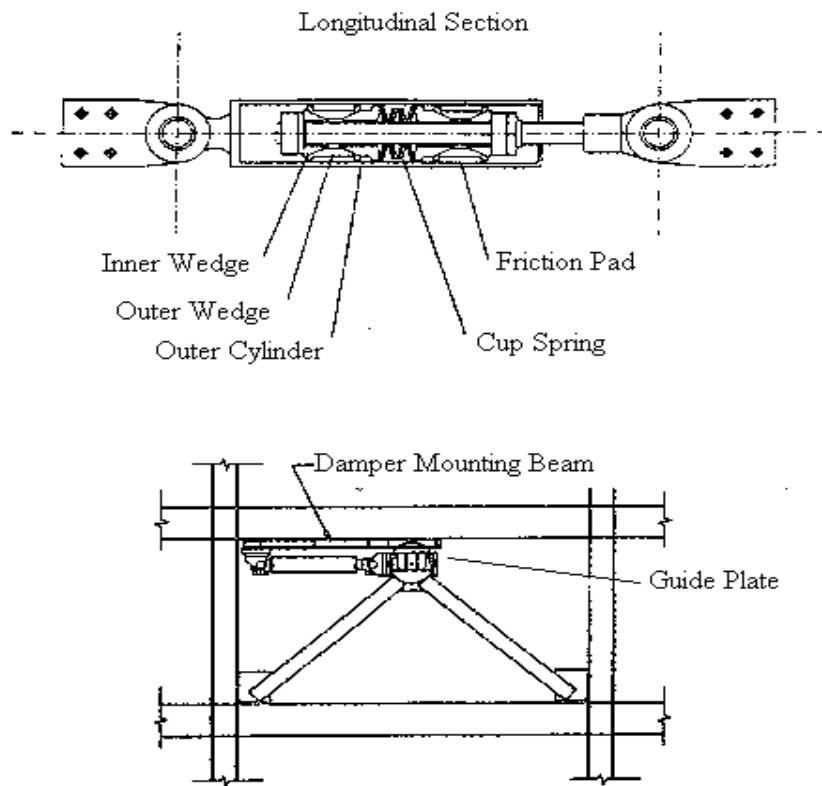
ظرفیت میرایی نیز توسط روزنَه داخل ستون تنظیم می‌شود [۷] .

پ) میراگرهای اصطکاکی^۱ : این نوع میراگرها عموماً در سطح مقطع مهاربندها به کار برده می‌شوند که اولین بار توسط Pall در سال 1982,1987 (شکل ۵-۱) در شش ساختمان مختلف در کانادا استفاده شد [۷] . در این نوع میراگر از نیروی اصطکاک برای استهلاک انرژی استفاده می‌شود. مطالعات آزمایشگاهی توسط Filiatralult (1985) و Aiken (1988) نشان داد که این تجهیزات می‌تواند در بهبود عملکرد لرزه‌ای سازه، تأثیر مطلوبی داشته باشد. شکل ۱-۶ نمونه‌ای از میراگرهای اصطکاکی با نام سومیتومو^۲ را نشان می‌دهد [۷] .



شکل ۱-۵: میراگرهای اصطکاکی

1-Frictional Damper
2-Sumitomo



شکل ۶-۱ : میراگر اصطکاکی سومیتومو و جزئیات آن

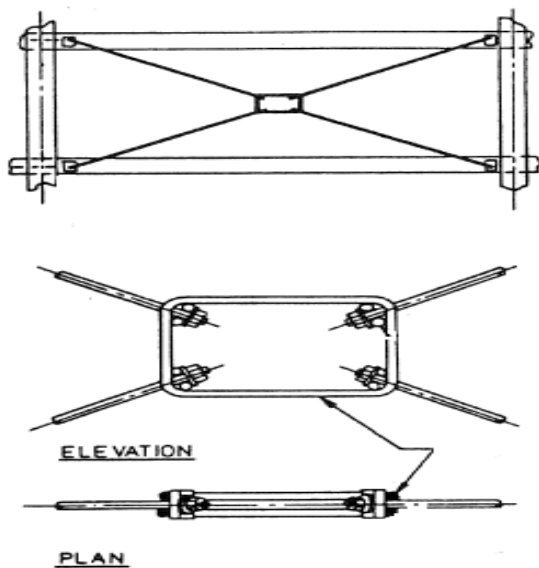
ت) میراگرهای فلزی جاری‌شونده : این میراگرهای بر اساس تغییرشکل غیرخطی فلزات عمل می‌کنند که نمونه‌ای از آن در شکل ۷-۱ ملاحظه می‌شود. این روش در ابتدا در نیوزیلند و ژاپن و همچنین برای بازسازی ساختمان‌ها در مکزیک و آمریکا مورد استفاده قرار گرفت [۹].

انواع دیگر میراگرها نیز وجود دارند که از آن جمله می‌توان میراگرهای ویسکوالاستیک^۱، دیوارهای ویسکوز^۲ و میراگرهای سیال ویسکوز^۳ که عملکردشان شبیه کمک‌فner است، را نام برد.

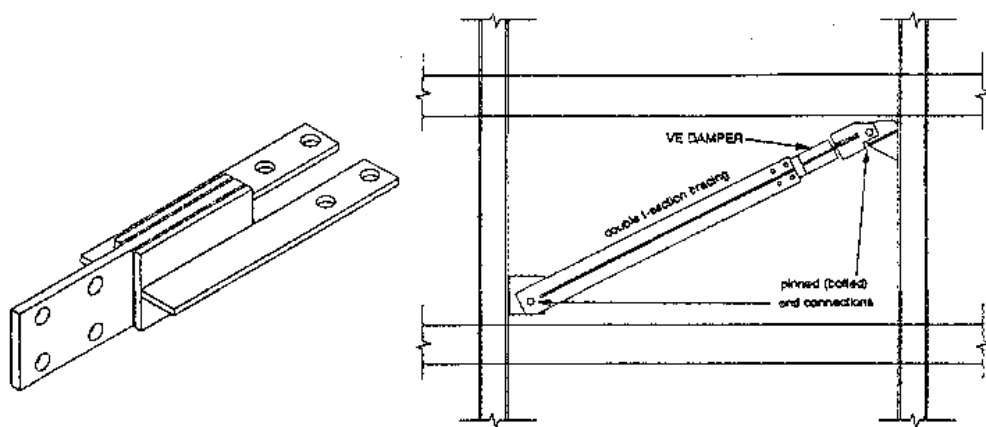
1-Viscoelastic Damper

2-Viscous Wall

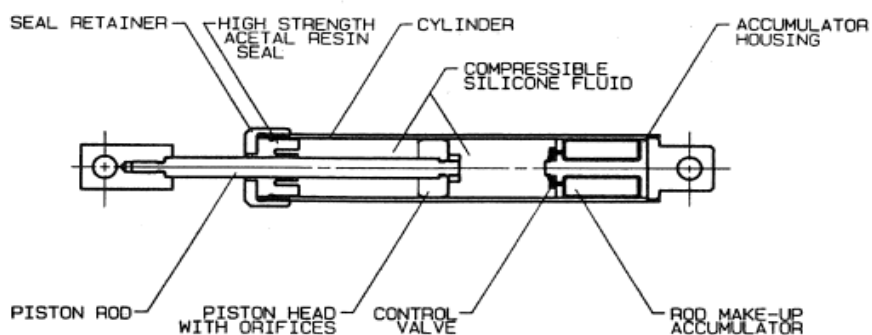
3-Fluid Viscous Damper



شکل ۷-۱: نمونه‌ای از میراگر فلزی جاری شونده [۸]



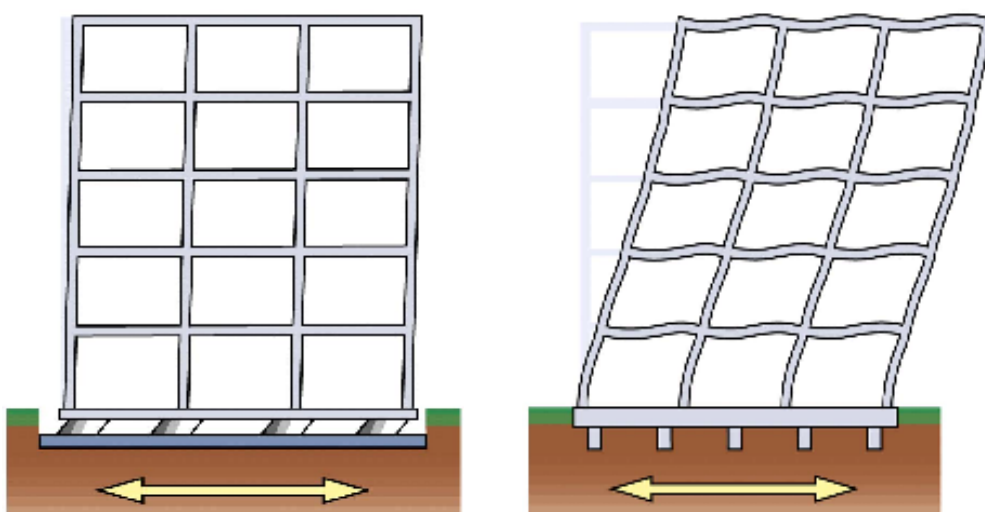
شکل ۸-۱: میراگرهای ویسکوالاستیک



شکل ۱: میراگرهای سیال ویسکوز

۳-۲-۱- روش جداسازی

از میان روش‌های مختلف محافظت سازه در مقابل تحریکات لرزه‌ای، در حال حاضر سیستم جداساز لرزه‌ای بطور گسترده‌ای در نقاط مختلف جهان به کار برده می‌شود. جداسازهای لرزه‌ای عمدتاً در فونداسیون سازه قرار می‌گیرند که بوسیله قابلیت جذب انرژی و انعطاف پذیری بالا، انرژی وارد را قبل از انتقال به سازه جذب می‌کنند.



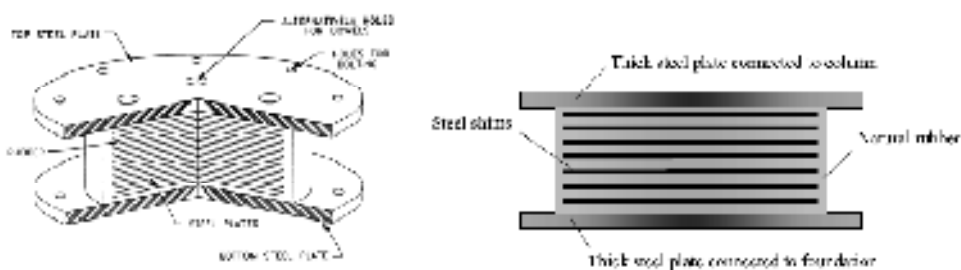
شکل ۱۰-۱: استفاده از روش جداسازی برای جداسازی سازه از مولفه افقی نیروی زلزله

در سال ۱۹۹۰ نشان داد که عناصر اصلی در یک سیستم جداساز عبارتند از :

- ۱- انعطاف‌پذیری برای طولانی شدن دوره تناوب سازه و کاهش شتاب وارد
- ۲- قابلیت استهلاک انرژی برای کاهش تغییر مکان سازه
- ۳- تجهیزات موردنیاز برای ایجاد صلبیت سازه تحت اثر بارهای سرویس مانند باد [۷] .

برخی از انواع تجهیزات جداساز لرزه‌ای عبارتند از [۷] :

الف) تکیه‌گاه‌های الاستومری : یکی از معمولترین تکیه‌گاه‌هایی که در سیستم‌های جداساز برای تأمین انعطاف‌پذیری سازه‌ها به کاربرده می‌شوند، تکیه‌گاه‌های الاستومری هستند. شکل ۱-۱ ، ساختمان یک تکیه‌گاه الاستومری را نشان می‌دهد. این نوع تکیه‌گاه شامل لایه‌های نازک لاستیکی است که به صفحات فلزی متصل و ولکانیزه (چسباندن تحت فشار و حرارت زیاد) شده‌اند.



شکل ۱-۱: تکیه‌گاه الاستومری

لاستیک، مقاومت برشی پایینی حدود $G=0.5 - 1 \text{ MPa}$ در کرنش برشی ۵۰% دارد که در مقابل صفحات فلزی متصل به آن بسیار ناچیز است. سختی جانبی تکیه‌گاه‌های الاستومری به صورت زیر به دست می‌آید :

$$K_H = \frac{AG}{\Sigma t} \quad (1-1)$$

که در آن A سطح مقطع لاستیک، G مدول برشی لاستیک و $\sum t$ مجموع ضخامت لاستیک است.

به هر حال صفحات فلزی با وجود اینکه بطور زیادی انعطاف‌پذیری جانبی لاستیک را کاهش می‌دهد، سختی قائم تکیه‌گاه را افزایش می‌دهند. سختی قائم تکیه‌گاه عبارتست از :

$$K_V = \frac{AE_c}{\Sigma t} \quad (2-1)$$

که در آن E_c مدول فشاری می‌باشد که توسط Constantinou (1992) و Chalhoub (1990) بر پایه اصول مکانیک به صورت زیر بدست آمده است :

$$E_c = \left(\frac{1}{6GS^2F} + \frac{4}{3K} \right)^{-1} \quad (3-1)$$

که در آن S ضریب شکل (تقرباً بین 10 تا 40)، K مدول بالک (حدود 2000 MPa) و F ضریبی است که برای تکیه‌گاه‌های دایروی برابر واحد و برای دایروی با حفره مرکزی بین $2/3$ تا 1 است. به دلیل اینکه ضریب شکل در محدوده‌ای بین 10 تا 40 است، سختی قائم بین 400 تا 1300 برابر بزرگتر از سختی افقی است.

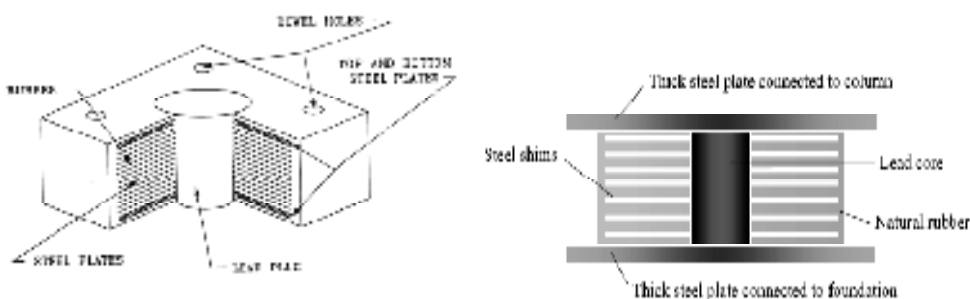
تکیه‌گاه‌های الاستومری با لاستیک طبیعی دمپینگ‌پایین¹ با دمپینگ ویسکوز معادل 0.05 یا کمتر حالت بحرانی به کار برد می‌شوند. بسیاری از آنها ممکن است در جداسازی سازه‌های دارای تجهیزات حساس مفید واقع شوند. هرچند که در کاربردهای بسیار مهم، علاوه بر آن از مستهلک-کننده‌های انرژی نیز استفاده می‌کنند.

تکیه‌گاه‌های لاستیکی دمپینگ‌پایین در ترکیب با تجهیزات میرایی فولادی انعطاف‌پذیر، کاربردهای فراوانی در ژاپن پیدا کرده‌اند (Kelly 1988). ادوات فلزی انعطاف‌پذیر در نیوزیلند برای جداسازی پل‌ها استفاده شده‌اند (Buckle 1990). کاربردهای وسیع این قبیل ادوات در جداسازی لرزه‌ای پل‌ها در ایتالیا انجام گرفته‌است و بیش از ۱۵۰ پل به این وسیله جداسازی لرزه‌ای

1-Natural Rubber Bearing : NRB

شده‌اند (Martelli 1993).

ب) تکیه‌گاه‌های لاستیکی-سربی^۱: این نوع تکیه‌گاه‌ها از لاستیک طبیعی دمپینگ پایین با یک حفره مرکزی ساخته شده‌اند که یک هسته سربی داخل حفره پرس شده‌است. شکل ۱۲-۱ ساختمان کلی این نوع تکیه‌گاه را نشان می‌دهد. هسته سربی در برش خالص حدود ۸ MPa (در دمای طبیعی) تغییرشکل می‌دهد و رفتار هیسترتیک از خود نشان می‌دهد. برخلاف فولاد معمولی، سرب در دمای طبیعی (حدود $20^{\circ}C$) دوباره کریستالیزه می‌شود و به همین دلیل جاری شدن مکرر، باعث ایجاد خستگی در آن نمی‌گردد. تکیه‌گاه‌های لاستیکی سربی مقاومت مشخصه‌ای از خود بروز می‌دهند که صلبیت را تحت اثر بارهای سرویس تأمین می‌کند. این نوع تکیه‌گاه‌ها در نیوزیلند گسترش پیدا کردند و کاربردهای مختلف آن در نیوزیلند، آمریکا و ژاپن توسعه یافت.



شکل ۱۲-۱: تکیه‌گاه لاستیکی سربی

پ) تکیه‌گاه‌های لاستیکی دمپینگ بالا^۲: از نوعی لاستیک ترکیبی ویژه ساخته شده‌اند که نسبت دمپینگ آنها حدود ۰.۱ تا ۰.۱۵ حالت بحرانی است. منشأ گسترش این نوع تکیه‌گاه‌ها در انگلستان است. برای اولین بار، کاربرد عملی آن در آمریکا بنا نهاده شد. پس از آن شرکت برجستون^۳

1-Lead Rubber Bearing : LRB

2-High Damping Rubber Bearing : HRB

3-Bridge Stone

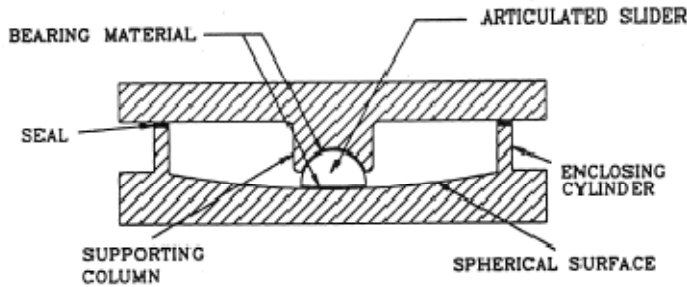
در ژاپن یک نوع لاستیک ترکیبی مقاومت بالای متفاوت را که اخیراً کاربردهای زیادی را در ژاپن داشته است، معرفی کرد.



شکل ۱۳-۱: تکیه‌گاه لاستیکی دمپینگ‌بالا HRB

ت) تکیه‌گاه‌های لغزنده : در این نوع تکیه‌گاه‌ها انتقال نیرو در سطح مشترک سطوح لغزنده محدود می‌شود و به این وسیله عمل جداسازی صورت می‌پذیرد. این نوع تکیه‌گاه‌ها به تجهیزات الحاقی جهت ذخیره نیرو و حالت بازگردانندگی نیاز دارند؛ در غیر اینصورت تغییرمکان‌های دائمی قابل توجهی در آنها ایجاد خواهد شد (Constantinou 1991). وسایل متنوعی برای ذخیره‌سازی و بازگردانندگی نیرو مورد مطالعه قرار گرفته‌اند (Constantinou 1993, Tsopelas 1994). بیشترین وسایل کاربردی، سطوح لغزنده کروی هستند که تکیه‌گاه‌های پاندولی-اصطکاکی^۱ از آن جمله می‌باشند. شکل ۱۴-۱ ساختمان کلی این نوع تکیه‌گاه‌ها را نشان می‌دهد که شامل یک سری لغزنده‌ها روی یک سطح کروی هستند. این سطوح به وسیله فولاد ضدزنگ پوشش داده شده‌اند و در ساخت آنها آلیاژهای مقاوم و بادوامی به کار رفته که بطور خودکار و مرتبًا رونگکاری می‌گردند. با بالا رفتن سازه در میان سطوح کروی، نیرو در تکیه‌گاه ذخیره شده و حالت بازگردانندگی ایجاد می‌کند و تا زمانی که تمام انرژی به وسیله اصطکاک مستهلك گردد، این عمل ادامه پیدا می‌کند.

1-Friction Pendulum System : FPS



شکل ۱۴-۱: تکیه‌گاه پاندولی اصطکاکی

نیروی جانبی تکیه‌گاه به تغییرمکان تکیه‌گاه وابسته است و رابطه آن به صورت زیر بیان

: (Zayas 1987, Mokha 1991, Constantinou 1993) می‌شود

$$F = \frac{W}{R}u + \mu W \operatorname{sgn}(u) \quad (4-1)$$

که در آن R شعاع انحنای سطح کروی، U تغییرمکان تکیه‌گاه، W وزن کل حمل شده به وسیله

تکیه‌گاه و μ ضریب اصطکاک سطح لغزندۀ است. عبارت W/R نشان دهنده سختی تکیه‌گاه است. دورۀ

تناوب این نوع سیستم جداساز نیز که مستقل از جرم سازه است، عبارتست از :

$$T = 2\pi \left(\frac{R}{g} \right)^{\frac{1}{2}} \quad (5-1)$$

بیشتر جداسازها از نوع تکیه‌گاه پاندولی-اصطکاکی می‌باشند. ساختمان‌های بسیاری در آمریکا،

ژاپن، نیوزیلند و چین از این تکنولوژی استفاده کرده‌اند. نتایج به دست آمده بسیار رضایت‌بخش

بوده‌است و نیروهای منتقل شده از زمین به سازه تا حدود نصف و حتی یک‌سوم کاهش یافته است.

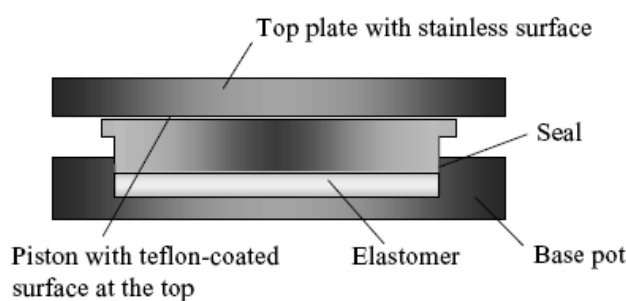
همچنین به کارگیری این تجهیزات در چین، منجر به کاهش هزینه ساخت بین ۵ تا ۲۰ درصد در

مقایسه با روش‌های قدیمی شده‌است [۸]. تکیه‌گاه‌های FPS در ایالات متحده برای جداسازی لرزه‌ای

مخازن به کار برده شده‌اند؛ همچنین ساختمان دادگاه استیناف و چند آپارتمان دیگر در

. [۷] سانفرانسیسکو، به این وسیله جداسازی شده‌اند [۷].

ث) تکیه‌گاه‌های گلدنی^۱ : منشأ پیدایش این نوع تکیه‌گاه در اروپا است. نمونه‌ای از این نوع تکیه‌گاه، ترکیبی از تکیه‌گاه‌های لغزنده و الاستومر می‌باشد. الاستومر در آنها بوسیله یک پیستون گلدنی شکل که سطح بالای آن با تفلون پوشیده شده، محصور شده است. شکل ۱۵-۱ مقطع شماتیک این نوع تکیه‌گاه‌ها را نشان می‌دهد [۵].



شکل ۱۵-۱: تکیه‌گاه گلدنی

۱-۳- تاریخچه جداسازهای لرزه‌ای

جداسازی لرزه‌ای و ادوات کنترل پاسخ، مدت زمان طولانی است که برای کنترل پاسخ شتاب و تغییرمکان سازه مورد مطالعه هستند تا بدین طریق دامنه خرابی‌های ناشی از زلزله و باد را کنترل نمایند. بنا بر شواهد تاریخی در چین و ژاپن، سازه‌ها در مقابل زلزله به وسیله قرار دادن یک لایه ماسه یا برنج بخارپزشده مابین فونداسیون و خاک، جداسازی می‌شده‌اند.

در مهندسی مدرن، تجهیزات جداسازی ارتعاش و مستهلك‌کننده انرژی وارد، اولین بار در مهندسی مکانیک به کار برده شدند؛ مانند کمک‌فرن اتومبیل‌ها. از دهه ۱۹۵۰ در مهندسی ساختمان، بلوک‌های لاستیکی انعطاف‌پذیر برای جداسازی سازه‌ها در برابر ارتعاشات ناشی از قطارهای زیرزمینی،

1-Pot-type bearings

ترافیک وسائل نقلیه و سایر اشکال ارتعاش‌زا، مورد استفاده قرار گرفتند. البته تا مدت‌ها این تکنیک برای حفاظت از سازه‌ها در برابر زلزله به کار برد نمی‌شدند.

اولین تلاش‌ها برای جداسازی سازه‌ها در برابر حرکات زمین در سال 1969 در مدرسه

Heinrich Pestalozzi در یوگوسلاوی سابق به‌وقوع پیوست که در آن تکیه‌گاه‌های لاستیکی بدون صفحات فلزی مسلح‌کننده مورد استفاده قرار گرفت. اولین کاربرد عملی تکیه‌گاه‌های لاستیکی - سربی در سال 1981 و در ساختمان ویلیام کلیتون در نیوزیلند بود. به دنبال آن ساختمان مرکز دادگستری آمریکا در سال 1985 با این شیوه جداسازی شد.

به واسطه پیشرفت‌های علم کامپیوتر در قابلیت امکان تحلیل‌های غیرخطی سازه، مبنای تحقیق در تأثیر ادوات کنترل پاسخ سازه، بر نیروهای باد و زمین‌لرزه قرار گرفت. به این ترتیب کاربرد تجهیزات کنترل پاسخ سازه، بطور گستره‌ای هم در زمینه طراحی سازه‌های جدید و هم در زمینه مقاوم‌سازی سازه‌های قدیمی، در دو دهه اخیر گسترش پیدا کرد.

پاسخ‌های مطلوب سازه‌های جداسازی‌شده لرزه‌ای در زلزله Northridge (1994) در آمریکا و زلزله Hyogoken-Nanbu (1995) در ژاپن، بطور مضاعفی موجب افزایش مقبولیت این تکنولوژی شد. عملکرد سازه‌ها و پاسخ‌های اندازه‌گیری شده در این زلزله‌ها مورد بررسی قرار گرفت و باعث افزایش اعتبار روش‌های تحلیلی شد. به این ترتیب کاربردهای عملی جداساز لرزه‌ای و سیستم‌های کنترل پاسخ، شتاب بیشتری گرفت و به ابداع تجهیزات متنوعی منجر شد. این تکنولوژی‌ها را می‌توان به صورت زیر طبقه‌بندی کرد:

۱- جداسازی لرزه‌ای : در این تکنولوژی از المان‌های انعطاف‌پذیر استفاده می‌شود که غالباً همراه میراگرهای جاذب انرژی (مانند تکیه‌گاه‌های لاستیکی یا لغزنده) برای کاهش پاسخ سازه‌ای، به کار برد می‌شوند. این میراگرها موجب افزایش صلبیت سازه برای جلوگیری از ایجاد رزونانس در اثر تحрیکات با فرکانس‌های پایین، می‌شوند. استفاده از جداسازهای

لرزه‌ای به طراحان این اجازه را می‌دهد که ابعاد مقاطع را کوچکتر در نظر بگیرند. تجهیزات جداسازی لرزه‌ای با دوام بالایی عرضه می‌شوند و در تمام طول عمر طراحی سازه، قابل قبول و مطلوب باقی می‌مانند.

۲- سیستم‌های کنترل پاسخ : این سیستم‌ها را می‌توان در دو حالت تعریف کرد؛ ادوات مستهلك‌کننده مستقیم انرژی، میراگرهای جرمی. گروه اول شامل میراگرهای هیسترتیک هستند که از مکانیسم اصطکاکی یا انعطاف‌پذیری فولاد استفاده می‌کنند، مانند میراگرهای روغنی و تجهیزات استفاده‌کننده از مواد ویسکوز یا ویسکوالاستیک. این ادوات به عناصر سازه‌ای نظیر مهاربندها، دیوارها، ستون‌ها و یا ترکیبی از آنها، متصل می‌شوند [۴] .

در سالهای اخیر فجایع زیادی ناشی از تخریب سازه‌ها در اثر زلزله‌های شدید به وقوع پیوسته است. برخی محققان از جمله (Hall et al. 1995, Heaton et al. 1995) به دنبال پیدا کردن راه حل مناسبی برای غلبه بر این مشکل، از سیستم‌های جداساز لرزه‌ای استفاده کردند. بر پایه مشاهدات انجام‌شده در زلزله (Northridge 1994)، این محققان متوجه شدند که ساختمان‌های جداسازی شده از پایه در برابر حرکات قوی زمین در نزدیکی‌های کانون زلزله، آسیب‌پذیر هستند. از همین رو بازنگری‌های جدید در آیین‌نامه‌هایی همچون (ICBO 1997)، ملزمات سیستم‌های جداسازی پایه را سختگیرانه‌تر از بازنگری‌های قدیمی (ICBO 1994) در نظر گرفته است. آیین‌نامه‌های حاکم برای حفظ تعادل سازه در برابر تغییرمکان‌های بزرگ پایه و پایداری سازه در برابر زلزله‌های بزرگ، استفاده از تجهیزات میراکننده انرژی را پیشنهاد کردند (Asher et al. 1996).

از آنجاییکه میرایی اضافه حرکات روسازه و همچنین شتاب مطلق را افزایش می‌دهد، ممکن است بسیاری از مزایایی که جداسازی پایه دارد را خنثی کند (Inaudi and Kelly 1993). برای درک

بهتر مشکلات ناشی از میرایی بیش از حد، توجه به محافظت از اجزاء غیرسازه‌ای و تجهیزات بسیار حساس مانند تجهیزات بیمارستان‌ها، مراکز ارتباطی، موزه‌ها و ... بسیار مهم است. عملکرد این تجهیزات ممکن است به واسطه شتاب واردۀ متوسط دچار اختلال شود و حتی در اثر شتاب‌های بالای واردۀ، بطور کلی از بین برود. در نتیجه کاهش خسارت به محتوای سازه‌ها، مسئله کلیدی در طراحی جداسازه‌ای لرزه‌ای پایه است. برای مثال در زلزله Northridge (1994)، اجزاء خارجی، مبلمان و تجهیزات سازه‌ها خسارت‌های شدیدی دیدند بطوریکه تا قبل از این در چنین مقیاسی خرابی مشاهده نشده بود. در واقع برخی تجهیزات ضروری کاملاً ناکارآمد شدند که این امر ناشی از خرابی روسازه نبود، بلکه شتاب بالای وارد به سازه عامل اصلی آن شناخته شد (Hall 1995). این مشکل با توجه به نیاز منطقه زلزله‌زده به بیمارستان و تجهیزات ارتباطی بعد از وقوع زلزله، بسیار بحرانی است.

سه روش مختلف معمول برای کاهش تغییرمکان پایه در تکیه‌گاه‌های لاستیکی دمپینگ پایین که ۲ تا ۳ درصد میرایی بحرانی را در سازه ایجاد می‌کنند، استفاده می‌شوند. اولین روش افزایش میرایی استفاده از لاستیک طبیعی دمپینگ بالا است که می‌تواند میرایی را تا ۲۰ درصد بالا ببرد (Naeim and Kelly 1999). روش دوم نصب هسته‌های سربی در لاستیک دمپینگ پایین است که استهلاک انرژی را افزایش می‌دهد. سومین روش استفاده از میراگرها مانند میراگرهای ویسکوز خطی و غیرخطی (Taylor and Constantinou 1996) و میراگرهای اصطکاکی (Soong and Dargush 1997) است.

سیستم‌های فعال و نیمه‌فعال، تکنولوژی‌های جدیدی هستند که قادرند بدون افزایش حرکت روسازه، تغییرمکان‌های پایه را کاهش دهند. مطالعات زیادی در این زمینه توسط محققان مختلف انجام شده است از جمله : Reinhorn et al(1987) ، Kelly et al(1987) ، Spencer & Sain(1997) ، Yoshida et al(1994) ، Schmitendorf et al(1994) ، Nagarajaiah et al(1993) . [۲۱] Yang et al(996)

فصل دوم

کنترل لرزه‌ای

“A **vibration** is a motion that can't make up its mind which way it wants to go.”
From Science Exam

۱-۲- مقدمه

کنترل لرزه‌ای از ایجاد لرزش‌هایی که باعث ناپایداری سازه می‌شوند و همچنین ایجاد رزونانس در سازه، جلوگیری می‌کند. متداولترین روش کنترل لرزه‌ای سازه، کنترل غیرفعال است که نیازی به منبع خارجی انرژی ندارد. در سالهای اخیر کنترل لرزه‌ای فعال به عنوان یک تکنولوژی کلیدی در بهبود عملکرد لرزه‌ای سازه‌ها به کار گرفته شد. با تکیه بر این تکنولوژی، ساختمان‌های بلندمرتبه با وزن سبکتر و هزینه‌های پایینتری نسبت به قبل ساخته می‌شوند. توسعه تکنولوژی کنترل مدرن بر پایه پیشرفت تکنیک‌های کاربردی کامپیوتر بنا نهاده شده است که از آن جمله می‌توان به پیدایش نرم‌افزارهای کاربردی مانند نرم‌افزار MATLAB اشاره کرد [۶].

رفتار دینامیکی سیستم‌های ارتعاشی به صورت آزمایشگاهی و عددی، تجزیه و تحلیل می‌شوند. پیشرفت‌های قابل توجه در سخت‌افزار و نرم‌افزار را می‌توان به صورت فهرست‌وار ذکر کرد :

۱) توسعه نرم‌افزارهای طراحی سیستم‌های کنترل

۲) در دسترس قرار داشتن کامپیوترهای با سرعت بالا و محاسبه‌گرهای دیجیتال جهت انجام

محاسبات

۳) گسترش تجهیزات جدید کنترل لرزه‌ای فعال

۴) پیشرفت روش‌های تحلیل لرزه‌ای کامپیوترا و شیوه‌های نوین تحلیل آزمایشگاهی

۵) پیدایش روش‌های جدید طراحی سیستم‌های کنترل [۶].

در سالهای اخیر تکنولوژی کنترل فعال سازه‌ای در مقایسه با سیستم‌های غیرفعال، گسترش و توسعه بیشتری داشته است. در حال حاضر سیستم‌های کنترل فعال بر روی ساختمان‌های واقعی نصب و راهاندازی می‌شوند. تعدادی از اولین مقالاتی که در این زمینه نوشتۀ شد عبارتند از : میلر و همکاران، کوبوری، ماسری، سونگ و یانگ در سال ۱۹۸۸ ، رینهورن و مانولیس در سال ۱۹۸۹ و همچنین

برخی از کتابها (مانند سونگ در سال ۱۹۹۰) در این زمینه منتشر شد که اطلاعات زیادی را در اختیار خوانندگان قرار دادند [۷].

۲-۲- طبقه‌بندی روش‌های کنترل لرزه‌ای

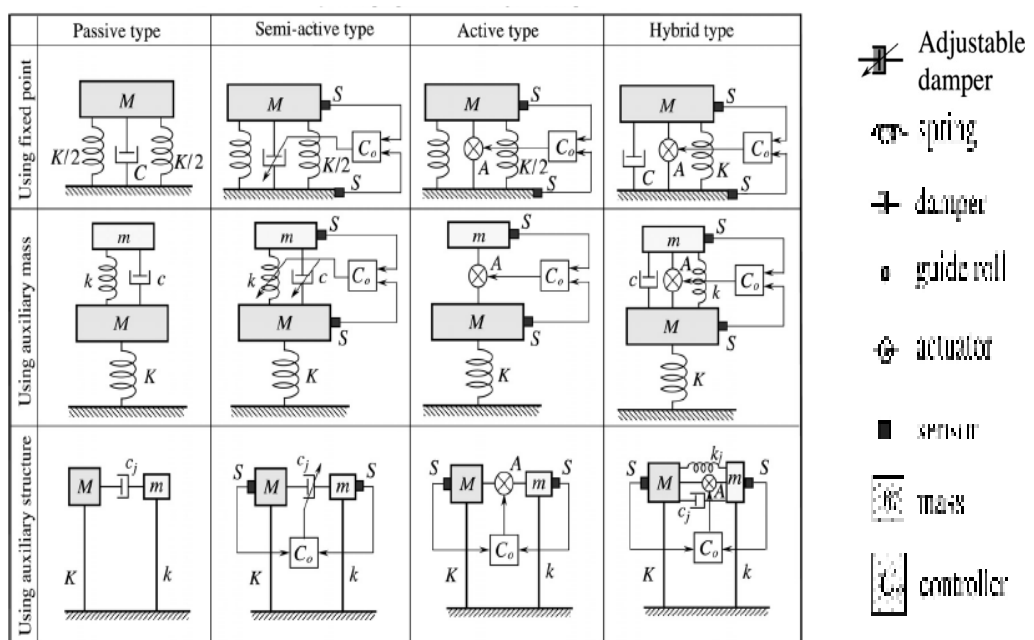
هدف اصلی کنترل لرزه‌ای سازه، حفظ پایداری سازه و قابلیت اعتماد بالا، بوسیله تجهیزات کنترل لرزه‌ای می‌باشد. تجهیزات کنترل لرزه‌ای غیرفعال بطور متداول استفاده می‌شوند؛ چراکه نیازی به منبع تغذیه انرژی ندارند و بنابراین خطری از بابت تولید انرژی در وضعیت‌های بحرانی، آنها را تهدید نمی‌کند. با وجود این، سیستم‌های غیرفعال به دلیل مجهز نبودن به حسگرها و عملگرها، نمی‌توانند در تمامی شرایط عکس‌العمل‌های مناسبی از خود بروز دهند. این مسئله باعث ظهور نسل جدیدی از تجهیزات کنترلی با نام تکنولوژی کنترل فعال شد که به حسگرها و عملگرها مجهز بودند. بطور کلی سیستم‌های کنترل لرزه‌ای به چهار دسته اصلی غیرفعال، نیمه‌فعال، فعال و چندگانه طبقه‌بندی می‌شوند که انواع هر کدام از آنها در شکل ۱-۲ نشان داده شده‌است، که در آن K, M و C به ترتیب جرم، ثابت فنر و ضریب میرایی مربوط به سازه و c, m و k پارامترهای مرتبط با تجهیزات کنترل هستند. S, A و C_0 نماینده عملگر، حسگر و کنترل‌کننده هستند. j_k و j_c نیز به ترتیب مربوط فنر متصل‌کننده و میراگر متصل‌کننده هستند [۶].

به این دلیل که هر عملی دارای عکس‌العملی است، لازم است که نیروی عکس‌العمل به هر طریق ممکن توسط عملگرها به عنوان نیروی کنترل لرزه‌ای، تولید گردد. به این ترتیب می‌توان روش‌های کنترل لرزه‌ای را بر حسب طریقهٔ اعمال نیروی عکس‌العمل به سه دسته تقسیم کرد :

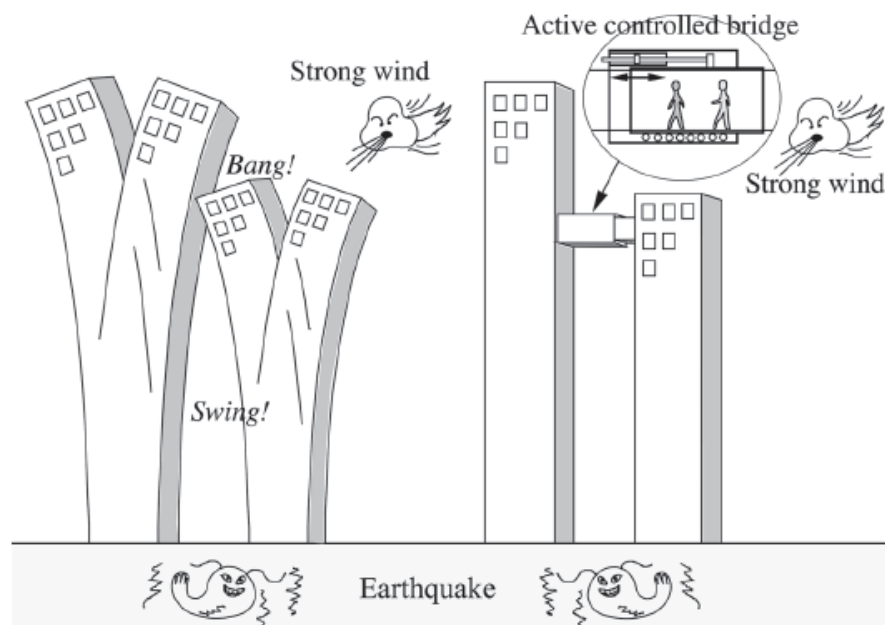
(Seto, 1992)

- ۱- استفاده از عکس‌العمل در یک نقطه ثابت (برای مثال جداسازهای لرزه‌ای)
- ۲- استفاده از عکس‌العمل یک جرم ثانوی (برای مثال میراگرهای جرمی)

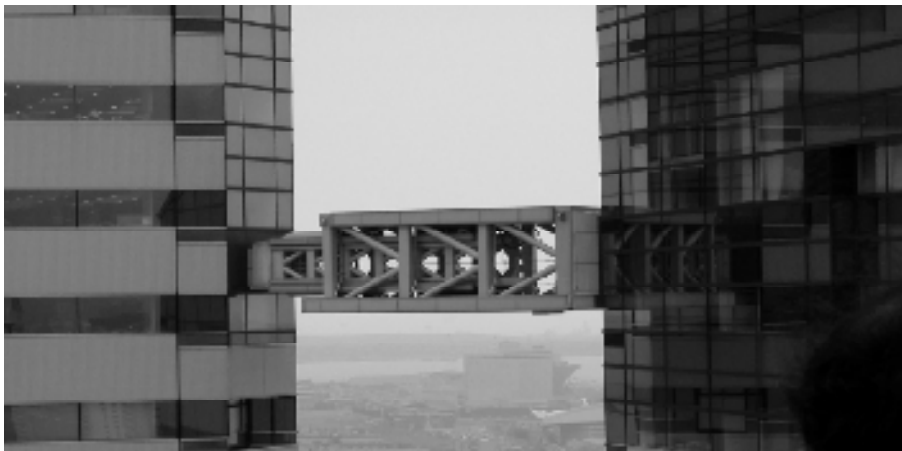
۳- استفاده از عکسالعمل یک سازه ثانوی مطابق شکل ۲-۲ : [۶]



شکل ۱-۲: طبقه‌بندی روش‌های کنترل لرزه‌ای



شکل ۲-۲ : نمای کلی سیستم کنترل لرزه‌ای به روش CCM



شکل ۳-۲ : نمای خارجی دو برج بلندمرتبه با سیستم کنترل لرزه‌ای به روش CCM

۳-۲- تجهیزات کنترل لرزه‌ای

تجهیزات کنترلی با توجه به میزان مصرف انرژی، همچنان‌که ذکر شد به سه دستهٔ غیرفعال،
فعال و نیمه‌فعال و یا ترکیبی از آنها تحت عنوان کنترل چندگانه تقسیم‌بندی می‌گردد.
در سیستم‌های کنترل غیرفعال، تجهیزات کنترلی برای نیروی مشخصی طراحی و نصب
می‌شوند و قابلیت تطابق با شرایطِ اعمالی مختلف را ندارند. این سیستم‌ها در مواردی که از اهمیت
نسبی کمتری برخوردار هستند، به کار برده می‌شوند.

تجهیزات سیستم‌های کنترل فعال توانایی بروز عملکرد مطلوب تحت هر نوع شرایط بارگذاری
را داشته و برای استهلاک انرژی در تحریکات مختلف، قابلیت تطابق دارند. این قبیل تجهیزات به
نیروهای بزرگی برای ایجاد عملکرد مناسب کنترلی نیاز دارند و از آنجا که هنگام تحریکات زلزله
ممکن است منبع انرژی خارجی، قابلیت مطلوب و تأثیرگذار خود را از دست بدهد، این سیستم‌ها نیز
توانایی کنترل خود را از دست می‌دهند [۷].

در سالهای اخیر نیز تجهیزات نیمه‌فعال^۱ که شامل ادوات غیرفعال با خواص قابل کنترل هستند،

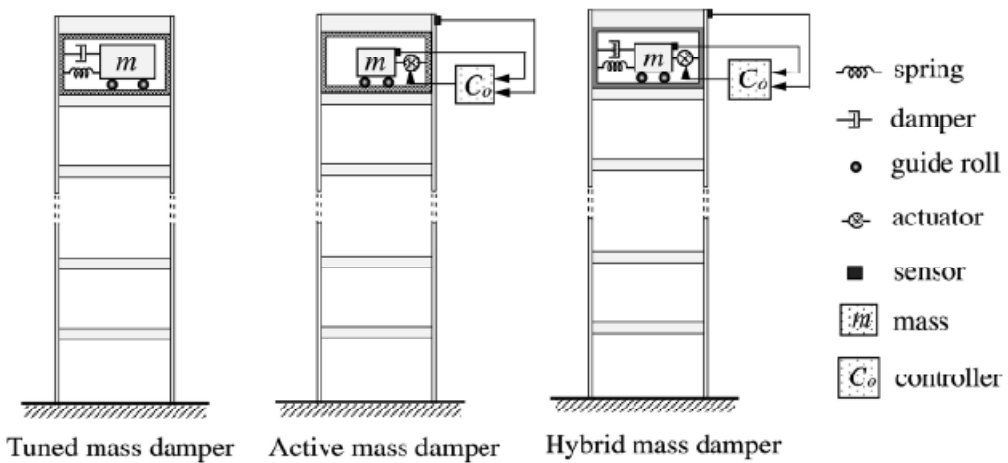
1-Semi Active or Semi Passive

به وجود آمده‌اند؛ برای مثال میراگرهای نیمه‌فعال مگنتورئولوژیکال و انتقال‌دهنده‌های پیزوالکتریک با شبکه‌های الکتریکی^۱ از این جمله هستند [۶].

در سیستم‌های کنترل نیمه‌فعال با وجود قابلیت تطابق نسبی با تحریکات مختلف، احتیاج به منابع بزرگ انرژی برای کنترل سازه ندارند؛ از طرفی در هنگام از دست رفتن منبع انرژی خارجی، عامل غیرفعال آنها همچنان کارآمد است. سیستم‌های کنترل نیمه‌فعال انواع مختلفی دارند که از بین آنها میراگرهای سیال قابل کنترل، خواص منحصر به فردی دارند. سیال آنها شامل یک روغن می‌باشد که ذرات مغناطیسی یا الکتریکی در آن شناور هستند. هنگامی که این سیال در مجاورت میدان مغناطیسی یا الکتریکی قرار می‌گیرد، تغییر لزجت داده و در عرض چندهزارم ثانیه از حالت مایع روان به حالت نیمه‌جامد تبدیل می‌شود که در نتیجه تنش برشی آن چند برابر شده و انرژی را مستهلك می‌کند. یک راه حل برای دستیابی به عملکرد بهینه و پایین آوردن هزینه‌ها، استفاده از کنترل چندگانه^۲ است که شامل ترکیبی از کنترل فعال و غیرفعال می‌باشد [۶].

برای درک بهتر تفاوت تجهیزات کنترلی در انواع سیستم‌های کنترل، به شکل‌های (۴-۲) (۷-۲) :

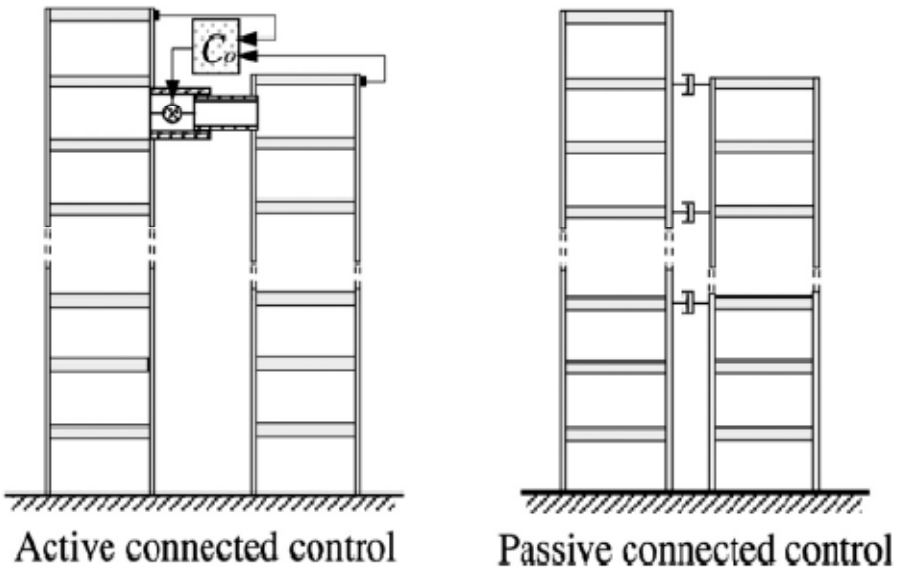
الی(۷-۲) توجه نمایید [۶] :



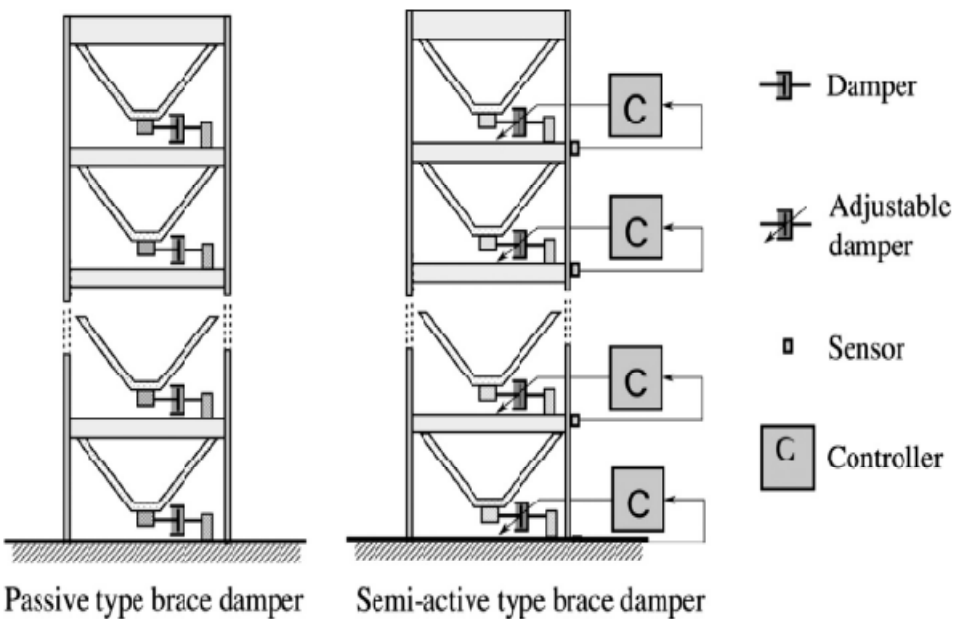
شکل ۴-۲ : نمای کلی إعمال میراگر جرمی به روش تنظیم شده (غیرفعال)، فعال و چندگانه

1-Piezo Electric Transducer

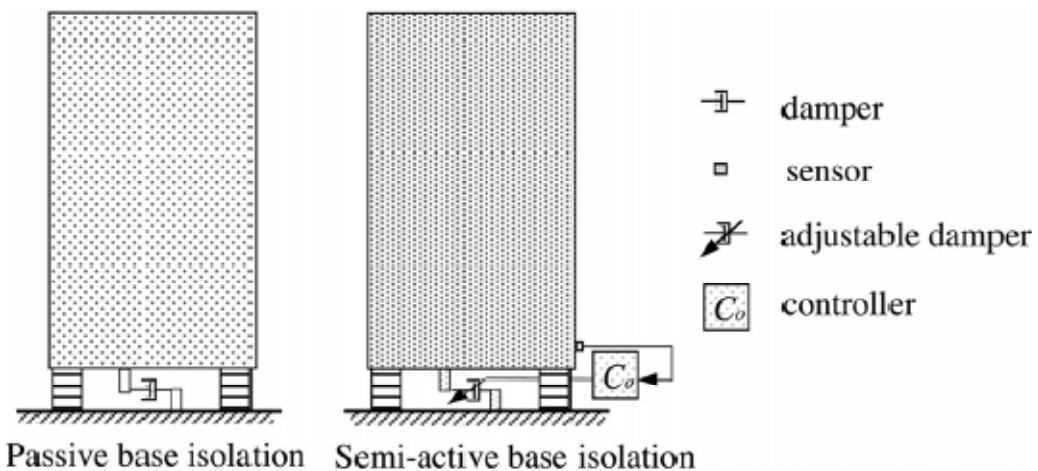
2-Hybrid



شکل ۵-۲ : نمای کلی اعمال سیستم CCM به روش فعال و غیرفعال



شکل ۶-۲ : نمای کلی اعمال سیستم مهاربندی به روش غیرفعال و نیمهفعال



شکل ۷-۲ : نمای کلی اعمال سیستم جداساز لرزه‌ای به روش غیرفعال و نیمهفعال

۴-۲- کنترل لرزه‌ای فعال

زمانی که عملکرد بالایی موردنیاز باشد می‌توان از سیستم کنترل فعال استفاده کرد. این سیستم شامل یک سری حسگرها (جابجایی، شتاب، سرعت، نیرو و ...)، یک سری عملگرها (نیرو، اینرسی، کرنش و ...) و همچنین یک الگوریتم کنترل است. طراحی یک سیستم کنترل شامل عوامل زیادی مانند چگونگی ترکیب و ترتیب حسگرها و عملگرها و همچنین تأمین پایداری و دوام سازه است. نیروی موردنیاز جهت کنترل، مشخص کننده هزینه و اندازه عملگرهاست [۶].

در مهندسی سازه، کنترل فعال تکنولوژی‌هایی را شامل می‌شود که در رابطه با کنترل و تنظیم حرکات سازه بوسیله تجهیزات متحرکی است که توسط یک منبع انرژی خارجی تغذیه می‌شود. این تکنولوژی در مقایسه با سیستم‌های کنترل غیرفعال مزایایی دارد که از میان آنها می‌توان به موارد زیر اشاره کرد :

الف) تأثیرگذاری بیشتر در کنترل حرکت سازه

ب) تطابق‌پذیری با شرایط محیطی و حرکات زمین

پ) قابلیت کاربرد چندمنظوره در مقابل انواع نیروهای واردہ از قبیل زلزله و باد

ت) وجود سیستم‌های متنوع و مختلف برای انتخاب با توجه به نیازهای موجود [۷].

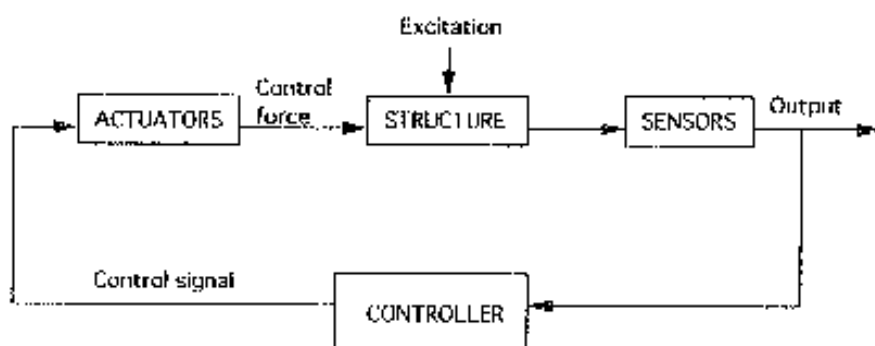
یک سیستم کنترل فعال دارای بخش‌های مختلفی به شرح زیر است که در شکل ۸-۲

به صورت شماتیک نشان داده شده است:

الف) حسگرها^۱، که درون سازه قرار می‌گیرند و برای اندازه‌گیری تحریکات خارجی اعمال شده به سازه، پاسخ سازه و یا هردو، به کار برده می‌شوند [۷]. حسگر یا حساسه معمولاً یک مبدل می‌باشد که توسط آن، کمیت فیزیکی مورد نظر (مثلًا جابجایی) به صورت تناسبی به کمیت فیزیکی دیگری (مثلًا الکتریکی) تبدیل می‌شود [۱۰].

ب) پردازنده‌ها^۲، تجهیزاتی که اطلاعات اندازه‌گیری شده را دریافت می‌کنند و بر پایه الگوریتم‌های کنترلی استفاده شده در آنها، نیروهای کنترل مورد نیاز را محاسبه می‌کنند [۷]. پردازنده یا کنترل کننده، وظیفه اجرای استراتژی کنترل را بر روی فرآیند بر عهده داشته و این عمل را از طریق عملگرها و با دریافت اطلاعات از حسگرها انجام می‌دهند [۱۰].

پ) عملگرها^۳، برای تولید و إعمال نیروی محاسبه شده به کار می‌روند و بوسیله یک منبع انرژی خارجی تغذیه می‌شوند [۷]. در واقع عملگرها عناصری هستند که متغیرهای ورودی را ایجاد می‌کنند و باعث تغییر متغیرهای خروجی می‌شوند [۱۰].



شکل ۸-۲: اجزاء اصلی حلقة کنترل فعال

1-Sensor

2-Processor

3-Actuator

فصل سوم

کنترل مدرن

“It is the **theory** which decides what we can observe.” *Albert Einstein*

۱-۳- مقدمه

پل واسط بین تئوری کنترل و پیاده‌سازی آن در فرآیندهای مختلف، مدلسازی دینامیکی آن فرآیند می‌باشد. نحوه مدلسازی و نگرش طراح در این زمینه، روش‌های متنوع طراحی کنترل کننده را سبب شده است. تئوری کلاسیک که در دهه ۵۰ میلادی به اوج خود رسیده است با تئوری‌های بودی^۱ و نایکویست^۲ و روش‌ها تحلیلی در طراحی کنترل کننده‌های PID، بطور کامل در کلیه صنایع و سیستم‌های کنترل فرآیندهای صنعتی رسوخ پیدا کرد. طراحی کنترل کننده کلاسیک مبتنی بر فیدبک خروجی و ساختار معینی از کنترل کننده به عنوان مثال PID استوار است [۱۰].

در انتهای دهه ۵۰ و اوایل دهه ۶۰ نگرش مدرن به مدلسازی سیستم‌های دینامیکی به صورت فضای حالت و استفاده از روش‌های عددی و کامپیوترا به جای روش‌های تحلیلی، جای خود را در میان تئوری کنترل باز نمود. این نگرش، به دیدگاه مدرن مشهور است. در دیدگاه مدرن اطلاعات وردی- خروجی سیستم در متغیرهای حالت سیستم فشرده است؛ لذا ایده اصلی در طراحی کنترل کننده مدرن، استفاده از فیدبک حالت است [۱۰].

۲-۳- مفاهیم

الف) فضای حالت : همانطور که ذکر شد در کنترل مدرن، مدلسازی سیستم‌های دینامیکی در قالب فضای حالت^۳ صورت می‌گیرد. فرم فضای حالت با بهره‌گیری از متغیر حالت، مبنای اصلی روش‌های مدرن تحلیل و طراحی در سیستم‌های کنترل می‌باشد. با توجه به خصوصیت متغیر حالت در فشرده‌سازی اطلاعات، در دیدگاه مدرن اطلاعات وردی- خروجی سیستم در متغیرهای حالت سیستم فشرده است. به عبارتی متغیر حالت x ، کلیه اطلاعات ورودی در زمان قبل را به اطلاعات

1-Bode

2-Nyquist

3-State Space

خروجی‌های آینده مرتبط می‌سازد [۱۰]. به عنوان مثال معادله حرکت یک سیستم که در معرض زلزله قرار گرفته است، در فضای حالت بصورت معادله ۱-۳ بیان می‌شود:

$$\ddot{x} = Ax + Bu + E\ddot{x}_g \quad (1-3)$$

که در آن x متغیر حالت (جابجایی سیستم)، u نیروی کنترل، \ddot{x}_g شتاب نگاشت زلزله، A بردار حالت، B بردار مکان کنترلگر و E بردار مکان نیروی زلزله است.

ب) تنظیم و تعقیب: در بسیاری از موارد اگر بخواهیم کمیتی فیزیکی را نزدیک به مقدار مطلوبی نگهداریم، نیاز به سیستم کنترل خودکار خواهیم داشت. اگر مقدار مطلوب ثابت باشد، هدف سیستم کنترل، تنظیم^۱ و اگر این مقدار مطلوب با زمان تغییر کند، آن را تعقیب^۲ می‌نامیم [۱۰]. به عنوان مثال ثابت نگهداشتن حرکت افقی سازه نزدیک به صفر، تنظیم و کنترل حرکت بازوی یک روبات برای طی یک مسیر مشخص، تعقیب نامیده می‌شود.

پیشرفته‌ترین سیستم‌های کنترل را می‌توان در طبیعت مشاهده کرد. درجه حرارت بدن انسان تقریباً همواره ۳۷ درجه سانتیگراد می‌باشد (تنظیم). با بالا رفتن فعالیت بدنی به موازات آن ضربان قلب نیز بالا می‌رود تا اکسیژن بیشتری را به اعضاء برسد (تعقیب). روش به‌ظاهر ساده‌ای که در آن دست خود را دراز کرده و یک فنجان چای را بر می‌داریم، دارای راه حل بسیار پیچیده در علم روباتیک می‌باشد.

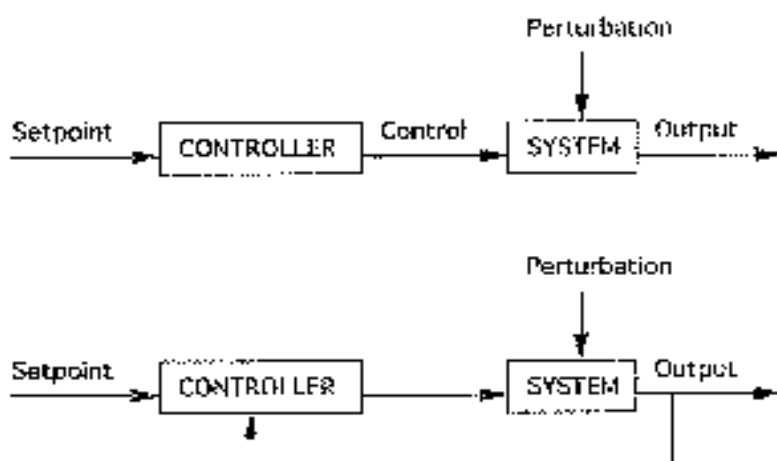
پ) سیستم حلقه-باز و حلقه-بسته: زمانی که فقط تحركات محیطی اندازه‌گیری می‌شوند، ساختار سیستم به عنوان حلقه-باز^۳ معرفی می‌گردد. از طرف دیگر وقتی که فقط متغیرهای پاسخ سازه

1-Regulation

2-Tracking

3-Open-loop

اندازه‌گیری می‌شود، ساختار کنترل به عنوان حلقة-بسته^۱ شناخته می‌شود، که در شکل ۱-۳ به صورت شماتیک نشان داده شده است. در مواردی که هر دو مقدار پاسخ سازه‌ای و تحریکات محیطی اندازه‌گیری می‌شوند و در محاسبه نیروی کنترل استفاده می‌گردند، عبارت حلقة باز-بسته^۲ به کار برده می‌شود [۷].



شکل ۱-۳: نمایش یک سیستم حلقة-باز و حلقة-بسته

ت) کنترل فیدفوروارد و فیدبک : در مواردی که سیستم تحت تأثیر منابع تحریک خارجی مشخصی است و اغتشاش آن قابل اندازه‌گیری و یقین‌اندیشانه است (مانند یک موتور چرخشی برون محور)، سیستم کنترل فیدفوروارد^۳ به کار گرفته می‌شود؛ به این صورت که با آگاهی از پاسخ سیستم، نیروی کنترلی محاسبه و عمل می‌گردد. استراتژی فیدبک^۴ نیز در مواردی به کار برده می‌شود که اغتشاشات به صورت تصادفی یا ترکیبی از یقین‌اندیشانه و احتمال‌اندیشانه باشند. در این مورد

1-Closed-loop

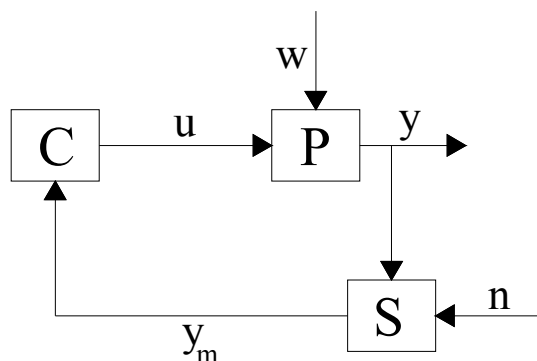
2-Open-closed loop

3-Feedforward

4-Feedback

اغتشاشات به صورت مستقیم اندازه‌گیری نمی‌شوند و بازخورد پاسخ سیستم، تحت تأثیر اغتشاش و نیروی کنترل اندازه‌گیری می‌گردد [۶].

ث) سیستم کنترل : شکل ۲-۳ نمایش کلی سیستم‌های کنترل را نشان می‌دهد. مهمترین شاخص تئوری کنترل، کاربردی بودن آن در زمینه‌های مختلف مهندسی و حتی غیر مهندسی می‌باشد. علت توفیق تئوری کنترل در زمینه‌های مختلف، توانایی توصیف مسائل گوناگون در یک قالب یکسان می‌باشد.



شکل ۲-۳ : نمایش کلی سیستم کنترل

P نشان‌دهنده فرآیند است که توسط مدل ریاضی آن تعیین می‌شود. فرآیند به موضوعی اطلاق می‌شود که تحت کنترل قرار گرفته است. برای مثال یک ساختمان می‌تواند به عنوان یک فرآیند مطرح گردد. u ورودی کنترل و w ورودی اغتشاشی فرآیند نامیده می‌شود. y نیز خروجی فرآیند است که کلیه این کمیت‌ها به صورت برداری در نظر گرفته می‌شوند. y تحت نویز وارد n ، مقدار اندازه‌گیری شده y_m را تولید می‌کند. همچنین S نماد حسگر و C نماد کنترل کننده می‌باشد [۱۰].

ج) رؤیت‌پذیری و کنترل‌پذیری^۱ : رؤیت‌پذیری^۱، مسئله نحوه و محل اندازه‌گیری اطلاعات مربوط به خروجی u و توانایی این اطلاعات بدست آمده را در تعیین دینامیک سیستم و متغیرهای حالت سیستم، موردنبررسی قرار می‌دهد. مفهوم کنترل‌پذیری^۲ بسیار مشابه رؤیت‌پذیری است؛ با این تفاوت که در این ایده، ارتباط ورودی u و متغیر حالت x را بررسی می‌کنیم. در واقع کنترل‌پذیری به معنای توانایی کنترل u در تأثیرگذاری روی کلیه عناصر متغیر حالت x است؛ در نتیجه کنترل‌پذیری به عملگرها و نحوه چیدمان آنها مرتبط می‌باشد، در صورتی که رؤیت‌پذیری به حسگرها و نحوه چیدمان آنها مربوط می‌شود [۱۰].

- چهار دلیل عمدۀ استفاده از سیستم‌های کنترل را می‌توان به صورت زیر نام برد [۱۰] :
- ۱- عملکرد : عملکرد مناسب بسیاری از سیستم‌ها، وابسته به استفاده سیستم کنترل مناسب در آنهاست. به عنوان مثال عملکرد مناسب هواپیماهای مسافربری در حمل و نقل و هواپیماهای جنگی در ایجاد مانورهای دشوار، مدیون سیستم کنترل آن است. در کلیه پروسه‌های تولید، نیروگاه‌ها و پالایشگاه‌ها، سیستم‌های کنترل نقش مهمی را ایفا می‌کنند.
 - ۲- بهره‌وری : مسائل اقتصادی و بهره‌وری مناسب نیز دلیل عمدۀ دیگر استفاده از سیستم‌های کنترل می‌باشد. این امر بخصوص در فرآیندهای تولیدی بسیار حائز اهمیت است. سرعت تولید به همراه رسیدن به کیفیت مناسب و ضایعات حداقل، از عوامل بسیار مهم اقتصادی است که توسط سیستم‌های اتوماسیون و کنترل قابل دسترسی است.
 - ۳- امنیت کاربر : این مسئله در مورد سیستم‌های کنترل به کار رفته در ساختمان‌ها، نیروگاه‌ها و سایر تأسیسات حیاتی، بسیار حائز اهمیت است. بسیاری از سیستم‌ها دارای محدوده‌های کوچک خطی در عملکرد می‌باشند که تنها توسط سیستم‌های کنترل خودکار، در محدوده

1-Observability

2-Controllability

ایمن کار خواهند نمود.

۴- قابلیت اطمینان : درجه اطمینان بیشتر در محدوده عملکرد، توسط سیستم‌های کنترل قابل دستیابی است. سیستم‌های کنترل، تغییرات سریع کمیت‌های فیزیکی در سیستم‌های کنترل شده را به حداقل می‌رسانند و این موضوع به صورت طبیعی باعث افزایش قابلیت اطمینان سیستم می‌شود.

۳-۳- کنترل مقاوم

تحلیل و طراحی سیستم‌ها و فرآیندها از جمله مهمترین مسائل علم کنترل به شمار می‌رود. قدم اول در این مسئله مدلسازی پروسه تحت کنترل است که در بررسی‌ها و محاسبات جایگزین سیستم یا فرآیند واقعی می‌شود. به دلایل مختلف از جمله طبیعت پیچیده و غیرخطی سیستم‌ها، عدم امکان استفاده از مدل‌های پیچیده در محاسبات و همچنین تغییر احتمالی مشخصات سیستم‌ها و فرآیندها، مدل‌های انتخاب شده هیچ‌گاه بطور دقیق بر سیستم اصلی منطبق نیستند؛ بنابراین وجود عدم قطعیت در مدل سیستم‌ها، امری بدیهی به نظر می‌رسد. با توجه به این موضوع در علم کنترل مبحثی با عنوان کنترل مقاوم مطرح می‌گردد. در حقیقت هدف کنترل مقاوم، تحلیل و طراحی سیستم به گونه‌ای است که در دنیای واقعیت، عملکرد مطلوب خود را حفظ نماید.

بطور مختصر منابع و عوامل عدم قطعیت در سیستم را می‌توان به صورت زیر برشمرد :

- ۱- عدم تعیین دقیق پارامترهای مدل به علت محدودیت‌های اندازه‌گیری و محاسبات ساده‌سازی و کاهش درجات آزادی مدل‌ها از طریق حذف دینامیک‌های کم‌اهمیت
- ۲- غیرخطی بودن معادلات و خطای ناشی از خطی‌سازی آنها
- ۳- عدم شناخت کافی از سیستم فیزیکی و در نتیجه بروز خطا در مدلسازی به علت برخی

دینامیک‌ها و تأخیرات مدل‌نشده

۵- صرفنظر کردن از برخی دینامیک‌ها و تأخیرات مدل، عملگرها و حسگرها

۶- خطای تجهیزات کنترلی

۷- خطای محاسبات در تحلیل و طراحی و همچنین تأخیر در زمان محاسبه

۸- ورودی‌های اغتشاشی پیش‌بینی نشده [۱۱]

۱-۳-۳- تاریخچه

روندهای پیشرفت علم کنترل از لحاظ تاریخی را می‌توان به سه دوران تقسیم‌بندی کرد؛ دوران اول که در محدوده سالهای ۱۹۳۰ و ۱۹۶۰ میلادی واقع شده، به دوران کنترل کلاسیک مشهور است. تکنیک‌های آنالیز این دوران عبارت بودند از دیاگرام‌های بودی، نایکویست و مکان ریشه.^۱ همچنین از جمله کنترل کننده‌های متداول این دوران می‌توان به کنترل کننده‌های تقدم فاز^۲، تأخیر فاز و PID اشاره کرد. این روش‌ها هنوز هم در صنعت کاربرد دارد.

دوران دوم که مربوط به سالهای بین ۱۹۶۰ تا ۱۹۸۰ میلادی می‌باشد، به دوران کنترل مدرن معروف شده است که به تکنیک‌های آنالیز و طراحی فضای حالت اختصاص دارد. یکی از روش‌های طراحی این دوران روش LQR می‌باشد که روش به کار رفته در این تحقیق است.

دوران سوم کنترل که به دوران کنترل مقاوم شهرت یافته است از حدود سال ۱۹۸۰ میلادی آغاز شد. روش‌های معرفی شده در این دوران با توجه به درنظر گرفتن مسئله عدم قطعیت، به تدریج در حال توسعه و استفاده در صنعت هستند [۱۰].

1-Root Locus
2-Lead Controller

۲-۳-۳- ضرورت استفاده از کنترل مقاوم

بسیاری از روش‌های متدالول تحلیل و طراحی کنترل سیستم‌ها، مانند روش‌های کلاسیک و بهینه، بر مبنای مدل نامی سیستم‌ها^۱ پایه‌گذاری شده‌اند. بنابراین در صورت بروز هرگونه تغییر و انحراف از مدل نامی، ممکن است کنترل‌کننده نتواند عملکرد مطلوبی داشته باشد. در برخی روش‌ها اثر تغییر پارامترهای سیستم تا حدودی در نظر گرفته می‌شود؛ اما چون به عنوان یک هدف اصلی در تحلیل و طراحی سیستم استفاده نمی‌شود، کارآیی این روش‌ها را فقط در برابر تغییرات سیگнал کوچک^۲ تضمین می‌نماید. مدل‌هایی که برای سیستم‌های واقعی شبیه‌سازی می‌شوند، به دلایل مختلف رفتار کاملاً منطبقی با رفتار سیستم واقعی ندارند. کنترل مقاوم در حالت کلی عبارتست از تحلیل و طراحی کنترل‌کننده‌های ثابت برای مدل نامی سیستم‌ها در حضور اغتشاشات و عدم قطعیت‌های مختلف [۱۱].

۳-۳-۳- فرآیند تحلیل و طراحی در کنترل مقاوم

فرآیند تحلیل در کنترل مقاوم دو نگرش کلی را شامل می‌شود :

- ۱- در نگرش اول فرض بر این است که دامنه عدم قطعیت‌ها مشخص می‌باشد و لذا هدف تحلیل، بررسی پایداری و عملکرد مناسب در حضور کلیه عدم قطعیت‌های مجاز سیستم می‌باشد.
- ۲- در نگرش دوم فرض می‌شود که ساختار احتمالی عدم قطعیت‌ها مشخص می‌باشد؛ بنابراین هدف تحلیل، یافتن حداقل عدم قطعیت‌های مجاز سیستم می‌باشد مشروط بر اینکه پایداری و عملکرد سیستم حلقه-بسته در حد مطلوب حفظ شود. این نگرش تحت عنوان محاسبه حاشیه پایداری و عملکرد مطرح می‌گردد. حسن عمدۀ این نگرش این است که با کمک آن می‌توان قابلیت و کارآیی

1-Nominal Model

2-Small Signal

روش‌های مختلف را با یکدیگر مقایسه کرد.

در مسأله طراحی هدف آن است که با در نظر گرفتن محدوده و ساختار عدم قطعیت در سیستم، کنترل‌کننده‌ای بیابیم که در حضور عدم قطعیت‌های مجاز، علاوه بر تضمین پایداری حلقة-بسته، مشخصه‌های عملکردی مطلوبی نیز داشته باشد [۱۱].

۴-۳- فیدبک حالت

همانطور که ذکر شد در دیدگاه مدرن، اطلاعات ورودی و خروجی سیستم در متغیرهای حالت سیستم فشرده است؛ لذا ایده اصلی در طراحی کنترل‌کننده مدرن، استفاده از فیدبک حالت می‌باشد. در این بخش ابتدا فرآیند طراحی کنترل‌کننده فیدبک حالت بهینه (LQR) را بیان می‌کنیم.

۴-۱- فرآیند طراحی کنترل‌کننده

هدف از طراحی کنترل‌کننده این است که با وجود اغتشاشات w ، نویز اندازه‌گیری y ، عدم دقیق در مدل‌سازی فرآیند P و محدودیت‌های عملگرها و حسگرها، حتی المقدور خروجی سیستم $y(t)$ نزدیک به مقدار مطلوب $y_d(t)$ باقی بماند. طراحی کنترل‌کننده به معنای ایجاد رابطه ریاضی مناسب یا استراتژی منطقی مناسب برای رسیدن به هدف فوق است. با استفاده از المان فیدبک، یعنی در دسترس داشتن اطلاعات خروجی y_m برای تولید فرآیند کنترلی u ، می‌توان هدف کنترلی فوق را با وجود محدودیت‌ها و خواسته‌های متعدد بدست آورد. به منظور طراحی کنترل‌کننده مناسب بایستی مراحل زیر محقق گردد:

- مدلسازی فرآیند

- تعیین مشخصات فیزیکی w و y_d در حوزه زمان یا فرکانس

- مشخص نمودن معیار یا معیارهای عملکرد

- مدلسازی ریاضی عملگرها، حسگرها، مشخصات فیزیکی نویز اندازه‌گیری و ...

- مشخص نمودن فرم عمومی کنترل کننده (به عنوان مثال فیدبک حالت یا PID)

همانگونه که مشخص است طراحی موفق کنترل کننده و پیاده‌سازی آن نیازمند تخصص‌های مختلف (برق، مکانیک، کامپیوتر و ...) است؛ لذا غالباً این عملیات به صورت گروهی صورت می‌گیرد [۱۰].

۲-۴-۳- بررسی فیدبک حالت

سیستم خطی زیر را در نظر بگیرید :

$$\begin{cases} \dot{x} = Ax + Bu \\ y = Cx \end{cases} \quad (2-3)$$

که در آن x متغیر حالت n بعدی، u ورودی m بعدی و y خروجی m بعدی می‌باشد. با توجه به خواص متغیر حالت x که کلیه اطلاعات ورودی در زمان قبل را به اطلاعات خروجی‌های آینده مرتبط می‌سازد، اگر کنترل کننده u را تابعی از x در نظر بگیریم، می‌توان قابلیت لازم جهت پایدارسازی سیستم همزمان با تنظیم یا حذف اغتشاش را بدست آورد. در سیستم‌های خطی این کنترل کننده را نیز تابعی خطی از x در نظر می‌گیریم و داریم :

$$u = -kx \quad (3-3)$$

علامت منفی اشاره به مفهوم فیدبک منفی دارد؛ ولی چون متغیر x یکتا نیست، بسته به تحقیقات مختلف از یک سیستم، k می‌تواند مثبت یا منفی باشد و تنها به خاطر توجه به اهمیت

فیدبک منفی در پایدارسازی سیستم‌ها، از علامت منفی استفاده شده است. در اینجا ماتریس k را ماتریس بهرهٔ حالت می‌نامیم [۱۰].

۳-۴-۳- کنترل فیدبک حالت بهینه : LQR

عبارت LQR^1 در واقع معرف تنظیم‌کننده خطی با شاخص عملکردی مربعی می‌باشد. روش خطی-مربعی^۲، شاید مهمترین نتیجهٔ کنترل مدرن در طراحی کنترل‌کننده‌های فیدبک حالت باشد. بسیاری از مسائل مهندسی توسط این روش حل گشته و روش‌های گوناگون عددی برای حل مسئله ابداع شده است. در روش کنترل فیدبک حالت بهینه، معیار عملکرد یا مشخصه‌ای را به صورت زیر تعریف می‌کنیم :

$$J = \int_0^{\infty} \left[x^T(t)Qx(t) + u^T(t)Ru(t) \right] dt \quad (4-3)$$

که در آن Q, R ماتریس‌های متقارن بوده و $Q \geq 0, R > 0$ می‌باشند. بایستی توجه داشت که معیارهای عملکردی سیستم حلقه-بسته همانند پایداری داخلی، تنظیم یا تعقیب، حذف اغتشاش، حذف نویز و عدم حساسیت به مدل، غالباً پیچیده‌تر از آن است که در یک تابع J فشرده شود [۱۰]. در مسئلهٔ طراحی کنترل فیدبک حالت بهینه LQR، ابتدا سیستم خطی زیر را در نظر

می‌گیریم :

$$\dot{x} = Ax + Bu \quad (5-3)$$

می‌خواهیم کنترل فیدبک حالت $u = -kx$ را به گونه‌ای طراحی کنیم که معیار عملکرد J را کمینه سازد. معادلهٔ سیستم حلقه-بسته و معیار عملکرد آن به صورت زیر خواهد بود :

1-Linear Quadratic Regulator : LQR
2-LQ

$$\dot{x} = (A - Bk)x$$

$$J = \int_0^{\infty} x^T(t)(Qx + k^T Rk)x(t) dt \quad (6-3)$$

برای اینکه مسئله جواب داشته باشد ابتدا بایستی کنترل کننده بتواند سیستم را پایدار سازد و یا در حالت جامع تر، سیستم باید کنترل پذیر باشد.

برای اینکه ماتریس بهره کنترل k ، بتواند معیار طراحی J را به ازای کلیه شرایط اولیه $x(0)$ کمینه سازد، بایستی در معادله زیر صدق کند :

$$k = R^{-1}B^T P \quad (7-3)$$

که در آن P در معادله ماتریسی ریکاتی زیر صدق می کند :

$$A^T P + PA - PBR^{-1}B^T P + Q = 0 \quad (8-3)$$

در نرم افزار MATLAB این معادله توسط دستور LQR قابل حل است [۱۲]. با دانستن بهره کنترل k ، نیروی کنترل u را بدست آورده و به سیستم اعمال می کنیم [۱۰].

۵-۳- رؤیتگر حالت [۱۰]

در کلیه روش های طراحی کنترل کننده فیدبک حالت، فرض بر این است که کلیه متغیرهای حالت در دسترس باشند؛ در صورتی که در عمل برای اندازه گیری هر یک از متغیرهای حالت، نیاز به نصب حسگر و سیستم های اندازه گیری می باشد که این امر مستلزم صرف هزینه های زیادی است. به این ترتیب تنها برخی از متغیرهای حالت و یا ترکیب خطی آنها اندازه گیری می شود و یا در فرم کلاسیک، تنها فیدبک خروجی در دسترس است. در نتیجه به نظر می رسد کاربرد فیدبک حالت به شدت تحت الشعاع قرار می گیرد. راه حل منطقی این مسئله، تخمین متغیرهای حالت از روی خروجی هاست. این عملیات تخمین توسط سیستم دینامیکی به نام رؤیتگر حالت صورت می گیرد که

ورودی آن، خروجی سیستم اصلی و خروجی آن، متغیرهای حالت تخمین زده شده می‌باشند. در این صورت امکان استفاده از فیدبک حالت حتی در مواردی که کلیه متغیرهای حالت اندازه‌گیری نشوند، امکان‌پذیر است.

۱-۵-۳- رؤیتگر مقدماتی

سیستم خطی زیر را در نظر بگیرید :

$$\dot{x} = Ax + Bu \quad (9-3)$$

اگر این مدل را به صورت دینامیکی در کنار سیستم اصلی مشابه‌سازی کنیم، می‌توان تخمینی از متغیرهای حالت به دست آورد. اگر تخمین را با \hat{x} نشان دهیم، ساده‌ترین معادله تخمین به صورت طبیعی برابر است با :

$$\dot{\hat{x}} = A\hat{x} + Bu \quad (10-3)$$

که در آن فرض بر آن است که \hat{x} بتواند متغیر حالت را تعقیب کند.

حال اگر خطای تخمین را با e معرفی کنیم، خواهیم داشت :

$$e(t) = x(t) - \hat{x}(t) \quad (11-3)$$

دینامیک خطای تخمین را با مشتق‌گیری از معادله بالا می‌توان تعیین کرد:

$$\begin{aligned} \dot{e}(t) &= \dot{x}(t) - \dot{\hat{x}}(t) \\ &= Ax + Bu - A\hat{x} - Bu \\ &= A(x - \hat{x}) \\ &= Ae \end{aligned} \quad (12-3)$$

اگر سیستم پایدار باشد، این خطای تخمین را می‌توان صفر میل می‌کند و لذا در حالت مجانبی، \hat{x} متغیر حالت x را تعقیب می‌کند.

ایده اصلی رؤیتگر، استفاده از دینامیک اصلی سیستم در تخمین حالت می باشد؛ اما ایراد اصلی A این روش آن است که اعمال کنترلی بر دینامیک خطأ وجود نداشته و در حالتی که سیستم دینامیک مناسبی نداشته باشد، به روند مطلوبی برای تخمین متغیرهای حالت نخواهیم رسید. به بیان دیگر در این روش، نیاز به اطلاعات دقیق از دینامیک اصلی سیستم (ماتریس های A و B) است که این امر هیچ گاه به صورت کامل تحقق نمی یابد. در نتیجه هرگونه خطای مدلسازی، دقیقاً در تخمین حالت تأثیرگذار بوده و سیستم رؤیتگر را از حد مطلوب خارج می کند.

۲-۵-۳- رؤیتگر مرتبه کامل

حال سیستم خطی کامل زیر را با معادله خروجی در نظر بگیرید :

$$\begin{cases} \dot{x} = Ax + Bu \\ y = Cx \end{cases} \quad (13-3)$$

معادله تخمین حالت را با فیدبکی از اطلاعات خروجی، به صورت زیر تکمیل می کنیم :

$$\dot{\hat{x}} = A\hat{x} + Bu + G(y - C\hat{x}) \quad (14-3)$$

که در آن G یک ماتریس $n \times m$ (n تعداد متغیرهای حالت و m تعداد خروجی ها) می باشد و به عنوان ماتریس بهره رؤیتگر نامیده می شود. همانطور که ملاحظه می شود در این معادله یک عبارت اصلاحی به رؤیتگر مقدماتی اضافه شده است. در این صورت اگر $\hat{x} = x$ باشد، یعنی تخمین متغیر حالت بطور ایدهآل هیچ خطای نداشته باشد، عبارت اصلاحی برابر صفر است و هیچ تأثیری در معادله نخواهد داشت :

$$y - C\hat{x} = y - Cx = 0 \quad (15-3)$$

از طرف دیگر در صورتی که به هر دلیلی از جمله کامل نبودن مدل، دقیق نبودن تخمین و ... ، $\hat{x} \neq x$ باشد، ترم اصلاحی به صورت مثبت به معادله دینامیکی اضافه شده و در نتیجه دینامیک خطأ

را پایدارتر کرده و مطابق خواست طراح، سرعت همگرایی خطابه سمت صفر را تنظیم می‌کند.

۳-۵-۳- رؤیتگر بهینه : فیلتر کالمن

فیلتر کالمن^۱ در عمل یکی از موفق‌ترین روش‌های تخمین می‌باشد. فیلتر کالمن در سال ۱۹۹۴ به عنوان موفق‌ترین و کارآمدترین تئوری در میان تئوری‌های متنوع کنترل در انجمن علمی IEEE برگزیده شد. این تئوری که در سال ۱۹۶۰ به سختی به عنوان تز دکترا پذیرفته شد و چند بار در مرحله داوری برای چاپ در مجلات علمی مردود شناخته شد، پس از کاربرد موفق در زمینه‌های مختلف از جمله تئوری تخمین، ناویری و هدایت و ...، بعد از ۳۵ سال به این درجه اعتبار نائل گردید. در طراحی رؤیتگر بهینه فرض می‌کنیم مدل‌سازی دارای خطابه باشد؛ در نتیجه خواهیم داشت :

$$\begin{cases} \dot{x} = Ax + Bu + w \\ y = Cx + v \end{cases} \quad (16-3)$$

از یک نظر w را می‌توان خطابی مدل‌سازی سیستم فرض نمود، که به صورت مستقیم با معادله سیستم جمع شده است. از طرفی اندازه‌گیری خروجی‌ها نیز دارای نویز اندازه‌گیری v می‌باشد. بدین ترتیب می‌توان w را نویز فرآیند و v را نویز اندازه‌گیری در نظر گرفت. از قسمت رؤیتگر مرتبه کامل داریم :

$$\dot{\hat{x}} = A\hat{x} + Bu + G(y - C\hat{x}) \quad (17-3)$$

در نتیجه معادله خطابه عبارتست از :

$$\dot{e} = \dot{x} - \dot{\hat{x}} = (A - GC)e + w - Gv \quad (18-3)$$

در طراحی رؤیتگر بهینه از دیدگاه کالمن، با توجه به منابع اتفاقی w, v ، فرآیندهای سیستم را

به صورت اتفاقی تعبیر نموده و با اعمال شرایط آماری برای W, V ، سعی می‌کنیم واریانس خطای تخمین را کمینه کنیم. در این دیدگاه فرض می‌شود $V(t), W(t)$ فرآیندهای تصادفی گوسی به صورت نویز سفید باشند، که کوواریانس آنها به ترتیب V, W می‌باشد. رؤیتگر بهینه در این دیدگاه واریانس خطرا را که خود یک فرآیند تصادفی گوسی می‌باشد، با شاخص کمینه‌سازی زیر بهینه می‌نماید:

$$J = E \left\{ \int_0^{\infty} e^T(t) e(t) dt \right\} \quad (19-3)$$

لذا این خطا که خود تابع شناخت مشخصات آماری عدم دقت در مدل‌سازی با نویز فرآیند W و نویز اندازه‌گیری V می‌باشد، در این حالت کمینه شده و مصالحه‌ای بین سرعت پاسخ و میزان استفاده از اطلاعات اولیه برقرار می‌کند.

تفضیل بیشتر این دیدگاه نیاز به مقدمات فرآیندهای تصادفی دارد که از حوصله این بحث خارج است. در حالت کلی دلایل موفقیت این دیدگاه در دو اصل نهفته است که عبارتند از:

۱) عدم نیاز به مدل دقیق و مقاوم بودن: با توجه به وجود V, W و در نظر گرفتن نویز فرآیند و نویز اندازه‌گیری و عدم قطعیت آنها، رؤیتگر بهینه‌ای طراحی می‌شود که واریانس خطای تخمین را کمینه کند. در صورتی که W را بزرگ‌تر از V در نظر بگیریم، بدان معناست که اطلاعات ما از مدل کم بوده، ولی فیدبک اطلاعاتی که از خروجی می‌گیریم، دقیق است. بدین ترتیب با عدم تکیه به مدل و با اعمال درجه اعتبار بیشتر نسبت به اطلاعات ورودی، رؤیتگر بهینه به خوبی عمل خواهد نمود. از طرف دیگر اگر خروجی‌ها با نویز زیادی همراه بوده و یا از درجه اعتبار زیادی برخوردار نباشند، در حالتی که بتوان مدل مناسبی برای فرآیند استخراج نمود، باز هم به تخمین مناسب متغیرهای حالت سیستم و یا فیلتر کردن بهینه خروجی‌ها نائل می‌شویم.

۲) عدم محدودیت در اجراء: حل رؤیتگر بهینه در واقع دوگان کنترل بهینه است. ولی از لحاظ پیاده‌سازی با هم اختلاف اساسی دارند. در کنترل کننده بهینه، حاصل محاسبات همان بهره فیدبک

حالت k می‌باشد که به صورت $u = -kx$ بر روی سیستم واقعی پیاده‌سازی می‌گردد و چون عملگرها عموماً دارای محدودیت دامنه و فرکانس عملکرد می‌باشند، لذا نمی‌توان بهرهٔ فیدبک را به اندازهٔ دلخواه بزرگ نمود و سرعت عملکرد پاسخ را به شکل مطلوب و بدون محدودیت تنظیم کرد. در صورتی که در پیاده‌سازی فیلتر کالمون، کلیهٔ عملیات لازم برای تحقق فیلتر، بر روی میکروپروسسور یا کامپیوتر صورت می‌گیرد و لذا هیچ‌گونه محدودیت فیزیکی در افزایش بهرهٔ رؤیتگر G و تنظیم سرعت همگرایی خطای تخمین، وجود ندارد.

لازم به ذکر است که در این تحقیق از حالت full state feedback استفاده شده است؛ بدین معنی که فرض شده است در تمامی طبقات حسگر کار گذاشته شده و در هر لحظه متغیرهای حالت در حال اندازه‌گیری هستند.

فصل چهارم

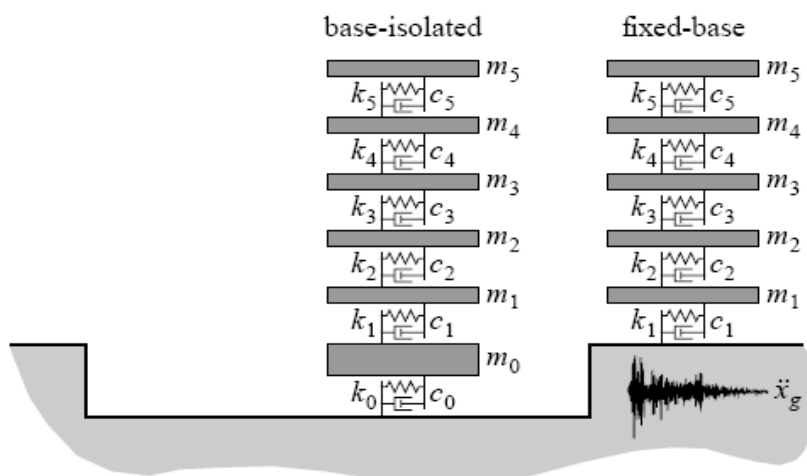
مدلسازی و تحلیل نتایج

“The best **model** of a cat is another, or preferably the same, cat.”

Arturo Rosenblueth with Norbert Wiener

۱-۴ مقدمه

در این تحقیق از دو مدل مختلف استفاده شده است . مدل شماره ۱، مدل Kelly و همکاران (۱۹۸۷) می‌باشد [۱۳] که یک سازه پنج درجه آزادی است و بر روی جداساز لرزه‌ای قرار گرفته است. با توجه به استفاده از سیستمهای جداساز لرزه‌ای در ساختمانهای با ارتفاع کم و متوسط [۱۴] ، این مدل می‌تواند نماینده مناسبی برای این نوع سازه‌ها باشد. طرح کلی مدل مورداستفاده مطابق شکل ۱-۴ و مشخصه‌های اصلی آن مطابق جدول ۱-۴ می‌باشد.



شکل ۱-۴: طرح کلی مدل مورد استفاده

جدول ۱-۴ : مشخصات مدل شماره ۱، Kelly و همکاران (۱۹۸۷)

Structural model parameters (Kelley et al, 1987).

Floor Masses [kg]	Stiffness Coefficients [kN/m]	Damping Coefficients [kNs/m]
$m_0 = 6800$	$k_0 = 231.5$	$c_0 = 7.45$
$m_1 = 5897$	$k_1 = 33732$	$c_1 = 67$
$m_2 = 5897$	$k_2 = 29093$	$c_2 = 58$
$m_3 = 5897$	$k_3 = 28621$	$c_3 = 57$
$m_4 = 5897$	$k_4 = 24954$	$c_4 = 50$
$m_5 = 5897$	$k_5 = 19059$	$c_5 = 38$

مدل شماره ۲، مدل H.Yazici و R.Guclu است [۱۵] که یک سازه چهارده درجه آزادی می‌باشد و بر روی جداساز لرزه‌ای قرار گرفته است. مشخصه‌های اصلی آن مطابق جدول ۲-۴ می‌باشد. این مدل به عنوان نماینده سازه‌های بلندمرتبه عملکرد جداساز لرزه‌ای را بر روی این قبیل سازه‌ها نشان می‌دهد. این دو مدل بوسیله نرم‌افزار MATLAB شبیه‌سازی شده و برای اعمال سیستم کنترل فعال از الگوریتم LQR استفاده شده است.

این مدل‌ها در سه حالت مختلف، Fixed Structure برای حالت بدون جداساز لرزه‌ای و Base Isolated برای حالت با جداساز لرزه‌ای فعال و با جداساز لرزه‌ای غیرفعال، مورد بررسی قرار گرفته‌اند.

جدول ۲-۴ : مشخصات مدل شماره ۲، H.Yazici & R.Guclu

R. Guclu, H. Yazici

Mass parameters (kg)	Stiffness parameters (N/m)	Damping parameters (N s/m)
$m_1 = 450,000$	$k_1 = 18050,000$	$c_1 = 26,170$
$m_2 = 345,600$	$k_2 = 340,400,000$	$c_2 = 293,700$
$m_3 = 345,600$	$k_3 = 340,400,000$	$c_3 = 293,700$
$m_4 = 345,600$	$k_4 = 340,400,000$	$c_4 = 293,700$
$m_5 = 345,600$	$k_5 = 340,400,000$	$c_5 = 293,700$
$m_6 = 345,600$	$k_6 = 340,400,000$	$c_6 = 293,700$
$m_7 = 345,600$	$k_7 = 340,400,000$	$c_7 = 293,700$
$m_8 = 345,600$	$k_8 = 340,400,000$	$c_8 = 293,700$
$m_9 = 345,600$	$k_9 = 340,400,000$	$c_9 = 293,700$
$m_{10} = 345,600$	$k_{10} = 340,400,000$	$c_{10} = 293,700$
$m_{11} = 345,600$	$k_{11} = 340,400,000$	$c_{11} = 293,700$
$m_{12} = 345,600$	$k_{12} = 340,400,000$	$c_{12} = 293,700$
$m_{13} = 345,600$	$k_{13} = 340,400,000$	$c_{13} = 293,700$
$m_{14} = 345,600$	$k_{14} = 340,400,000$	$c_{14} = 293,700$
$m_{15} = 345,600$	$k_{15} = 340,400,000$	$c_{15} = 293,700$

۴-۲- فرمول‌بندی ریاضی

“Make everything as simple as possible, but not simpler.” *Albert Einstein*

برای در ک بهتر عملکرد جداساز لرزه‌ای فعال در سازه‌ها و مقایسه آن با حالت جداساز لرزه‌ای غیرفعال و بدون جداساز لرزه‌ای، برای هر کدام از حالت‌ها بطور جداگانه فرمول‌بندی انجام شده است و هر کدام تحت تأثیر زلزله‌های مشخصی قرار گرفته‌اند. به این ترتیب می‌توان به نتایج بهتر و جامع‌تری در این زمینه دست یافت.

در دو حالت بدون جداساز لرزه‌ای و با جداساز لرزه‌ای غیرفعال، فرمول‌بندی از طریق تعیین ماتریس سختی، جرم و میرایی سازه و معادلات حاکم بر آن انجام شده است. در حالت با جداساز لرزه‌ای فعال، به دلیل وارد شدن نیروی کنترل بر معادلات حاکم، فرمول‌بندی در قالب فضای حالت مورد بررسی قرار گرفته و برای تعیین نیروی کنترل بهینه در هر لحظه، از روش LQR استفاده شده است.

۴-۲-۱- معادلات ماتریسی

در این بخش معادلات ماتریسی را برای مدل شماره ۱ انجام می‌دهیم که این معادلات به راحتی برای مدل شماره ۲ قابل تعمیم است. مدل ماتریسی سازه بدون درنظر گرفتن جداساز لرزه‌ای، یک مدل پنج درجه آزادی است که معادلات آن بنابر متغیرهایی که در شکل ۴-۲ مشخص شده‌اند، به صورت زیر بیان می‌شوند :

$$K_1 \begin{bmatrix} x_1 \\ x_2 \\ x_3 \\ x_4 \\ x_5 \end{bmatrix} + C_1 \begin{bmatrix} \dot{x}_1 \\ \dot{x}_2 \\ \dot{x}_3 \\ \dot{x}_4 \\ \dot{x}_5 \end{bmatrix} + M_1 \begin{bmatrix} \ddot{x}_1 \\ \ddot{x}_2 \\ \ddot{x}_3 \\ \ddot{x}_4 \\ \ddot{x}_5 \end{bmatrix} = -M_1 \begin{bmatrix} 1 \\ 1 \\ 1 \\ 1 \\ 1 \end{bmatrix} \ddot{x}_g \quad (4-4)$$

در نتیجه خواهیم داشت :

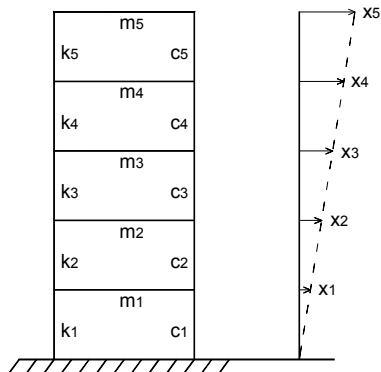
$$\{\ddot{x}\} = -M_1^{-1}K_1\{x\} - M_1^{-1}C_1\{\dot{x}\} - [1 \ 1 \ 1 \ 1 \ 1]^T \ddot{x}_g \quad (2-4)$$

که در آن M_1 ماتریس جرم، K_1 ماتریس سختی، C_1 ماتریس میرایی و x بردار تغییر مکان

است، و بصورت زیر تعریف می‌شوند :

$$M_1 = \begin{bmatrix} m_1 & 0 & 0 & 0 & 0 \\ 0 & m_2 & 0 & 0 & 0 \\ 0 & 0 & m_3 & 0 & 0 \\ 0 & 0 & 0 & m_4 & 0 \\ 0 & 0 & 0 & 0 & m_5 \end{bmatrix} \quad K_1 = \begin{bmatrix} k_{1+2} & -k_2 & 0 & 0 & 0 \\ -k_2 & k_{2+3} & -k_3 & 0 & 0 \\ 0 & -k_3 & k_{3+4} & -k_4 & 0 \\ 0 & 0 & -k_4 & k_{4+5} & -k_5 \\ 0 & 0 & 0 & -k_5 & k_5 \end{bmatrix}$$

$$C_1 = \begin{bmatrix} c_{1+2} & -c_2 & 0 & 0 & 0 \\ -c_2 & c_{2+3} & -c_3 & 0 & 0 \\ 0 & -c_3 & c_{3+4} & -c_4 & 0 \\ 0 & 0 & -c_4 & c_{4+5} & -c_5 \\ 0 & 0 & 0 & -c_5 & c_5 \end{bmatrix} \quad X = \begin{bmatrix} X_1 \\ X_2 \\ X_3 \\ X_4 \\ X_5 \end{bmatrix}$$



شکل ۲-۴ : مدل شماتیک سازه پنج درجه آزادی بدون جداساز لرزه‌ای و پارامترهای مرتبط با آن

مدل ماتریسی سازه با در نظر گرفتن جداساز لرزه‌ای غیرفعال، یک مدل شش درجه آزادی است
است که معادلات آن بنابر متغیرهایی که در شکل ۳-۴ مشخص شده‌اند، بصورت زیر بیان می‌شوند:

$$K_2 \begin{bmatrix} x_b \\ x_1 \\ x_2 \\ x_3 \\ x_4 \\ x_5 \end{bmatrix} + C_2 \begin{bmatrix} \dot{x}_b \\ \dot{x}_1 \\ \dot{x}_2 \\ \dot{x}_3 \\ \dot{x}_4 \\ \dot{x}_5 \end{bmatrix} + M_2 \begin{bmatrix} \ddot{x}_b \\ \ddot{x}_1 \\ \ddot{x}_2 \\ \ddot{x}_3 \\ \ddot{x}_4 \\ \ddot{x}_5 \end{bmatrix} = -M_2 \begin{bmatrix} 1 \\ 1 \\ 1 \\ 1 \\ 1 \\ 1 \end{bmatrix} \ddot{x}_g - M_2 \begin{bmatrix} 0 \\ 1 \\ 1 \\ 1 \\ 1 \\ 1 \end{bmatrix} \ddot{x}_b \quad (3-4)$$

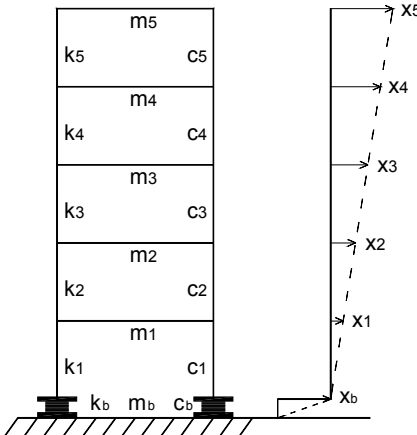
در نتیجه خواهیم داشت:

$$\{\ddot{x}\} = -M_2^{-1} K_2 \{x\} - M_2^{-1} C_2 \{\dot{x}\} - [1 1 1 1 1 1]^T \ddot{x}_g - [0 1 1 1 1 1]^T \ddot{x}_b \quad (4-4)$$

که در آن M_2 ماتریس جرم، K_2 ماتریس سختی، C_2 ماتریس میرایی و x بردار تغییر مکان
است، و بصورت زیر تعریف می‌شوند:

$$M_2 = \begin{bmatrix} m_b & 0 & 0 & 0 & 0 & 0 \\ 0 & m_1 & 0 & 0 & 0 & 0 \\ 0 & 0 & m_2 & 0 & 0 & 0 \\ 0 & 0 & 0 & m_3 & 0 & 0 \\ 0 & 0 & 0 & 0 & m_4 & 0 \\ 0 & 0 & 0 & 0 & 0 & m_5 \end{bmatrix} \quad K_2 = \begin{bmatrix} k_b & -k_1 & 0 & 0 & 0 & 0 \\ 0 & k_1+k_2 & -k_2 & 0 & 0 & 0 \\ 0 & -k_2 & k_2+k_3 & -k_3 & 0 & 0 \\ 0 & 0 & -k_3 & k_3+k_4 & -k_4 & 0 \\ 0 & 0 & 0 & -k_4 & k_4+k_5 & -k_5 \\ 0 & 0 & 0 & 0 & -k_5 & k_5 \end{bmatrix}$$

$$C_2 = \begin{bmatrix} c_b & -c_1 & 0 & 0 & 0 & 0 \\ 0 & c_1+c_2 & -c_2 & 0 & 0 & 0 \\ 0 & -c_2 & c_2+c_3 & -c_3 & 0 & 0 \\ 0 & 0 & -c_3 & c_3+c_4 & -c_4 & 0 \\ 0 & 0 & 0 & -c_4 & c_4+c_5 & -c_5 \\ 0 & 0 & 0 & 0 & -c_5 & c_5 \end{bmatrix} \quad X = \begin{bmatrix} x_b \\ x_1 \\ x_2 \\ x_3 \\ x_4 \\ x_5 \end{bmatrix}$$



شکل ۳-۴ : مدل شماتیک سازه پنج درجه آزادی با جداساز لرزه‌ای غیرفعال و پارامترهای مرتبط با آن

۲-۲-۴- معادلات فضای حالت

همانطور که ذکر شد در حالت با جداساز لرزه‌ای فعال، فرمول بندی در قالب فضای حالت صورت می‌گیرد. معادله حرکت یک سیستم که در معرض زلزله قرار گرفته است، در فضای حالت بصورت زیر بیان می‌شود :

$$\dot{x} = Ax + Bu + E\ddot{x}_g \quad (5-4)$$

که در آن x متغیر حالت، u نیروی کنترل، \ddot{x}_g شتاب نگاشت زلزله، A بردار حالت، B بردار مکان کنترلگر و E بردار مکان نیروی زلزله است [۱۲]. در طراحی کنترل کننده LQR می‌خواهیم کنترل فیدبک حالت x را به گونه‌ای طراحی کنیم که معیار عملکرد زیر را کمینه سازد :

$$J = \int_0^{\infty} \left[x^T(t) Q x(t) + u^T(t) R u(t) \right] dt \quad (6-4)$$

در نهایت معادله سیستم حلقه بسته بصورت زیر خواهد بود :

$$\dot{x} = (A - Bk)x + E\ddot{x}_g \quad (7-4)$$

در بخش ۳-۴-۳ این مسئله به تفصیل بیان شده است.

مدل ریاضی سازه با در نظر گرفتن جداساز لرزه‌ای فعال، یک مدل شش درجه آزادی است
است که معادلات آن بنابر متغیرهایی که در شکل ۴-۴ مشخص شده‌اند، بصورت زیر بیان می‌شوند :

(۸-۴)

$$K_3 \begin{bmatrix} x_b \\ x_1 \\ x_2 \\ x_3 \\ x_4 \\ x_5 \end{bmatrix} + C_3 \begin{bmatrix} \dot{x}_b \\ \dot{x}_1 \\ \dot{x}_2 \\ \dot{x}_3 \\ \dot{x}_4 \\ \dot{x}_5 \end{bmatrix} + M_3 \begin{bmatrix} \ddot{x}_b \\ \ddot{x}_1 \\ \ddot{x}_2 \\ \ddot{x}_3 \\ \ddot{x}_4 \\ \ddot{x}_5 \end{bmatrix} = -M_3 \begin{bmatrix} 1 \\ 1 \\ 1 \\ 1 \\ 1 \\ 1 \end{bmatrix} \ddot{x}_g - M_3 \begin{bmatrix} 0 \\ 1 \\ 1 \\ 1 \\ 1 \\ 1 \end{bmatrix} \ddot{x}_b - u \begin{bmatrix} 1 \\ 0 \\ 0 \\ 0 \\ 0 \\ 0 \end{bmatrix}$$

در نتیجه خواهیم داشت :

(۹-۴)

$$\{\ddot{x}\} = -M_3^{-1} K_3 \{x\} - M_3^{-1} C_3 \{\dot{x}\} - [1 1 1 1 1 1]^T \ddot{x}_g - [0 1 1 1 1 1]^T \ddot{x}_b - M_3^{-1} F [1 0 0 0 0 0]^T$$

با در نظر گرفتن X به عنوان متغیر حالت داریم :

$$X_1 = \{x\}, X_2 = \{\dot{x}\}, X = \begin{Bmatrix} X_1 \\ X_2 \end{Bmatrix} \Rightarrow \dot{X} = \begin{Bmatrix} \dot{X}_1 \\ \dot{X}_2 \end{Bmatrix} = AX + Bu + E\ddot{x}_g \quad (10-4)$$

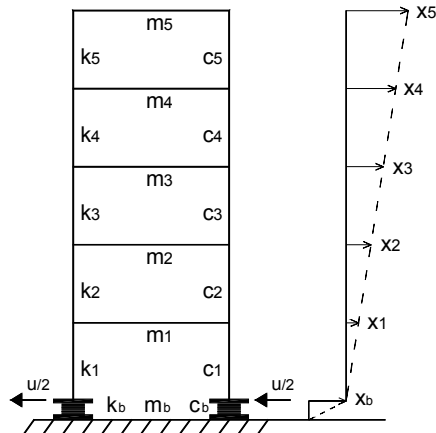
با توجه به روابط بالا و همچنین رابطه (۵-۴)، ماتریس‌های A، B و E بدست می‌آیند :

$$A = \begin{bmatrix} \begin{bmatrix} \theta \\ -H^I M_2^I K_2 \end{bmatrix}_{6*6} & \begin{bmatrix} I \\ -H^I M_2^I C_2 \end{bmatrix}_{6*6} \end{bmatrix} \quad B = \begin{bmatrix} \begin{bmatrix} \theta \\ -H^I M_2^I Y \end{bmatrix}_{6*I} \end{bmatrix} \quad E = \begin{bmatrix} \begin{bmatrix} \theta \\ -H^I N \end{bmatrix}_{6*I} \end{bmatrix}$$

(11-۴)

که در آن :

$$H = (I + Y'Y^T) \quad N = [1 \ 1 \ 1 \ 1 \ 1 \ 1]^T \quad Y' = [0 \ 1 \ 1 \ 1 \ 1 \ 1]^T \quad Y = [1 \ 0 \ 0 \ 0 \ 0 \ 0]^T$$



شکل ۴-۴ : مدل شماتیک سازه پنج درجه آزادی با جداساز لرزه‌ای فعال و پارامترهای مرتبط با آن

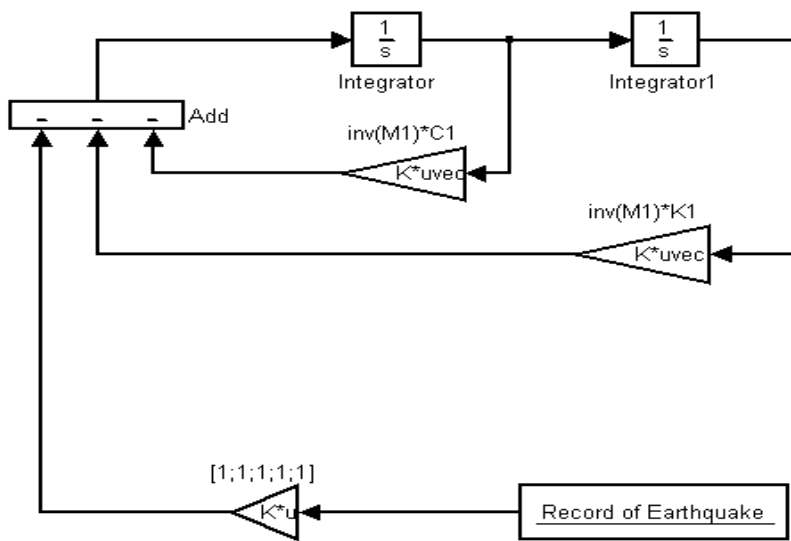
۳-۴- شبیه‌سازی مدل^۱

در این مرحله با استفاده از فرمول‌بندی ریاضی که در بخش ۲-۴ در سه حالت مختلف بدست آمد، به شبیه‌سازی مدل در نرم‌افزار MATLAB می‌پردازیم. شبیه‌سازی برای مدل شماره ۱ انجام شده که برای مدل شماره ۲ نیز قابل تعمیم است.

۴-۱-۳- حالت بدون جداساز لرزه‌ای : Fixed Structure

در این حالت با استفاده از معادلات ماتریسی بدست آمده در بخش ۱-۲-۴ مربوط به حالت

بدون جداساز، شبیه‌سازی انجام شده است. شکل ۴-۵ شبیه‌سازی معادله حاکم بر سازه را مربوط به مدل شماره ۱ و در حالت بدون جداساز لرزه‌ای نشان می‌دهد. برای مدل شماره ۲ نیز به همین طریق و با استفاده از ماتریس‌های مربوطه شبیه‌سازی انجام می‌پذیرد.

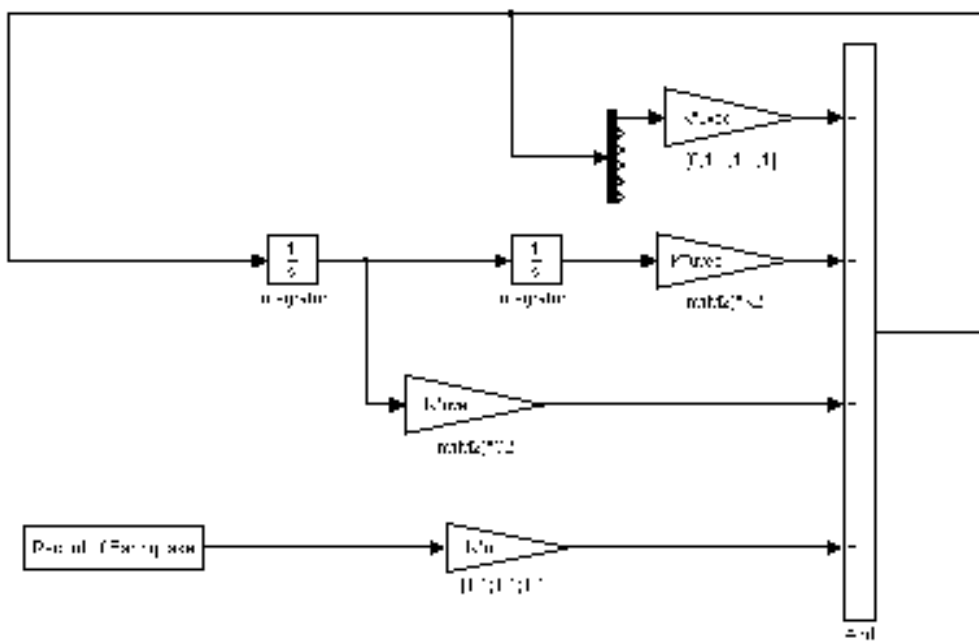


شکل ۴-۵ : شبیه‌سازی مدل شماره ۱ مربوط به حالت بدون جداساز لرزه‌ای

بعد از انجام عملیات شبیه‌سازی، رکورد زلزله موردنظر به سازه اعمال می‌شود و نتایج موردنرسی قرار می‌گیرد.

۲-۳-۴- حالت با جداساز لرزه‌ای غیرفعال :

در این حالت با استفاده از معادلات ماتریسی بدست آمده در بخش ۱-۲-۴ مربوط به حالت با جداساز لرزه‌ای غیرفعال، شبیه‌سازی انجام شده است. شکل ۶-۴ شبیه‌سازی معادله حاکم بر سازه را مربوط به مدل شماره ۱ و در حالت با جداساز لرزه‌ای غیرفعال نشان می‌دهد. برای مدل شماره ۲ نیز به همین طریق و با استفاده از ماتریس‌های مربوطه شبیه‌سازی انجام می‌پذیرد.

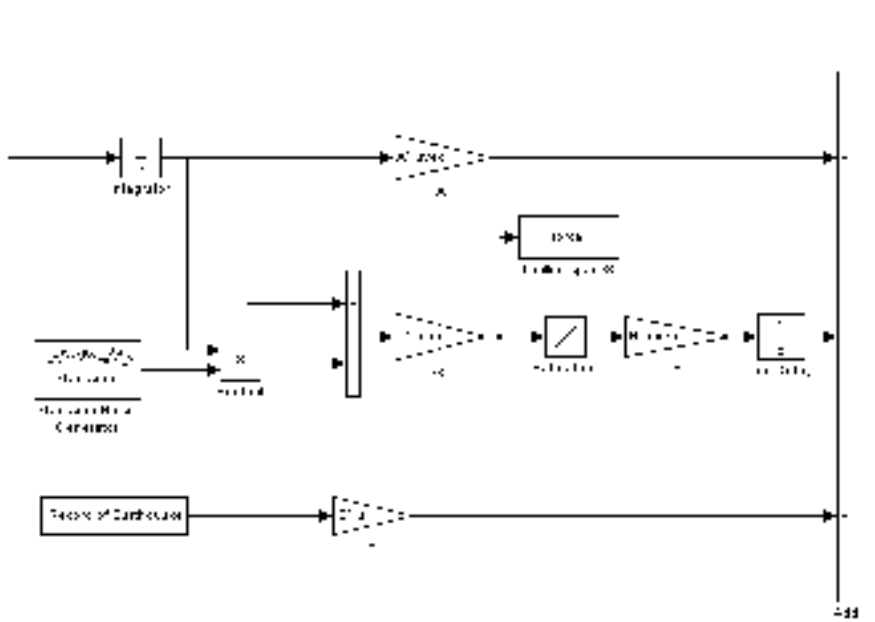


شکل ۶-۴: شبیه‌سازی مدل شماره ۱ مربوط به حالت با جداساز لرزه‌ای غیرفعال

بعد از انجام عملیات شبیه‌سازی، رکورد زلزله موردنظر به سازهِ اعمال می‌شود و نتایج موردنرسی قرار می‌گیرد.

۳-۳-۴- حالت با جداساز لرزه‌ای فعال : Active BI

در این حالت با استفاده از معادلات فضای حالت بدست آمده در بخش ۲.۲.۴ مربوط به حالت با جداساز لرزه‌ای فعال، شبیه‌سازی انجام شده است. شکل ۷-۴ شبیه‌سازی معادله حاکم بر سازه را مربوط به مدل شماره ۱ و در حالت با جداساز لرزه‌ای فعال نشان می‌دهد. برای مدل شماره ۲ نیز به همین طریق و با استفاده از ماتریس‌های مربوطه شبیه‌سازی انجام می‌پذیرد.



شکل ۷-۴ : شبیه‌سازی مدل شماره ۱ مربوط به حالت با جداساز لرزه‌ای فعال

بلوک Gaussian Noise Generator برای معرفی نویز سفید در سیستم استفاده شده است. این نویز ناشی از خطای احتمالی حسگرهایی است که جهت دریافت و ارسال اطلاعات مربوط به بازخورد سازه، به کار رفته‌اند. این بلوک اعداد تصادفی توزیع شده بصورت نرمال را تولید کرده و به مدل اعمال می‌کند. همانطور که ملاحظه می‌شود، نویز در مسیر متغیرهای حالت که به عنوان خروجی سیستم می‌باشد، قرار گرفته است. بدین معنا که حسگرهایی که متغیرهای حالت یعنی تغییر مکان و سرعت را اندازه‌گیری می‌کنند، در محاسبه مقدار تغییر مکان و سرعت سازه دارای خطاهاي احتمالي هستند که به واسطه این خطا، اطلاعاتی که به سیستم کنترل وارد می‌شود و نیروی کنترل (u) بر حسب آن اندازه‌گیری می‌شود ($u = -kx$) نیز خطا خواهد داشت.

بلوک Saturation برای محدود کردن نیروی کنترل در سیستم به کار برده شده است. توضیح اینکه عملگرهایی که در سیستم‌های کنترل فعال برای اعمال نیرو استفاده می‌شوند، بنابر موارد

استفاده و نیروی کنترل تقاضا، دارای محدودیتهایی در تولید نیرو می‌باشند و قادر نیستند در تمام محدوده‌های نیروی کنترل تقاضا بصورت بهینه عمل کنند. از این رو در روند شبیه‌سازی مدل نیز می‌بایستی نیروی کنترل را محدود کرد تا پاسخ‌ها به حالت واقعی نزدیکتر شود. در این بلوک می‌توان کران‌های بالا و پایین نیرو را تعیین کرد؛ وقتی سیگنال ورودی در محدوده تعیین‌شده قرار داشته باشد، بدون تغییر عبور خواهد کرد. در حالتی که سیگنال ورودی خارج از محدوده کران‌ها قرار گیرد، آنگاه به کران بالا و پایین محدود می‌گردد. در این تحقیق نیروی کنترل تا حدود ۸۰ درصد نیروی بیشینه کنترل محدود شده است.

بلوک Unit Delay برای ایجاد تأخیر زمانی در سیستم کنترل به کار رفته است. این تأخیر زمانی ناشی از زمان صرف شده برای ارسال اطلاعات از حسگرها به پردازشگر و از پردازشگر به عملگرها و همچنین واکنش عملگر پس از دریافت اطلاعات است که از مشخصات تجهیزات به کار رفته می‌باشد. این بلوک سیگنال ورودی را به اندازه یک گام نمونه‌گیری به تأخیر انداخته و در همین حالت حفظ می‌نماید. در صورتی که ورودی بلوک از نوع بردار باشد تمامی درایه‌های بردار به یک اندازه دچار تأخیر می‌شود.

بعد از انجام عملیات شبیه‌سازی، رکورد زلزله موردنظر به سازهِ اعمال می‌شود و نتایج موردنرسی قرار می‌گیرد.

۴-۴- مطالعه پارامتریک ماتریس‌های وزنی Q و R

همانطور که در بخش ۳-۴-۳ ذکر شد، در روش کنترل فیدبک حالت بهینه، معیار عملکرد یا مشخصه‌ای را به صورت زیر تعریف می‌کنیم :

$$J = \int_0^{\infty} [x^T(t)Qx(t) + u^T(t)Ru(t)] dt \quad (12-4)$$

که در آن Q و R ماتریس‌های متقارن بوده و $Q \geq 0, R > 0$ می‌باشند. همچنین ذکر شد که معیارهای عملکردی سیستم حلقه-بسته همانند پایداری داخلی، تنظیم یا تعقیب، حذف اغتشاش، حذف نویز و عدم حساسیت به مدل، غالباً پیچیده‌تر از آن است که در یک تابع J فشرده شود [۱۰]. Q و R ماتریس‌های وزنی هستند و مقادیر آنها بستگی به اهمیت نسبی عبارات مختلف در سهم آنها از شاخص عملکرد J دارد. مقادیر بزرگ ماتریس Q نشان دهنده خواسته ما برای نزدیک بودن بردار حالت به مبدأ در طول زمان دارد که حالت غیر اقتصادی است، در حالیکه مقادیر بزرگ ماتریس R بر تأثیرکم کنترل دلالت دارد [۱۶].

در الگوریتم کنترل LQR نیروی کنترل بهینه ($u_{optimal}$) بصورت نیروی تقاضا در نظر گرفته می‌شود و عملگر با توجه به قیود، طوری کنترل می‌گردد که تا حد ممکن نزدیک به نیروی تقاضا باشد و پارامترهای بهره کنترل بر اساس شبیه سازی عددی با توجه به ظرفیت عملگر تعیین می‌شود [۱۷].

در حالت کلی Q بصورت زیر تعریف می‌شود :

$$Q = \begin{bmatrix} [Q_{sd}]_{(n-1) \times (n-1)} & 0 & 0 & 0 \\ 0 & Q_{bd} & 0 & 0 \\ 0 & 0 & [Q_{sv}]_{(n-1) \times (n-1)} & 0 \\ 0 & 0 & 0 & Q_{bv} \end{bmatrix}_{2n \times 2n} \quad (13-4)$$

که در آن $[Q_{sd}]$ و Q_{bd} به ترتیب فاکتورهای وزنی وابسته به انرژی پتانسیل طبقات و جداساز هستند و $[Q_{sv}]$ و Q_{bv} به ترتیب بر انرژی جنبشی طبقات و جداساز دلالت می‌کنند؛ n نیز تعداد درجات آزادی است. واحد $[Q_{sd}]$ و Q_{bd} که منطبق بر تغییرمکان هستند، (N/m) است که مشابه واحد سختی است؛ واحد $[Q_{sv}]$ و Q_{bv} که منطبق بر سرعت هستند، (kg) است که مشابه واحد جرم

است. در حقیقت شاخص عملکرد J حاصل مجموع انرژی پتانسیل و انرژی جنبشی است و واحد آن ($N.m$) می‌باشد. در نتیجه واحد R نیز که منطبق بر نیروی کنترل است، برابر (m/N) بدست می‌آید [۱۸].

نیروی کنترل فعال و به طبع آن پاسخ لرزه‌ای سازه به ماتریس بهره حاصل معادله ریکاتی (k) وابسته است. انتخاب مناسب Q و R ، عملکرد کنترل را تحت محدودیت‌های سازه و تجهیزات و رسیدن به کنترل بهینه، تعیین خواهد کرد. مطالعه پارامتریک Q و R ما را به این هدف خواهد رساند. همانطور که قبل ذکر شد در اثر جداسازی لرزه‌ای غیرفعال، شتاب سازه و تغییرمکان نسبی طبقات کاهش قابل ملاحظه‌ای پیدا می‌کند و مشکلی که با آن مواجه خواهیم بود، تغییر مکان‌های بزرگ پایه است؛ بطورکلی سختی جداساز بسیار کوچکتر از سختی طبقات است و به همین دلیل تغییرمکان‌های بزرگ پایه بوجود می‌آید که باعث می‌شود تغییرمکان مطلق طبقات نیز افزایش یابد. بنابراین کنترل تغییرمکان جداساز برای مقابله با تغییرمکان‌های بزرگ پایه و به طبع آن تغییرمکان طبقات، مناسب‌ترین روش به نظر می‌رسد. از این رو Q_{bd} را که منطبق بر تغییرمکان جداساز است، موردنرسی قرار می‌دهیم و سایر عناصر ماتریس Q را برابر واحد در نظر می‌گیریم تا سطوح مختلف عملکرد کنترل مشخص گردد. به دلیل پیچیدگی ماهیت شاخص عملکرد ناشی از روابط متقابل عناصر آن و عدم وجود یک راه حل صریح ریاضی برای بدست آوردن ماتریس‌های وزنی Q و R ، در این مرحله Q را ثابت فرض کرده و R را به عنوان متغیر در نظر می‌گیریم. به این ترتیب با ترسیم نمودارهای مربوطه و بررسی آنها، به یک ترکیب مناسب از Q و R خواهیم رسید.

با توجه به اینکه هدف ما مطابق توضیحات ذکر شده کنترل تغییرمکان پایه است، $[Q_{sd}]$ و $[Q_{bv}]$ را برابر واحد در نظر می‌گیریم و Q_{bd} را با توجه به بررسی‌های انجام‌شده برابر 10^6 قرار می‌دهیم. با این شرایط ماتریس وزنی R را با سه مقدار زیر در معادله قرار داده و رفتار سازه را تحت

دو زلزله السنترو^۱ به عنوان زلزله حوزه دور و کوبه^۲ به عنوان زلزله حوزه نزدیک بررسی می‌کنیم و سپس نتایج را برای زلزله‌های هاچینووه^۳ و نورث‌ریچ^۴ نیز استفاده می‌کنیم.

مدل شماره ۱

$$\text{LQR I : } R_1=10^{-7} \quad ; \quad \text{LQR II : } R_2=10^{-8} \quad ; \quad \text{LQR III : } R_3=10^{-9}$$

مدل شماره ۲

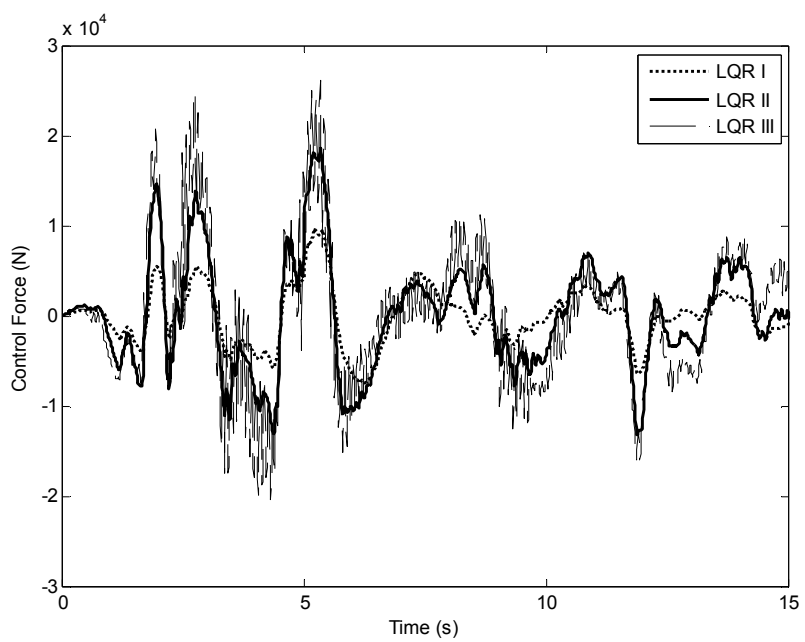
تحت زلزله السنترو

$$\text{LQR I : } R_1=10^{-8} \quad ; \quad \text{LQR II : } R_2=10^{-9} \quad ; \quad \text{LQR III : } R_3=10^{-10} \quad ; \quad \text{LQR IV : } R_4=10^{-11}$$

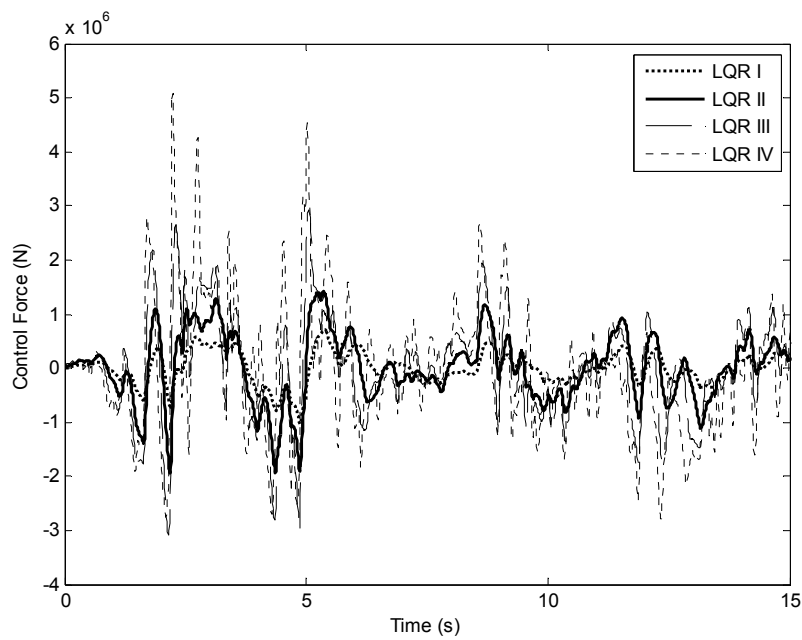
تحت زلزله کوبه

$$\text{LQR 0 : } R_0=10^{-7} \quad ; \quad \text{LQR I : } R_1=10^{-8} \quad ; \quad \text{LQR II : } R_2=10^{-9} \quad ; \quad \text{LQR III : } R_3=10^{-10}$$

1-El Centro
2-Kobe
3-Hachinohe
4-Northridge

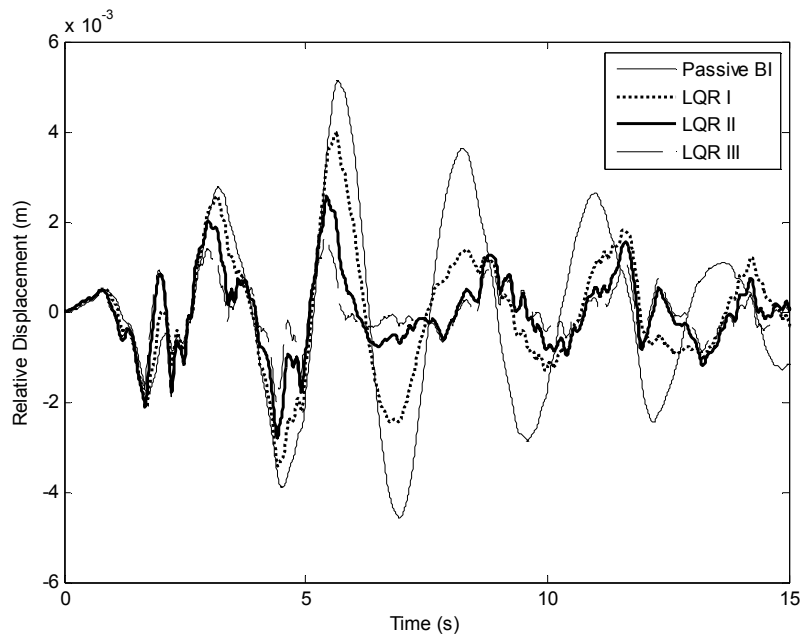


الف)

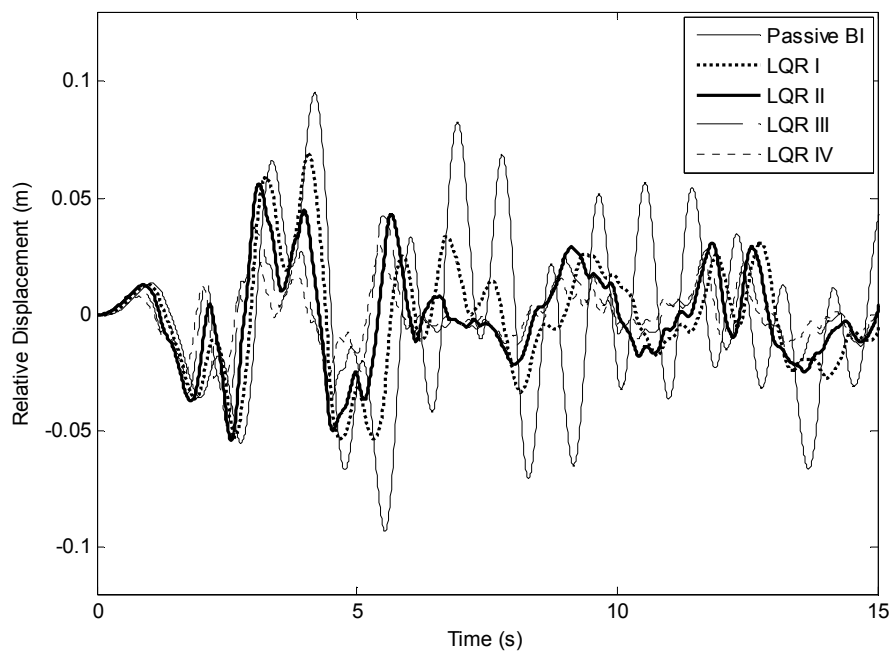


ب)

شكل ٨-٤ : نیروی کنترل تقاضا تحت زلزله السنترو برای الف) مدل شماره ۱ ، ب) مدل شماره ۲

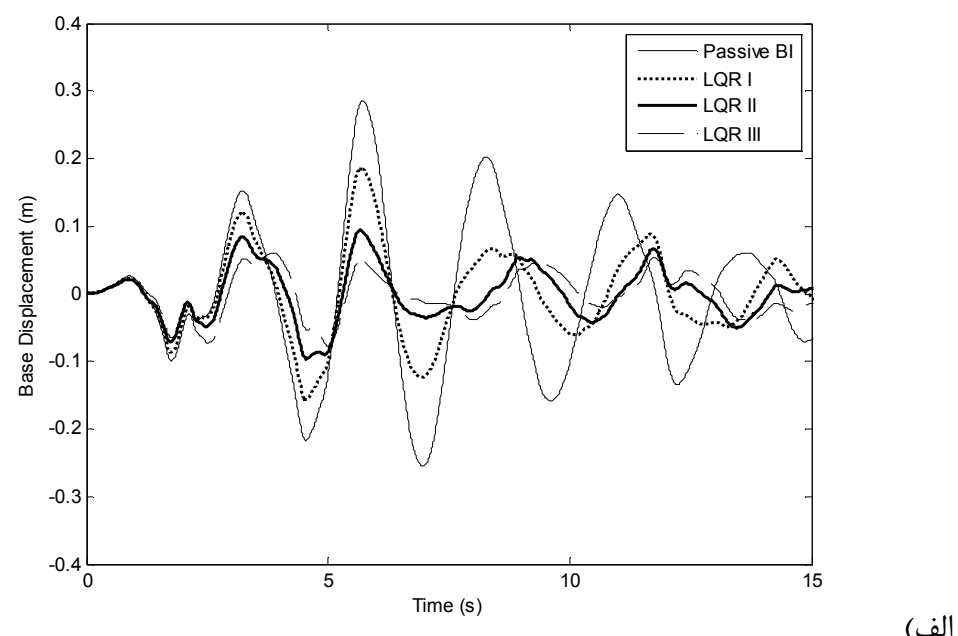


(الف)

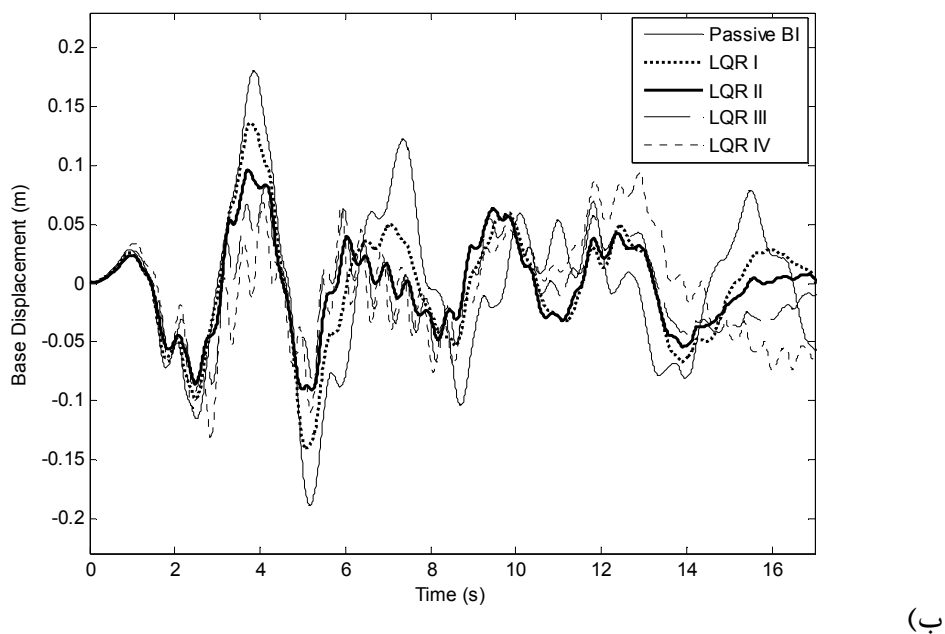


(ب)

شكل ٩-٤ : تغییر مکان بام نسبت به پایه تحت زلزله سنترال برای (الف) مدل شماره ١ ، (ب) مدل شماره ٢

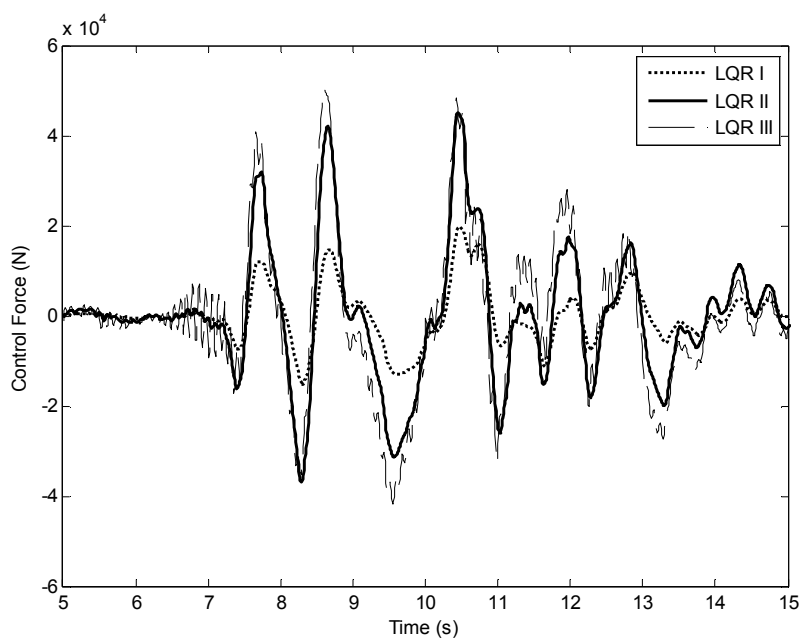


الف)

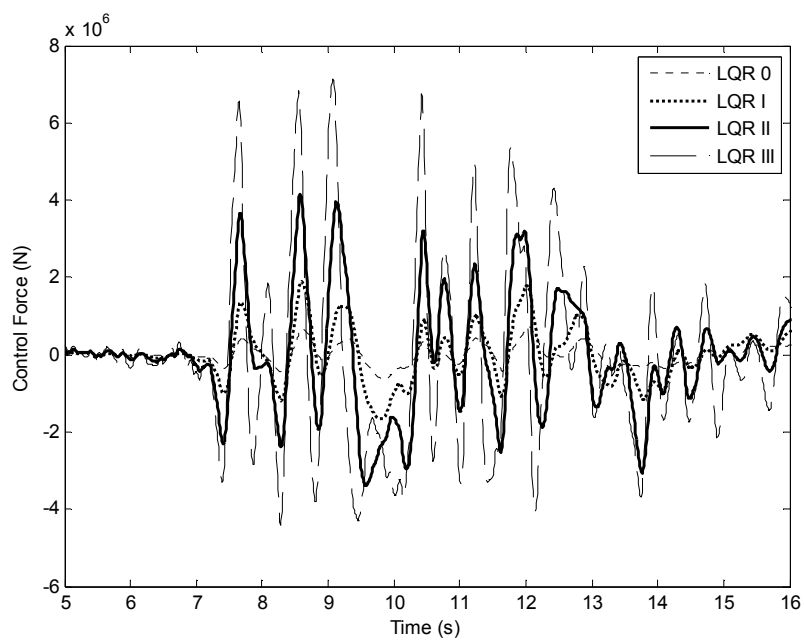


ب)

شكل ٤-١: تغيير مكان پایه تحت زلزله استترو برای (الف) مدل شماره ۱ ، (ب) مدل شماره ۲

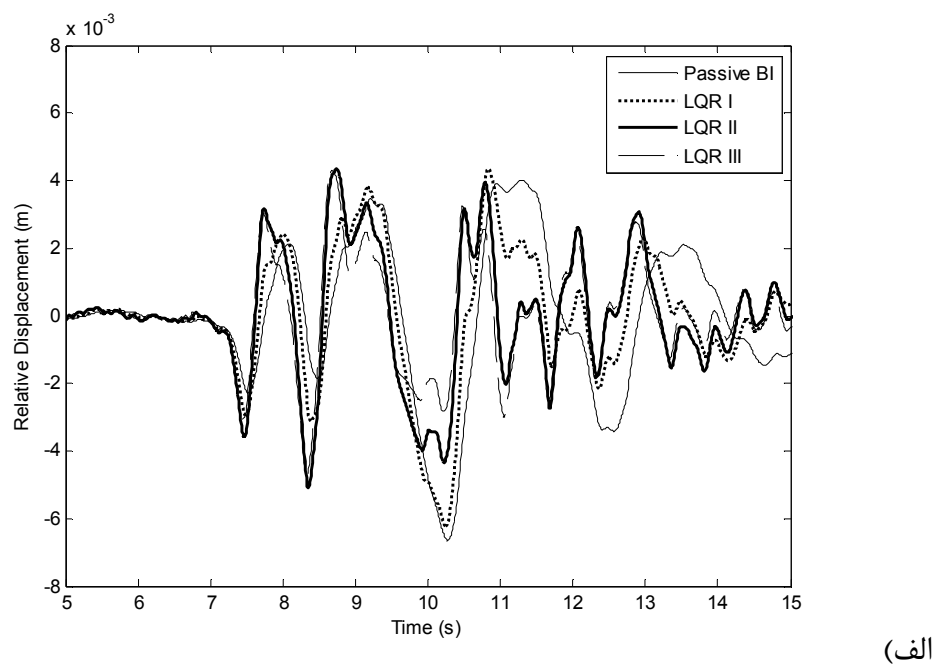


الف)

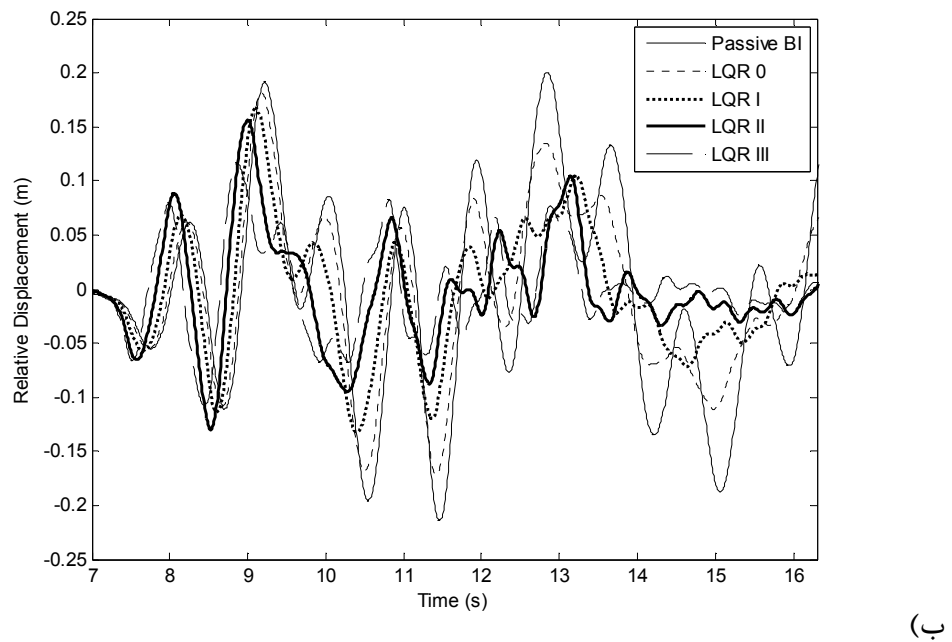


ب)

شكل ١١-٤: نیروی کنترل تقاضا تحت زلزله کوبه برای (الف) مدل شماره ١ ، (ب) مدل شماره ٢

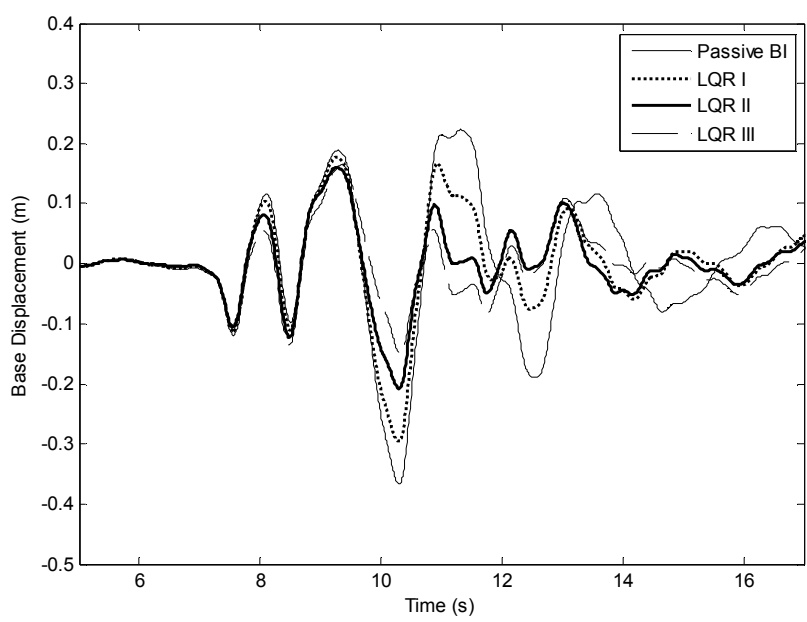


(الف)

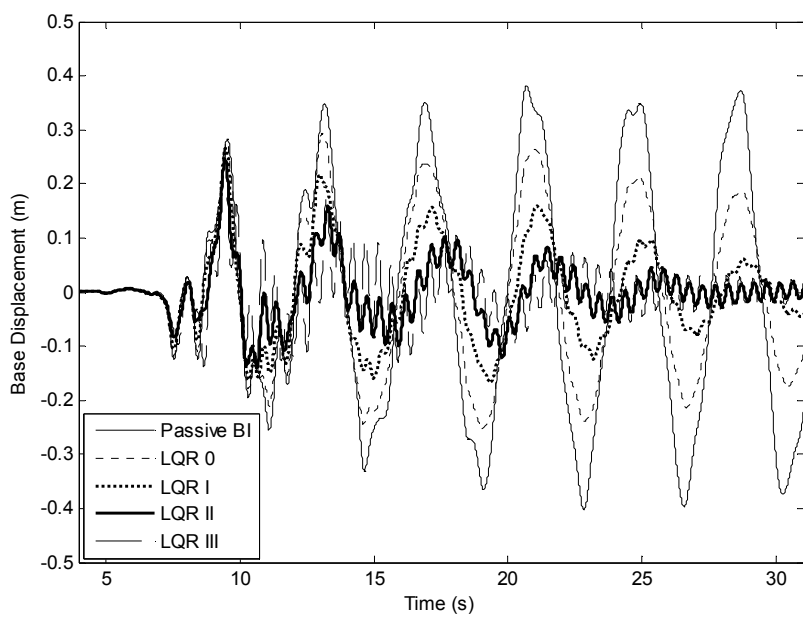


(ب)

شكل ١٢-٤: تغير مكان بام نسبت به پایه تحت زلزله کوبه برای (الف) مدل شماره ١ ، (ب) مدل شماره ٢



الف)



ب)

شكل ١٣-٤: تغییرمکان پایه تحت زلزله کوبه برای (الف) مدل شماره ١ ، (ب) مدل شماره ٢

جدول ۳-۴ : مقدار نیروی کنترل بیشینه تقاضا برای مدل شماره ۱

نیروی کنترل بیشینه(N)	LQR I	LQR II	LQR III
الستترو	9.58 e+03	1.85 e+04	2.62 e+04
کوبه	1.98 e+04	4.52 e+04	5.02 e+04

جدول ۴-۴ : مقدار تغییرمکان بیشینه بام نسبت به پایه برای مدل شماره ۱

تغییرمکان بیشینه با نسبت به پایه (m)	Passive BI	LQR I	LQR II	LQR III
الستترو	5.1 e-03	4.0 e-03	2.8 e-03	2.0 e-03
کوبه	6.6 e-03	6.2 e-03	5.1 e-03	4.8 e-03

جدول ۵-۴ : مقدار تغییرمکان بیشینه پایه برای مدل شماره ۱

تغییرمکان بیشینه پایه(m)	Passive BI	LQR I	LQR II	LQR III
الستترو	2.85 e-01	1.86 e-01	9.65 e-02	7.78 e-02
کوبه	3.66 e-01	2.96 e-01	2.08 e-01	1.65 e-01

جدول ۶-۴ : مقدار نیروی کنترل بیشینه تقاضا برای مدل شماره ۲

نیروی کنترل بیشینه (N)	LQR 0	LQR I	LQR II	LQR III	LQR IV
السترو	-----	1.03 e+06	1.93 e+06	3.09 e+06	5.09e+06
کوبه	7.21 e+05	1.91 e+06	4.14 e+06	7.13 e+06	-----

جدول ۷-۴ : مقدار تغییرمکان بیشینه با م نسبت به پایه برای مدل شماره ۲

تغییرمکان بیشینه با نسبت به پایه (m)	Passive BI	LQR 0	LQR I	LQR II	LQR III	LQR IV
السترو	9.52 e-02	-----	6.94 e-02	5.6 e-02	4.82 e-02	3.15 e-02
کوبه	2.14 e-01	1.81 e-01	1.68 e-01	1.56 e-01	1.17 e-01	-----

جدول ۸-۴ : مقدار تغییرمکان بیشینه پایه برای مدل شماره ۲

تغییرمکان بیشینه پایه (m)	Passive BI	LQR 0	LQR I	LQR II	LQR III	LQR IV
السترو	1.89 e-01	-----	1.41 e-01	9.64 e-02	9.44 e-02	1.32 e-01
کوبه	4.02 e-01	2.93 e-01	2.66 e-01	2.48 e-01	2.68 e-01	-----

برای درک بهتر موضوع و امکان انجام مقایسه میان حالت‌های مختلف کنترل و در نهایت

انتخاب بهترین حالت، پارامترهای زیر را معرفی می‌کنیم [۱۵] :

$$J_u = \max_{W_t} |u(t)| \quad (14-4)$$

$$J_r = \frac{\max |x_r(t)|}{\max |\hat{x}_r(t)|} \quad (15-4)$$

$$J_b = \frac{\max |x_b(t)|}{\max |\hat{x}_b(t)|} \quad (16-4)$$

که در آن J_u ، J_r و J_b به ترتیب نیروی کنترل نرمالیزه، تغییرمکان نسبی نرمالیزه و تغییرمکان پایه نرمالیزه هستند. x_r و x_b به ترتیب تغییرمکان نسبی و تغییرمکان پایه تحت سیستم کنترل فعال و \hat{x}_r و \hat{x}_b تغییرمکان نسبی و تغییرمکان پایه تحت سیستم غیرفعال می‌باشند. W_t نیز وزن کل روسازه می‌باشد.

با توجه به مقادیر ارائه شده در جداول ۴-۳ تا ۴-۸، مقادیر نرمالیزه بدست می‌آید. این مقادیر در جدول ۴-۹ به تفکیک مدل‌های مختلف و تحت اثر زلزله‌های مختلف بیان شده‌است.

مسئله دیگری که برای انتخاب حالت کنترل بهینه مطرح است، درصد اهمیت هریک از پارامترهای نرمالیزه شده است. به عبارت دیگر با تعیین ضریب اهمیت برای هرکدام از پارامترهای نرمالیزه شده با توجه به خواسته ما از سیستم کنترل، حالت کنترل بهینه را بدست می‌آوریم. در اینجا با توجه به خواسته ما برای کاهش تغییرمکان پایه در سیستم جداساز لرزه‌ای و در مرحله بعد کاهش تغییرمکان نسبی طبقات، ضرایب اهمیت را به صورت زیر در نظر می‌گیریم :

$$F(J_b) = 3 \quad ; \quad F(J_r) = 2 \quad ; \quad F(J_u) = 1$$

حال شاخص S را به صورت زیر تعریف می‌کنیم :

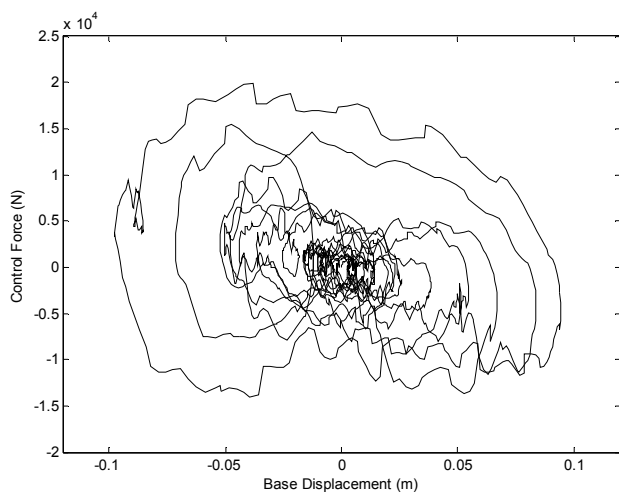
$$S_n = \frac{(3 \times (J_b)_n)}{(J_b)_1} + \frac{(2 \times (J_r)_n)}{(J_r)_1} + \frac{(1 \times (J_u)_n)}{(J_u)_1} \quad (17-4)$$

که با توجه به خواست ما برای کوچکتر بودن مقادیر نرمالیزه، هر حالتی که مقدار شاخص کوچکتری داشته باشد، مطلوب ما خواهد بود. حالات مطلوب هریک از مدل‌ها در جدول ۹-۴ به صورت مارک شده مشخص گردیده است.

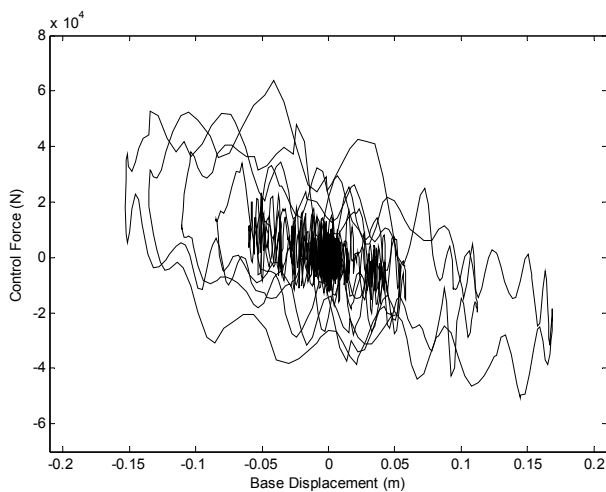
جدول ۹-۴ : مقادیر نرمالیزه شده به تفکیک انواع مدل و زلزله

حالات کنترل مقادیر نرمالیزه	LQR 0	S_0	LQR I	S_I	LQR II	S_{II}	LQR III	S_{III}	LQR IV	S_{IV}
<u>مدل شماره ۱ - زلزله السزو</u>										
نیروی کنترل نرمالیزه J_1	-----	---	0.027	6	0.052	4.9	0.074	5	-----	---
تغییر مکان نسبی نرمالیزه J_2	-----		0.784		0.549		0.392		-----	
تغییر مکان پایه نرمالیزه J_3	-----		0.653		0.339		0.273		-----	
<u>مدل شماره ۱ - زلزله کوه</u>										
نیروی کنترل نرمالیزه J_1	-----	---	0.056	6	0.127	6	0.141	5.7	-----	---
تغییر مکان نسبی نرمالیزه J_2	-----		0.939		0.773		0.727		-----	
تغییر مکان پایه نرمالیزه J_3	-----		0.809		0.568		0.451		-----	
<u>مدل شماره ۲ - زلزله السزو</u>										
نیروی کنترل نرمالیزه J_1	-----	---	0.020	6	0.037	5.5	0.060	6.4	0.098	8.6
تغییر مکان نسبی نرمالیزه J_2	-----		0.729		0.588		0.506		0.331	
تغییر مکان پایه نرمالیزه J_3	-----		0.746		0.510		0.499		0.698	
<u>مدل شماره ۲ - زلزله کوه</u>										
نیروی کنترل نرمالیزه J_1	0.014	6	0.037	7.2	0.080	10	0.137	13.8	-----	---
تغییر مکان نسبی نرمالیزه J_2	0.846		0.785		0.729		0.547		-----	
تغییر مکان پایه نرمالیزه J_3	0.729		0.662		0.617		0.667		-----	

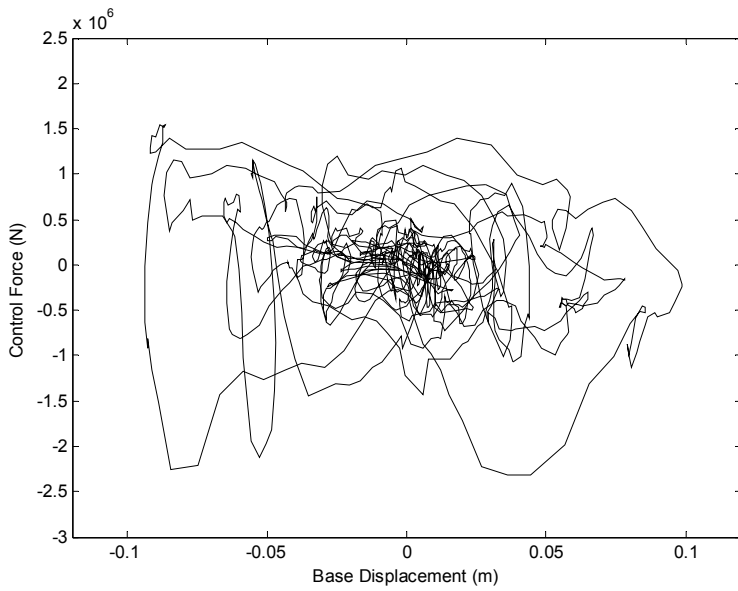
با بدست آمدن Q و R بهینه و به کار بردن این نتایج در مدل شبیه‌سازی شده شماره ۱ و ۲، می‌توان پاسخ‌های بهینه این دو مدل را تحت اثر زلزله‌های مختلف و شرایط سازه‌ای متفاوت بررسی کرد و تأثیرات جداسازی لرزه‌ای فعال در سازه‌ها را تشریح نمود.



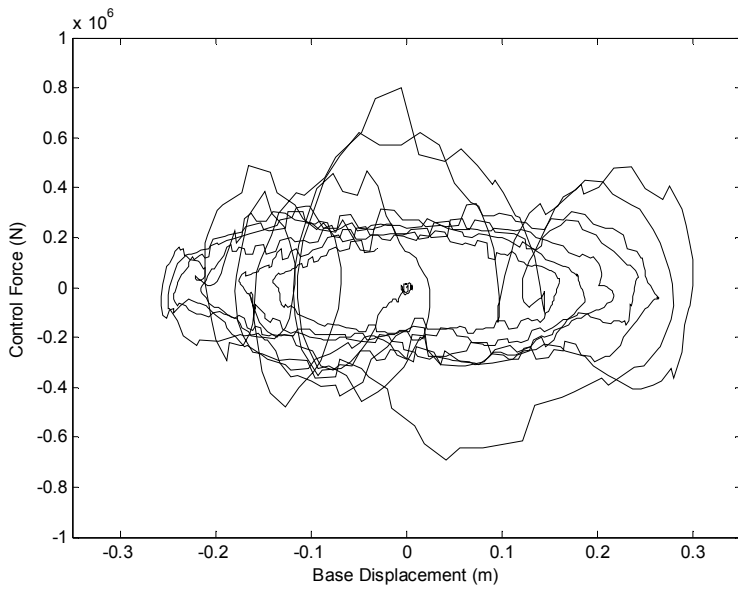
شکل ۱۴-۴: نمودار هیسترزیس نیروی کنترل-جابجایی پایه مدل شماره ۱ در زلزله El Centro



شکل ۱۵-۴: نمودار هیسترزیس نیروی کنترل-جابجایی پایه مدل شماره ۱ در زلزله Kobe



شکل ۱۶-۴: نمودار هیسترزیس نیروی کنترل-جابجایی پایه مدل شماره ۲ در زلزله El Centro



شکل ۱۷-۴: نمودار هیسترزیس نیروی کنترل-جابجایی پایه مدل شماره ۲ در زلزله Kobe

۴-۵- بررسی نتایج تحلیل

پس از انجام عملیات فرمول‌بندی ریاضی، تعیین ماتریس بهره k و شبیه‌سازی مدل در نرم‌افزار MATLAB، به تحلیل مدل‌ها و بررسی نتایج حاصله می‌پردازیم. برای درک بهتر نتایج و رسیدن به یک نتیجه‌گیری دقیق‌تر و منسجم‌تر، تحلیل و بررسی نتایج را در دو حالت زیر دنبال می‌کنیم:

۱- همانطور که قبلاً ذکر شد با توجه به استفاده از سیستم‌های جداساز لرزه‌ای در

ساختمان‌های کوتاه‌مرتبه [۱۳]، ابتدا تحلیل مدل و بررسی نتایج را بر روی مدل شماره ۱

انجام می‌دهیم. معیارهای ارزیابی در این تحلیل بصورت زیر خواهد بود:

الف) تغییرمکان پایه: به دلیل اینکه یکی از مهمترین مشکلات سیستم‌های جداساز لرزه‌ای غیرفعال، تغییرمکان زیاد پایه است و مهمترین هدف استفاده از سیستم‌های جداساز لرزه‌ای فعال، پایین آوردن آن است، این پارامتر می‌تواند معیار مناسبی برای ارزیابی عملکرد سیستم‌های جداساز لرزه‌ای فعال باشد.

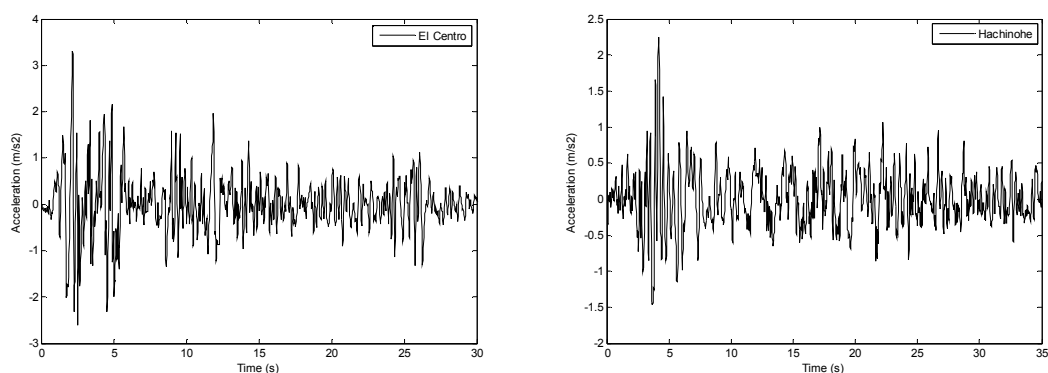
ب) تغییرمکان نسبی بام: از آنجاکه خسارت‌های واردہ به اجزاء سازه‌ای در ساختمان‌ها ناشی از تغییر مکان‌های نسبی بالا در آن‌هاست، لذا این پارامتر می‌تواند در تعیین و برآورد خسارت‌های احتمالی واردہ به سازه، به عنوان معیار ارزیابی مورد استفاده قرار گیرد. در این تحقیق تغییرمکان نسبی بام، بصورت تغییر مکان بام نسبت به جداساز لرزه‌ای پایه به نمایندگی از تغییرمکان‌های طبقات، معرفی شده‌است که در حالت بدون جداساز لرزه‌ای، در واقع همان تغییر مکان بام نسبت به پایه سازه است.

پ) شتاب واردہ به سازه: حفاظت از اجزاء غیر سازه‌ای در ساختمان‌ها بخصوص در موارد خاص مانند بیمارستان‌ها، آزمایشگاه‌ها، موزه‌ها و امثال آن، از اهمیت زیادی برخوردار است؛ لذا با توجه به اینکه خسارت‌های واردہ به این اجزاء رابطه مستقیم با شتاب واردہ به آن‌ها دارد، شتاب طبقات را نیز می‌توان به عنوان یک معیار ارزیابی در نظر گرفت.

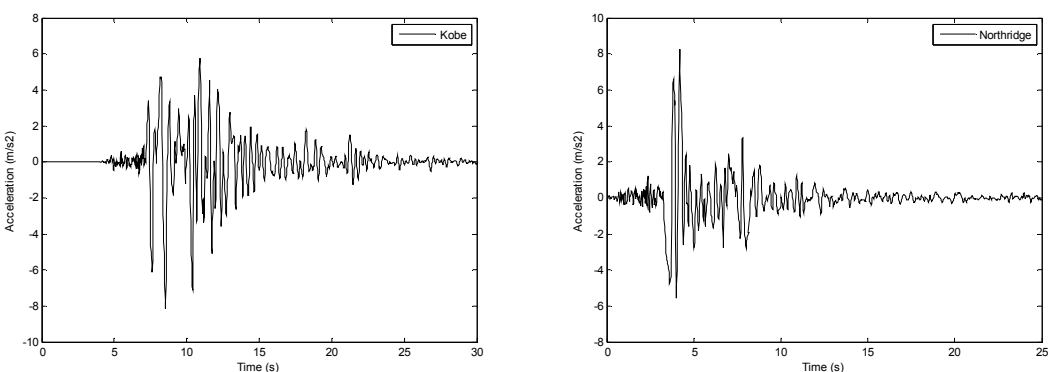
۲- برای بررسی عملکرد جداسازهای لرزه‌ای پایه در ساختمان‌های با ارتفاع متوسط و نسبتاً

بلند، مدل شماره ۱ و ۲ با هم مقایسه می‌شوند.

هدف این تحقیق بررسی عملکرد سیستم جداساز لرزه‌ای فعال در دو نوع زلزله حوزه‌ دور و حوزه‌ نزدیک است. مشخصه اصلی زلزله‌های حوزه‌ نزدیک، پالس‌های بزرگ موجود در آن همراه با یک یا دو تغییر ناگهانی در شتاب است. جهت بررسی بیشتر و کسب نتایج دقیق‌تر، از شتاب‌ نگاشت دو زلزله El Centro و Kobe به عنوان زلزله‌های حوزه‌ دور و دو زلزله Hachinohe و Northridge به عنوان زلزله‌های حوزه‌ نزدیک، استفاده شده است.



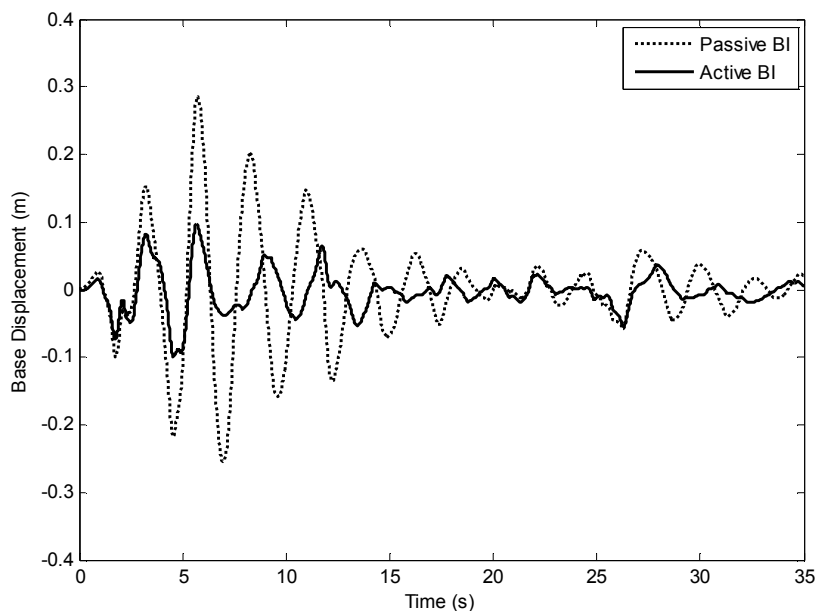
شکل ۱۸-۴: شتاب‌ نگاشت زلزله El Centro و Hachinohe



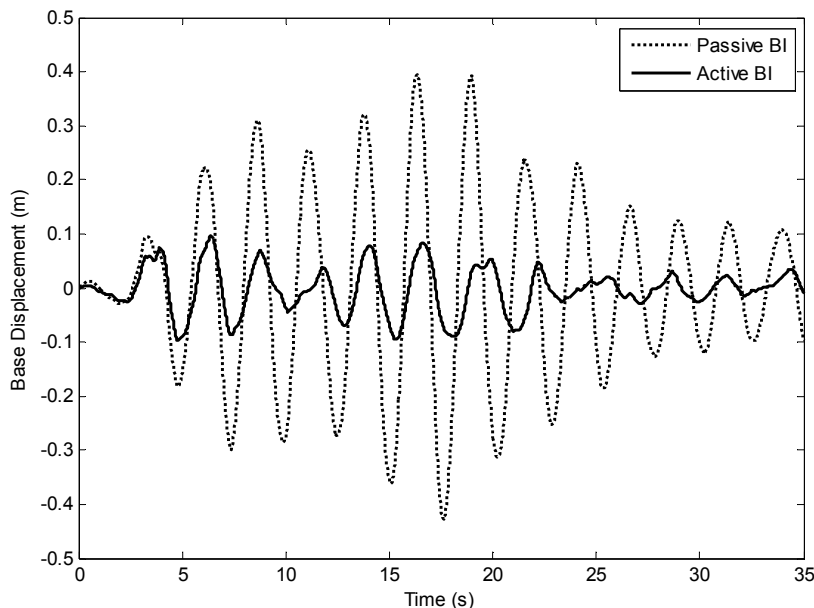
شکل ۱۹-۴: شتاب‌ نگاشت زلزله Kobe و Northridge

٤-٥-١- تحلیل و بررسی نتایج بر روی مدل شماره ۱

الف) بررسی تغییر مکان پایه :

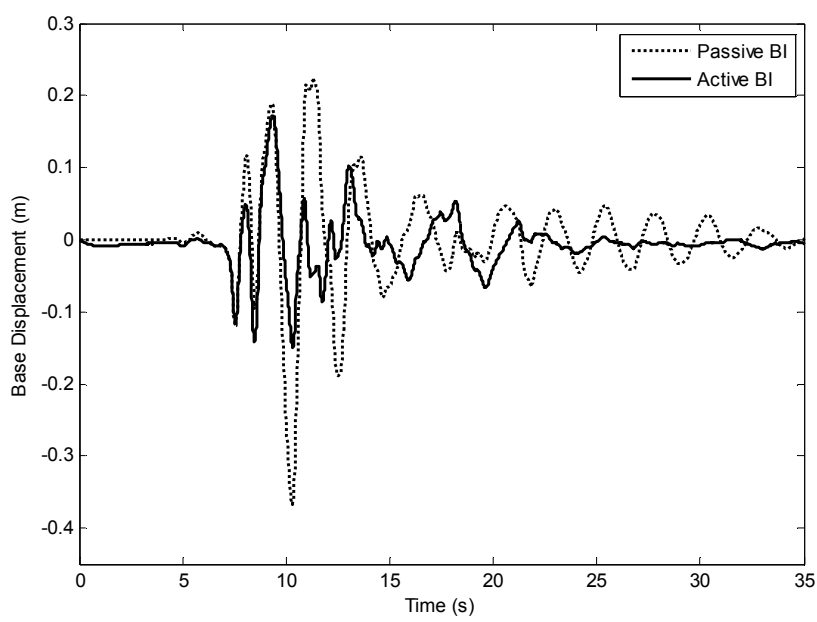


الف)

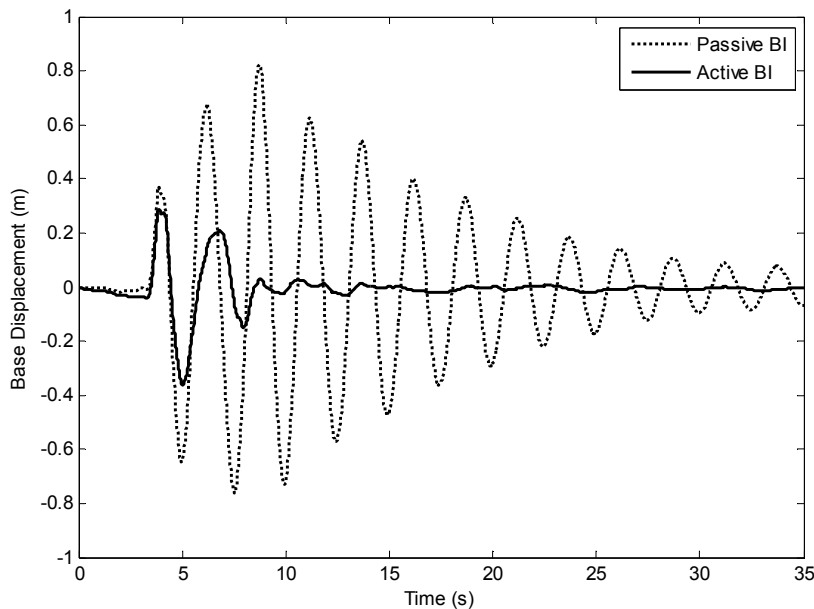


ب)

شکل ٤-٢٠ : تغییر مکان پایه در مدل شماره ۱ تحت اثر الف) زلزله El Centro ، ب) زلزله Hachinohe



الف)



ب)

شكل ٢١-٤ : تغییر مکان پایه در مدل شماره ۱ تحت اثر (الف) زلزله Kobe ، ب) زلزله Northridge

جدول ۱۰-۴: بررسی تغییرمکان بیشینه پایه در مدل شماره ۱

تغییرمکان بیشینه پایه (m)	El Centro	Hachinohe	Kobe	Northridge
مدل شماره ۱ با جداساز لرزه‌ای غیرفعال	0.285	0.43	0.37	0.82
مدل شماره ۱ با جداساز لرزه‌ای فعال	0.10	0.10	0.18	0.36
درصد کاهش تغییرمکان بیشینه پایه	El Centro	Hachinohe	Kobe	Northridge
حالت با جداساز فعال نسبت به غیرفعال	65%	77%	51%	56%

همانطور که در شکل ۲۰-۴ مشاهده می‌شود و همچنین با توجه به جدول ۱۰-۴ ، در زلزله

حوزه‌دور El Centro تغییرمکان پایه در حالت کنترل فعال تا حدود ۶۵ درصد حالت غیرفعال کاهش

داشته است؛ همچنین در زلزله Hachinohe این کاهش حدود ۷۷ درصد حالت غیرفعال می‌باشد.

مطابق شکل ۲۱-۴ (الف) و همچنین جدول ۱۰-۴ ، ملاحظه می‌شود که در زلزله حوزه‌نزدیک

Kobe تغییرمکان پایه در حالت کنترل فعال تا حدود ۵۱ درصد حالت غیرفعال کاهش یافته است. این

امر نشان می‌دهد که کنترل فعال تأثیر کمتری روی کاهش تغییرمکان پایه در زلزله‌های حوزه‌نزدیک

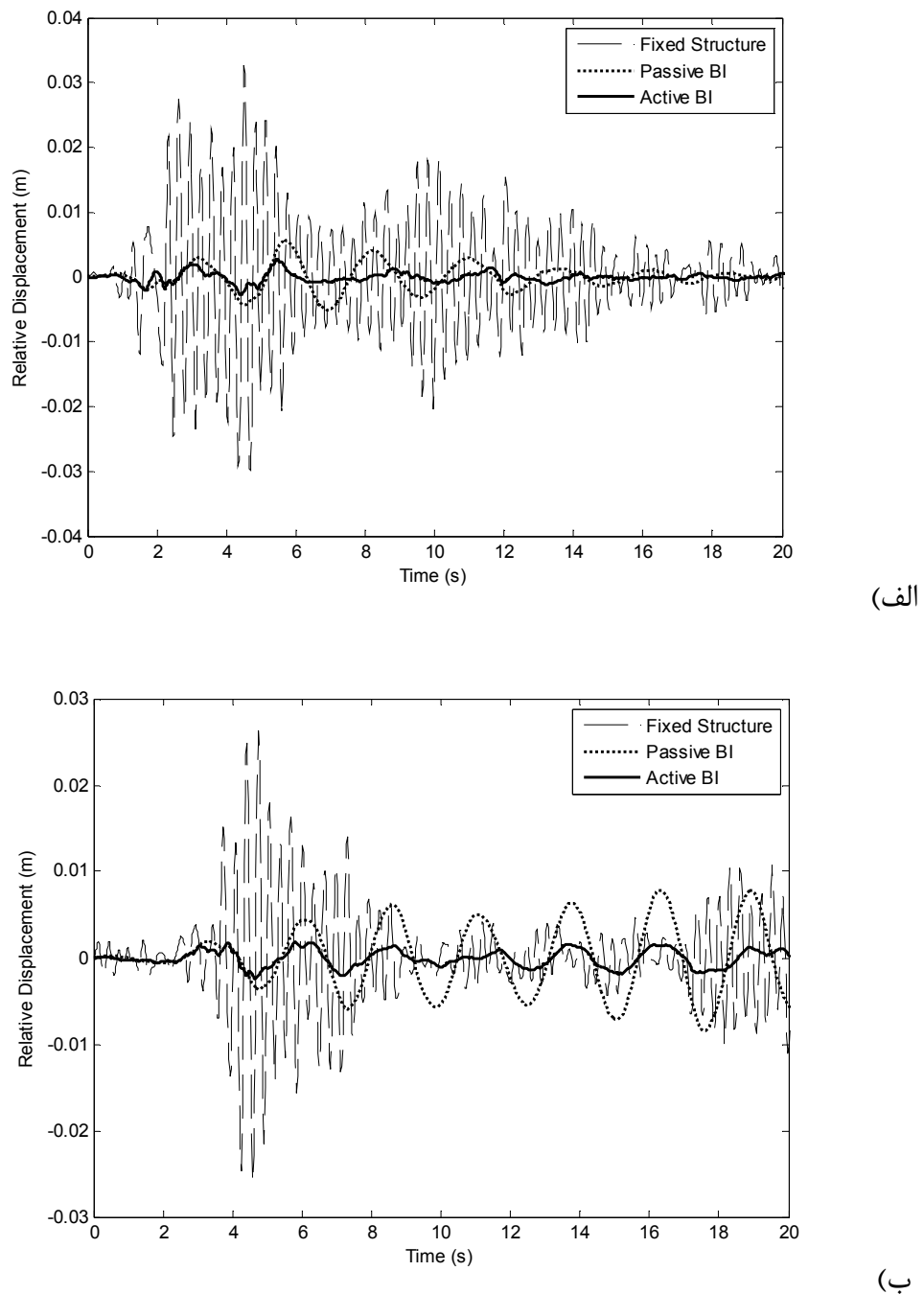
نسبت به زلزله‌های حوزه‌دور دارد. از طرفی شکل ۲۱-۴ (ب) نیز که مربوط به زلزله حوزه‌نزدیک

است، همین قضیه را تأیید می‌کند و نشان‌دهنده آن است که تغییرمکان پایه در حالت

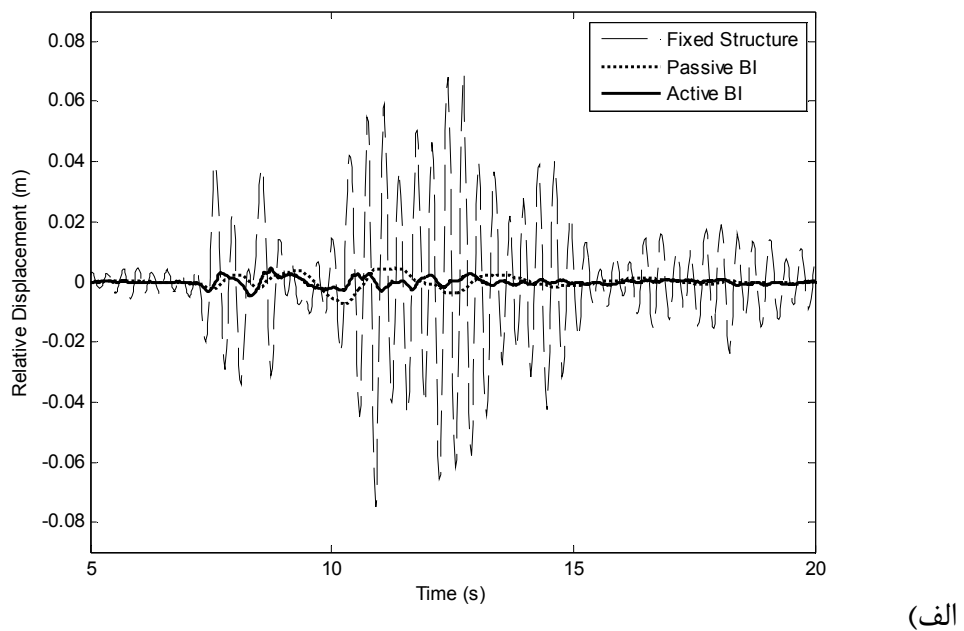
جداسازی فعال تا حدود ۵۶ درصد حالت غیرفعال کاهش داشته است.

به این ترتیب می‌توان گفت که کنترل فعال در زلزله‌های حوزه‌دور نسبت به زلزله‌های حوزه‌نزدیک، تأثیر مطلوبتری از لحاظ کاهش تغییرمکان پایه داشته‌است؛ یکی از دلایل این امر می‌تواند پایین بودن فرکانس زمین‌لرزه‌های حوزه‌نزدیک و همچنین سازه‌های جداسازی شده باشد که باعث می‌شود سازه به حالت تشدید نزدیک شود.

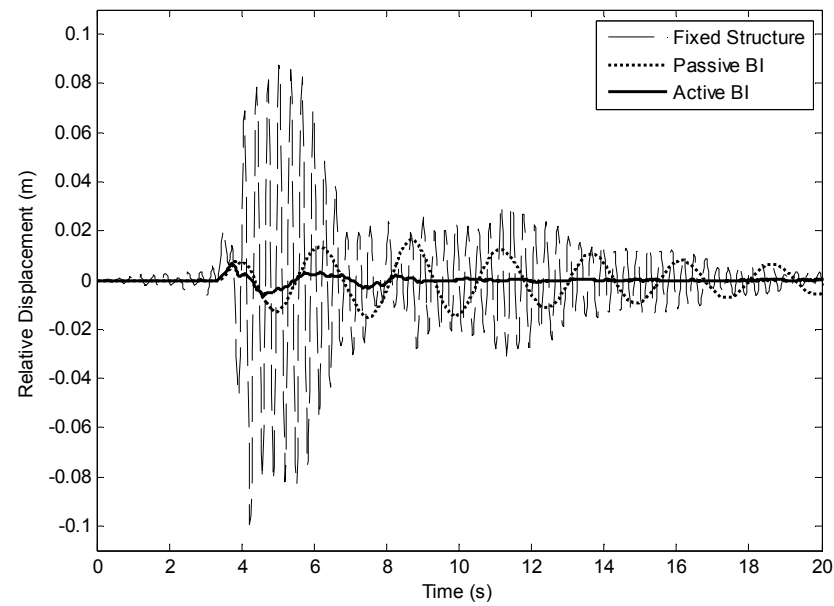
ب) بررسی تغییر مکان نسبی بام :



شکل ۲۲-۴ : تغییر مکان نسبی بام در مدل شماره ۱ تحت اثر الف) زلزله El Centro ، ب) زلزله Hachinohe



الف)



ب)

شكل ٢٣-٤ : تغییر مکان نسبی بام در مدل شماره ۱ تحت اثر (الف) زلزله Kobe ، (ب) زلزله Northridge

جدول ۱۱-۴ : بررسی تغییر مکان بیشینیه بام نسبت به پایه در مدل شماره ۱

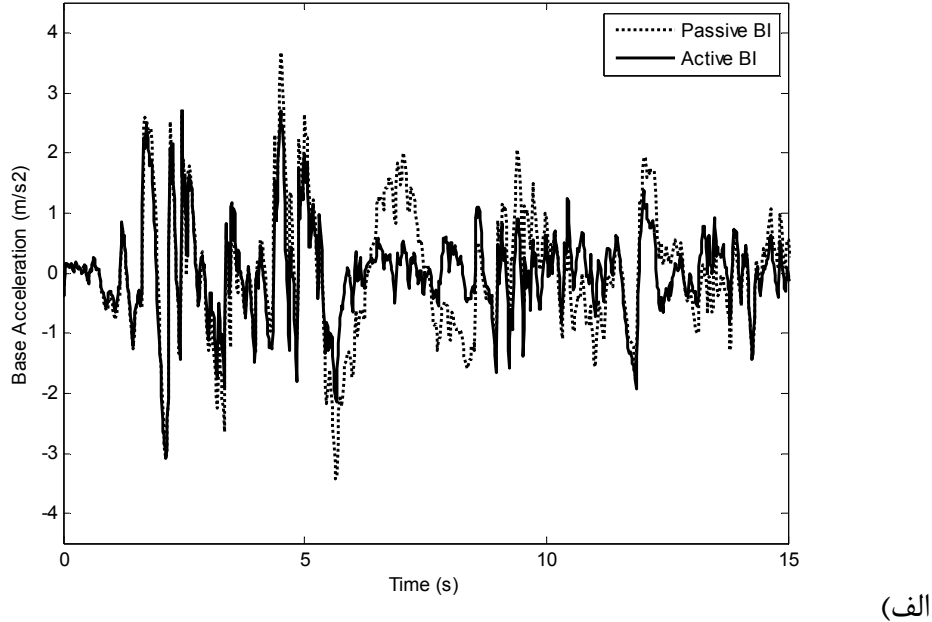
تغییر مکان بیشینیه بام نسبت به پایه (m)	El Centro	Hachinohe	Kobe	Northridge
مدل شماره ۱ بدون جدا ساز لرزه ای	0.033	0.026	0.075	0.1
مدل شماره ۱ با جدا ساز لرزه ای غیرفعال	0.006	0.009	0.007	0.016
مدل شماره ۱ با جدا ساز لرزه ای فعال	0.003	0.002	0.005	0.007
درصد کاهش تغییر مکان بیشینیه بام نسبت به پایه	El Centro	Hachinohe	Kobe	Northridge
حالت با جدا ساز غیرفعال نسبت به بدون جدا ساز	82%	65%	91%	84%
حالت با جدا ساز فعال نسبت به غیرفعال	50%	78%	29%	56%
حالت با جدا ساز فعال نسبت به بدون جدا ساز	91%	92%	93%	93%

مطابق شکل ۲۲-۴ و ۲۳-۴ و همچنین جدول ۱۱-۴ ، ملاحظه می‌گردد که تغییرمکان نسبی بام در حالت جداساز لرزه‌ای غیرفعال نسبت به حالت بدون جداساز لرزه‌ای کاهش چشمگیری داشته است؛ این امر به دلیل سختی بسیار ناچیز جداساز در مقایسه با سختی طبقات است که باعث می‌شود نیروی بسیار کمی به روسازه انتقال یابد. با اعمال سیستم کنترل فعال تغییرمکان بام مجدداً کاهش داشته است که نشان‌دهنده تأثیر مطلوب کنترل فعال بر روی سازه است. همچنین مشاهده می‌شود که در سیستم کنترل فعال به دلیل خاصیت انطباق‌پذیری با شرایط موجود، در تمام مدت زمان زلزله ، تغییرمکان بام نسبت به حالت بدون جداساز پایینتر است؛ ولی در حالت کنترل غیرفعال مطابق شکل ۲۲-۴ (ب) مشاهده می‌گردد که در یک بازه زمانی خاص (بین ثانیه ۸ تا ۱۸ در زلزله Hachinohe تغییرمکان بام از حالت بدون جداساز لرزه‌ای، بالاتر رفته است.

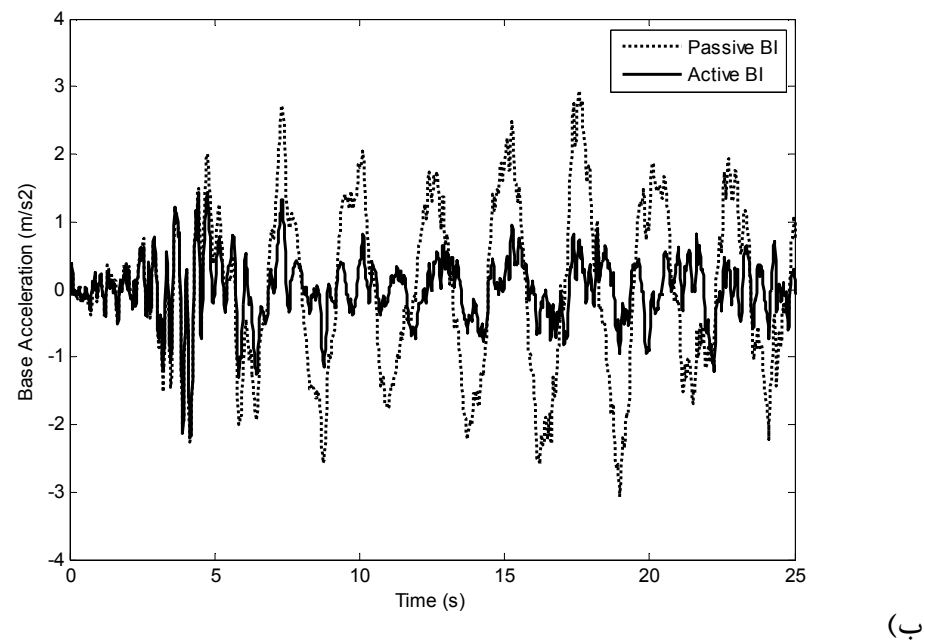
لازم به ذکر است که در صد کاهش تغییرمکان بام در زلزله‌های حوزه‌نزدیک در اثر جداسازی غیرفعال نسبت به حالت بدون جداساز، بیشتر از زلزله‌های حوزه‌ دور است که البته به دلیل پایین‌تر بودن رنج مقادیر تغییرمکان‌های پایه، کاهش تغییرمکان بام از اهمیت کمتری نسبت به کاهش تغییرمکان‌های پایه برخوردار است.

نکته دیگری که از بررسی این نمودارها بر می‌آید این است که فرکانس سازه بر اثر جداسازی لرزه‌ای به شدت پایین آمده است. این امر به دلیل کاهش سختی سازه در قسمت پایه بر اثر وجود جداساز لرزه‌ای پایه می‌باشد.

پ) بررسی شتاب واردہ به سازه:

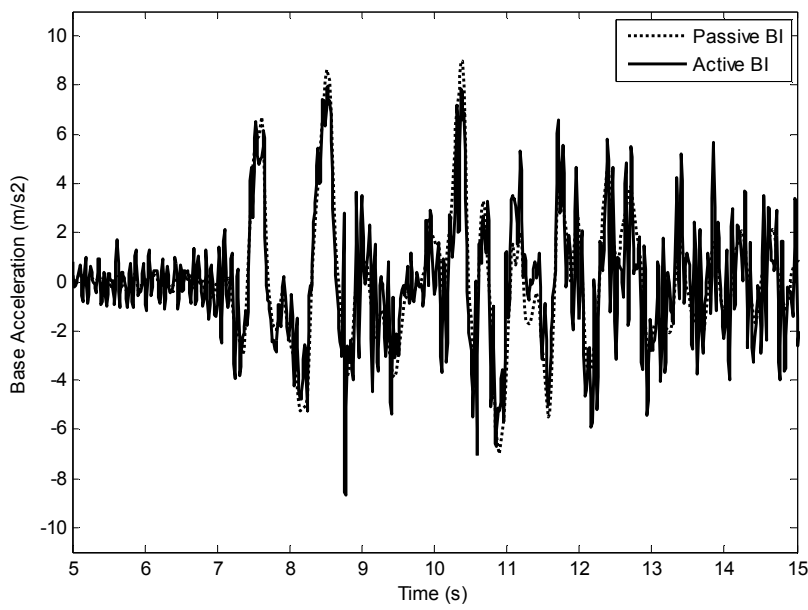


الف)

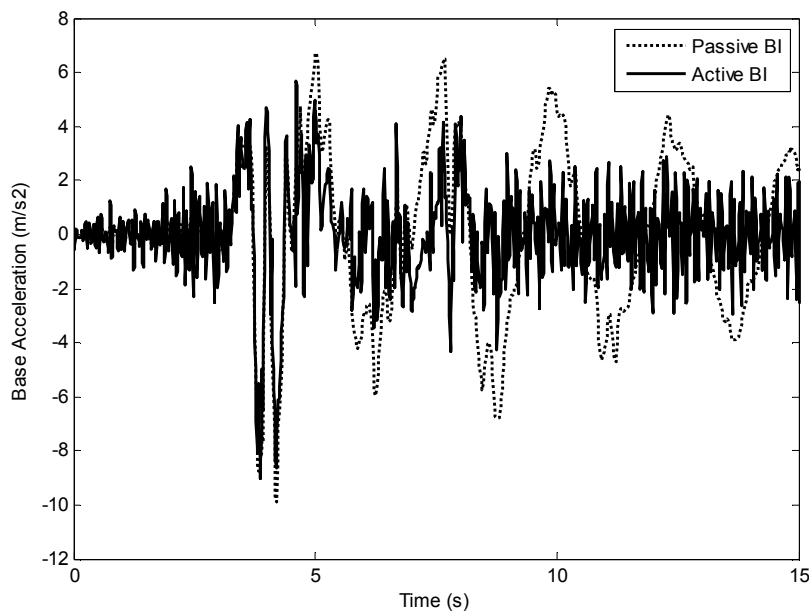


ب)

شکل ۲۴-۴: شتاب واردہ به پایه در مدل شماره ۱ تحت اثر (الف) زلزله El Centro ، ب) زلزله Hachinohe

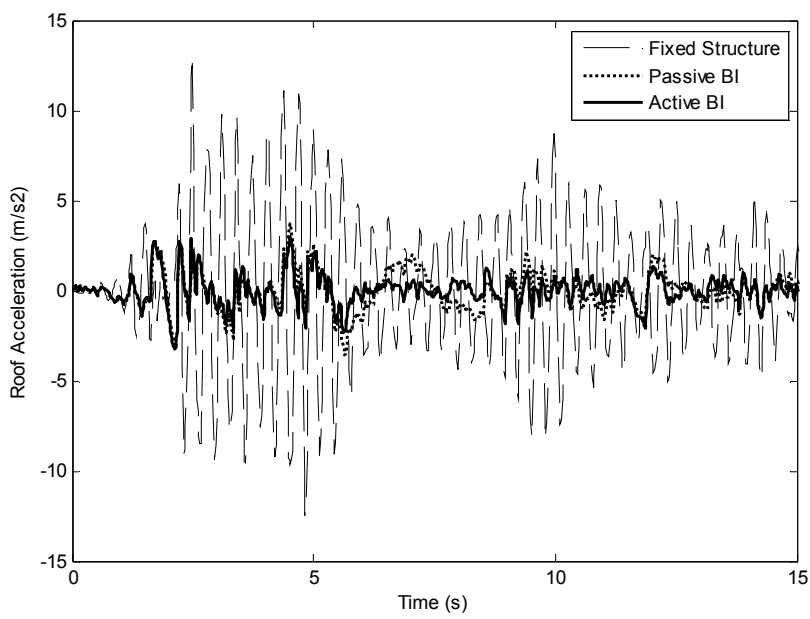


(الف)

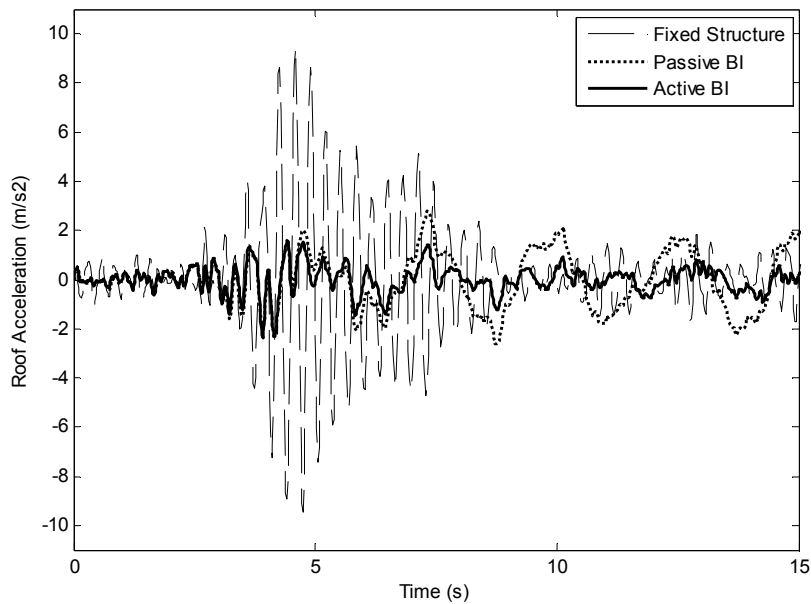


(ب)

شکل ۲۵-۴: شتاب واردہ به پایه در مدل شماره ۱ تحت اثر (الف) زلزله Kobe ، (ب) زلزله Northridge

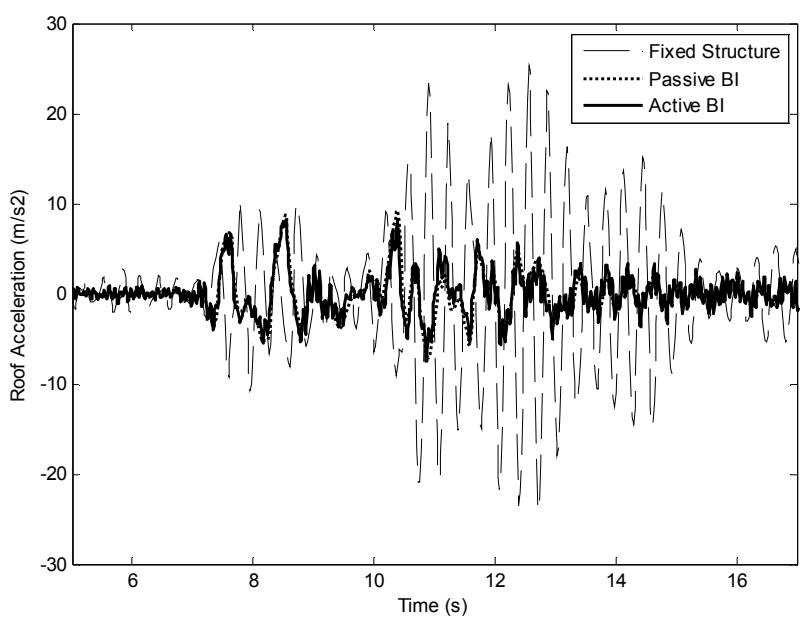


الف)

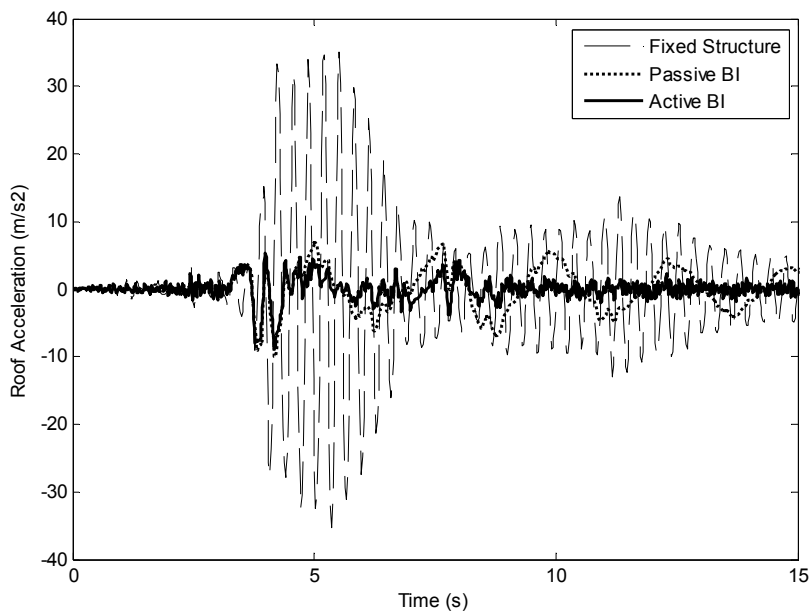


(ب)

شكل ٤ : شتاب واردہ به بام در مدل شماره ۱ تحت اثر (الف) زلزله El Centro ، (ب) زلزله Hachinohe



الف)



ب)

شكل ٢٧-٤ : شتاب وارده به بام در مدل شماره ۱ تحت اثر الف) زلزله Kobe ، ب) زلزله Northridge

جدول ۱۲-۴ : بررسی شتاب بیشینه واردہ به پایه در مدل شماره ۱

شتاب بیشینه واردہ به پایه (m/s^2)	El Centro	Hachinohe	Kobe	Northridge
مدل شماره ۱ با جداساز لرزه‌ای غیرفعال	3.68	3.08	9.00	9.88
مدل شماره ۱ با جداساز لرزه‌ای فعال	3.05	2.17	9.31	8.77
درصد کاهش شتاب بیشینه واردہ به پایه	El Centro	Hachinohe	Kobe	Northridge
حالت با جداساز فعال نسبت به غیرفعال	17%	30%	-3%	11%

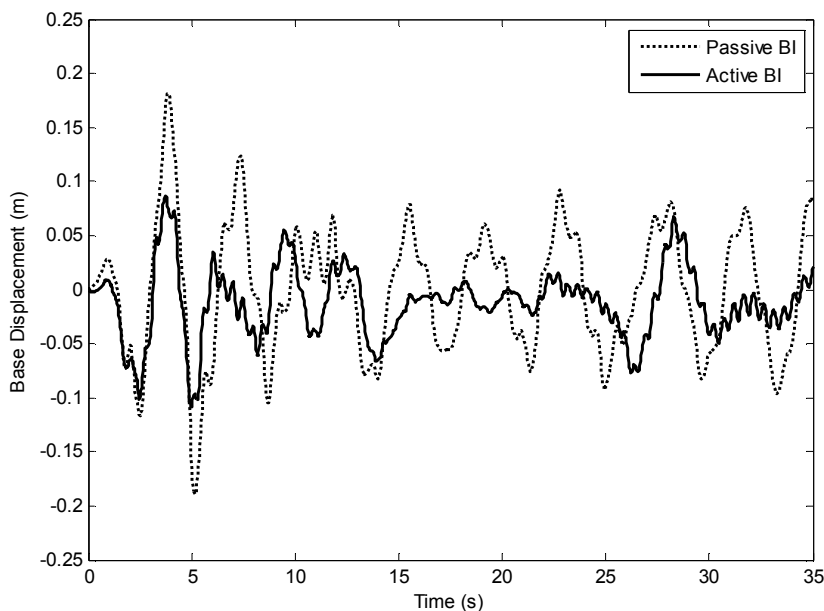
مطابق شکل‌های ۲۴-۴ و ۲۵-۴ و همچنین جدول ۱۲-۴ ، ملاحظه می‌شود که شتاب واردہ به پایه در هر دو زلزله حوزه‌زدیک و حوزه‌ دور، بر اثر کنترل فعال کاهش قابل توجهی از خود نشان نداده است و حتی در مورد زلزله کوبه افزایش نیز داشته است. با توجه به شکل‌های ۲۶-۴ و ۲۷-۴ و جدول ۱۳-۴ ، در مورد شتاب واردہ به بام نیز همین موضوع صدق می‌کند و تغییر محسوسی بین حالت کنترل فعال و غیرفعال مشاهده نمی‌گردد؛ البته به دلیل اینکه در حالت با جداساز لرزه‌ای، شتاب واردہ به سازه بطور قابل ملاحظه‌ای نسبت به حالت بدون جداساز لرزه‌ای کاهش یافته است، می‌توان نتیجه گرفت که در مجموع جداساز لرزه‌ای غیرفعال و جداساز لرزه‌ای فعال، تأثیر مطلوبی در کاهش شتاب واردہ به سازه داشته است.

جدول ۱۳-۴ : بررسی شتاب بیشینه واردہ به بام در مدل شماره ۱

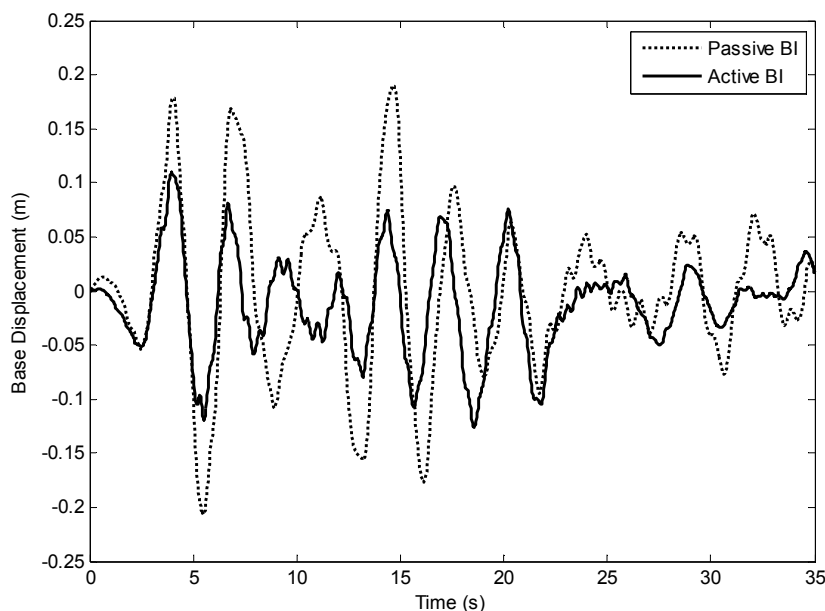
شتاب بیشینه واردہ به بام (m/s ²)	El Centro	Hachinohe	Kobe	Northridge
مدل شماره ۱ بدون جداساز لرزه‌ای	13.03	9.74	25.35	35.4
مدل شماره ۱ با جداساز لرزه‌ای غیرفعال	3.71	3.12	9.2	10.01
مدل شماره ۱ با جداساز لرزه‌ای فعال	3.22	2.33	8.89	8.85
درصد کاهش شتاب بیشینه وارده به بام	El Centro	Hachinohe	Kobe	Northridge
حالت با جداساز غیرفعال نسبت به بدون جداساز	72%	68%	64%	72%
حالت با جداساز فعال نسبت به غیرفعال	13%	25%	3.4%	12%
حالت با جداساز فعال نسبت به بدون جداساز	75%	76%	65%	75%

۲-۵-۴- تحلیل و بررسی نتایج بر روی مدل شماره ۲

الف) بررسی تغییر مکان های پایه :

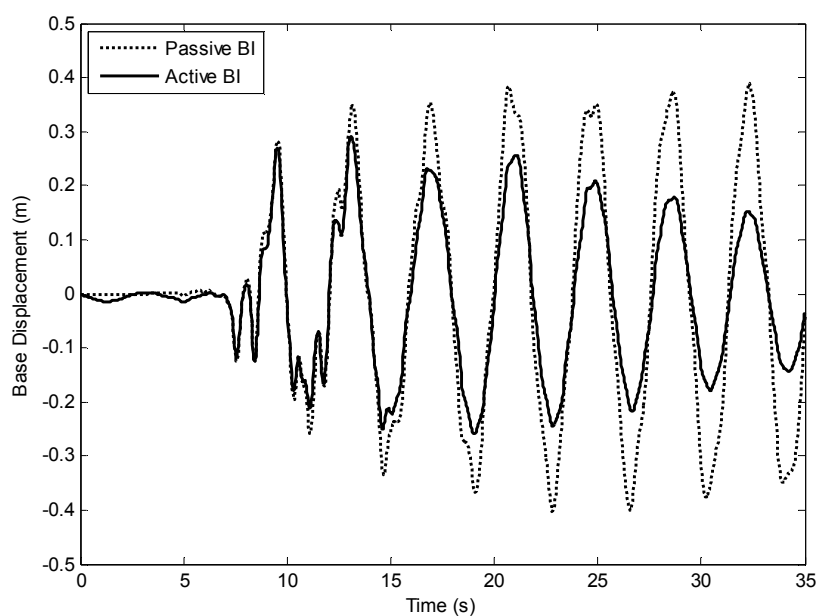


الف)

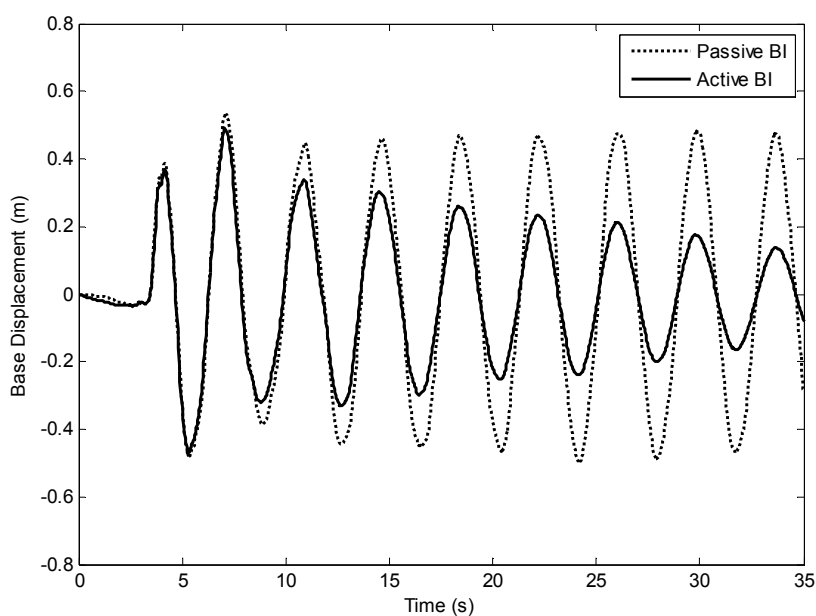


(ب)

شکل ۲۸-۴ : تغییر مکان پایه در مدل شماره ۲ تحت اثر الف) زلزله El Centro ، ب) زلزله Hachinohe



الف)



ب)

شکل ۲۹-۴ : تغییر مکان پایه در مدل شماره ۲ تحت اثر (الف) زلزله Kobe ، ب) زلزله Northridge

جدول ۱۴-۴: بررسی تغییرمکان بیشینه پایه در مدل شماره ۲

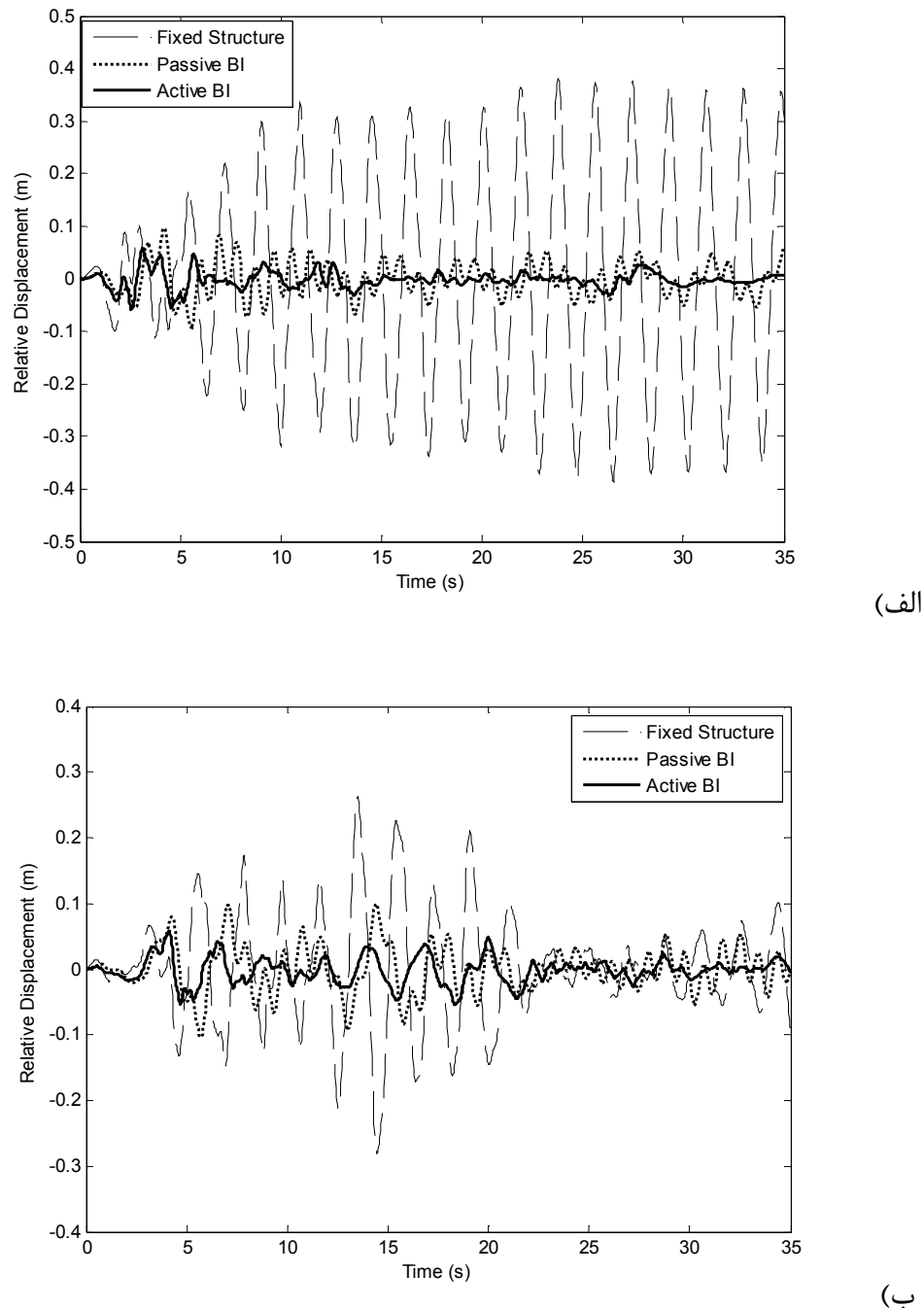
تغییرمکان بیشینه پایه (m)	El Centro	Hachinohe	Kobe	Northridge
مدل شماره ۲ با جداساز لرزه‌ای غیرفعال	0.19	0.205	0.404	0.533
مدل شماره ۲ با جداساز لرزه‌ای فعال	0.097	0.118	0.301	0.488
درصد کاهش تغییرمکان بیشینه پایه	El Centro	Hachinohe	Kobe	Northridge
حالت با جداساز فعال نسبت به غیرفعال	49%	42%	25%	8%

همانطور که در شکل ۲۸-۴ و جدول ۱۴-۴ مشاهده می‌شود، در زلزله حوزه‌دور El Centro تغییرمکان پایه در حالت کنترل فعال حدود کمتر از ۵۰ درصد حالت غیرفعال کاهش داشته است؛ همچنین در زلزله Hachinohe این کاهش تقریباً مشابه زلزله El Centro است. مطابق شکل ۲۹-۴ (الف) و همچنین با توجه به جدول ۱۴-۴، ملاحظه می‌شود که در زلزله حوزه‌نزدیک Kobe تغییرمکان پایه در حالت کنترل فعال تنها تا حدود ۲۵ درصد حالت غیرفعال کاهش یافته است. همانند مدل شماره ۱ این امر نشان می‌دهد که کنترل فعال تأثیر کمتری روی کاهش تغییرمکان پایه در زلزله‌های حوزه‌نزدیک نسبت به زلزله‌های حوزه‌دور دارد. از طرفی شکل ۲۹-۴ (ب) نیز که مربوط به زلزله حوزه‌نزدیک Northridge است، همین قضیه را تأیید می‌کند و تغییرمکان پایه در حالت جداسازی فعال نسبت به حالت غیرفعال، کاهش بسیار ناچیزی از خود نشان

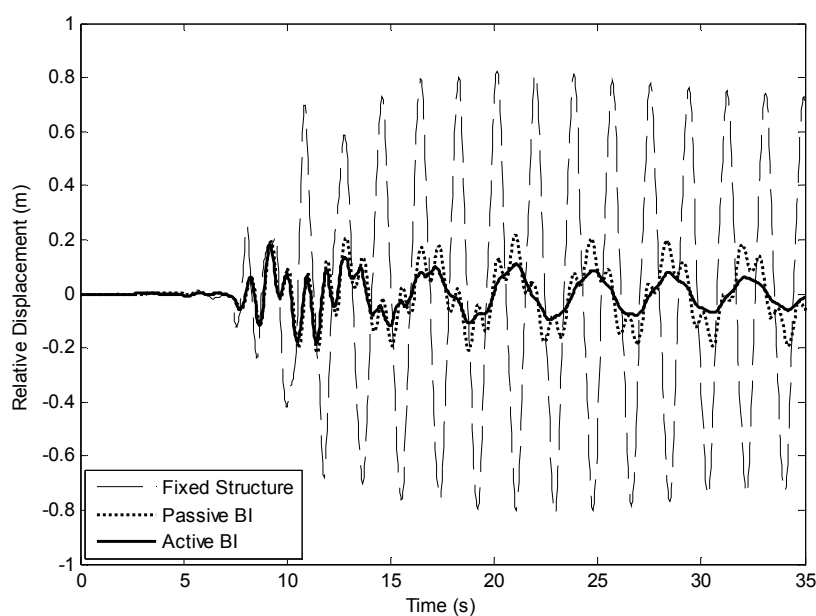
داده است.

طبق جدول ۱۴-۴ ملاحظه می‌گردد که درصدهای کاهش در مدل شماره ۲ نسبت به مقادیر کاهش در مدل شماره ۱، کمتر است و نشان‌دهنده تأثیر ضعیف کنترل فعال در کاهش تغییرمکان پایه در مدل شماره ۲ است؛ بخصوص در زلزله‌های حوزه‌نزدیک این تأثیر بسیار ناچیز است.

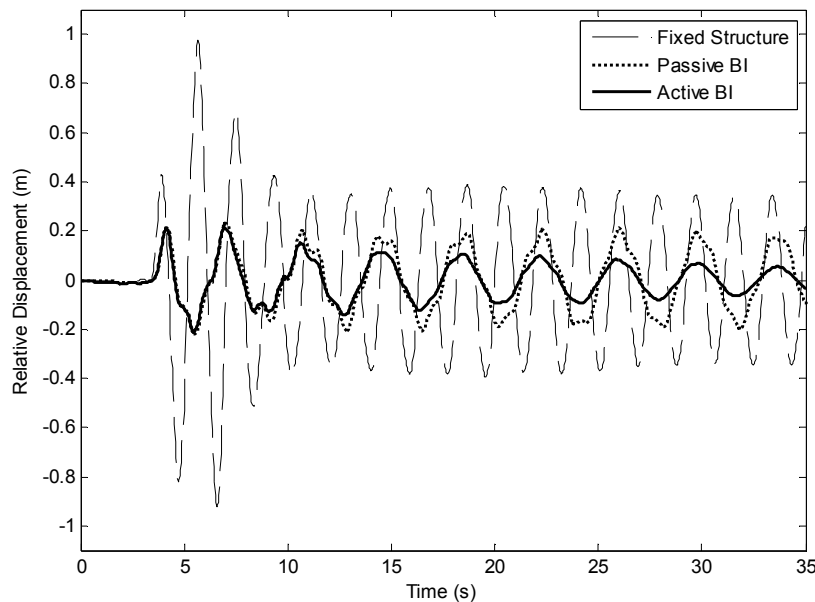
ب) بررسی تغییر مکان نسبی بام :



شکل ۳۰-۴ : تغییر مکان نسبی بام در مدل شماره ۲ تحت اثر الف) زلزله El Centro ، ب) زلزله Hachinohe



الف)



ب)

شكل ٣١-٤ : تغيير مكان نسبی بام در مدل شماره ۲ تحت اثر (الف) زلزله Kobe ، (ب) زلزله Northridge

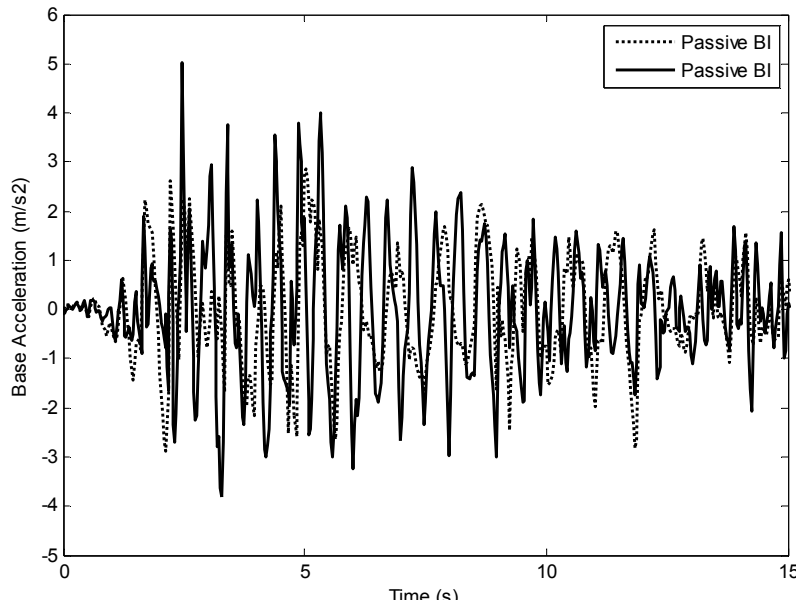
جدول ۴-۱۵: بررسی تغییر مکان بیشینه بام نسبت به پایه در مدل شماره ۲

تغییر مکان بیشینه بام نسبت به پایه (m)	El Centro	Hachinohe	Kobe	Northridge
مدل شماره ۲ بدون جداساز لرزه‌ای	0.39	0.281	0.824	0.976
مدل شماره ۲ با جداساز لرزه‌ای غیرفعال	0.097	0.104	0.218	0.234
مدل شماره ۲ با جداساز لرزه‌ای فعال	0.059	0.059	0.185	0.213
درصد کاهش تغییر مکان بیشینه بام نسبت به پایه	El Centro	Hachinohe	Kobe	Northridge
حالت با جداساز غیرفعال نسبت به بدون جداساز	75%	63%	74%	76%
حالت با جداساز فعال نسبت به غیرفعال	39%	43%	15%	9%
حالت با جداساز فعال نسبت به بدون جداساز	85%	79%	78%	78%

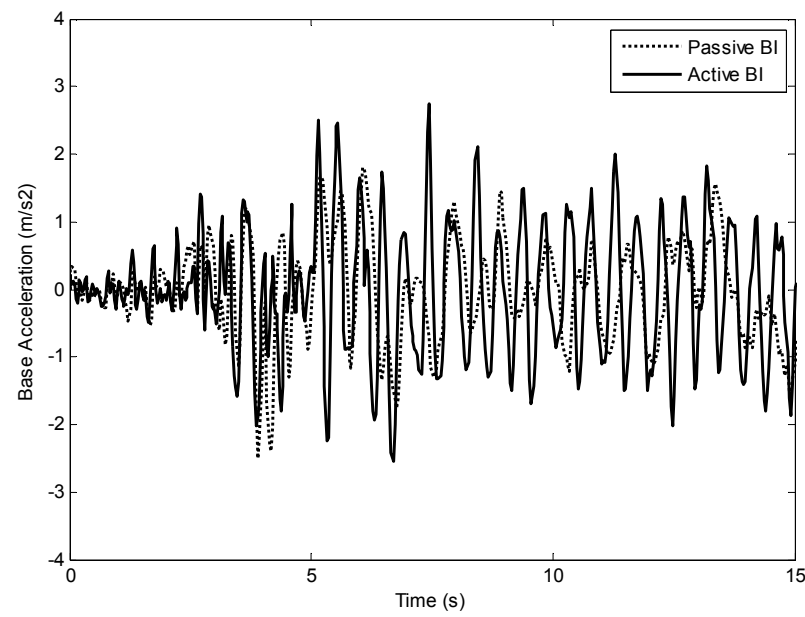
مطابق شکل ۳۰-۴ و ۳۱-۴ ملاحظه می‌گردد که تغییرمکان نسبی بام در حالت کنترل غیرفعال نسبت به حالت بدون جداساز لرزه‌ای کاهش چشمگیری داشته‌است؛ این امر به دلیل سختی بسیار ناچیز جداساز در مقایسه با سختی طبقات است که باعث می‌شود نیروی بسیار کمی به روسازه انتقال یابد. با اعمال سیستم کنترل فعال تغییرمکان بام مجدداً کاهش داشته‌است که نشان‌دهنده تأثیر مطلوب کنترل فعال بر روی سازه است. این کاهش در زلزله‌های حوزه‌دور مقدار بیشتری را نسبت به زلزله‌های حوزه‌منزدیک به خود اختصاص داده است.

لازم به ذکر است که به دلیل اینکه تغییرمکان‌های پایه در هر دو حالت کنترل فعال و غیرفعال در مدل شماره ۲ مقادیر بالایی دارند، لذا کاهش جزئی تغییرمکان نسبی بام در حالت کنترل فعال نمی‌تواند اهمیت زیادی داشته باشد.

پ) بررسی شتاب واردہ به سازه:

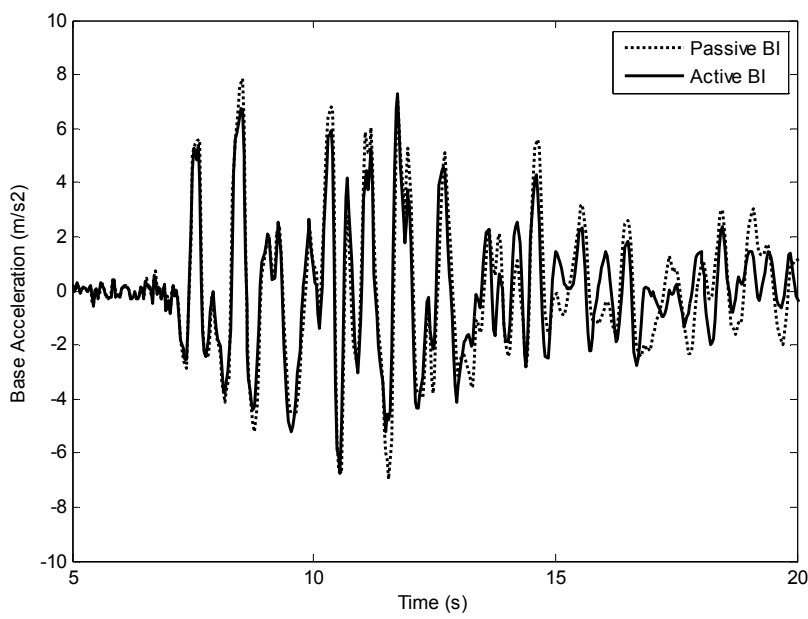


الف)

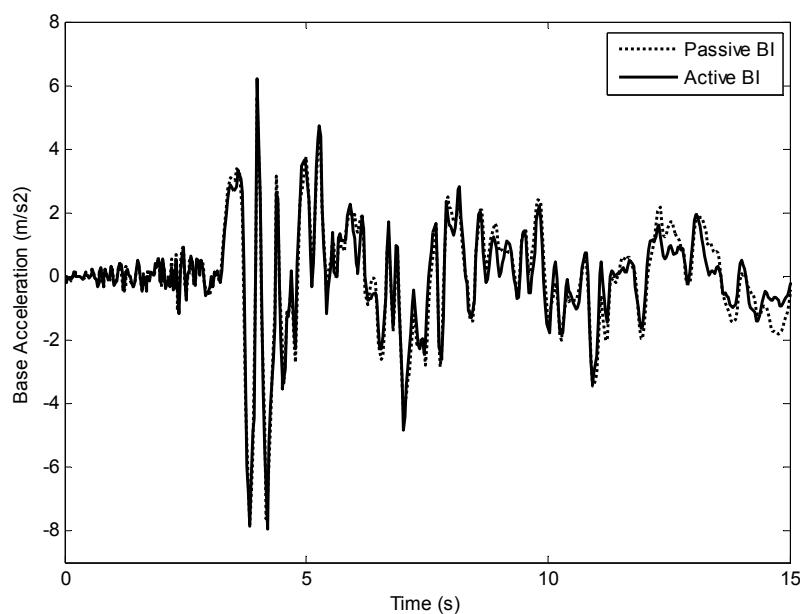


ب)

شکل ۳۲-۴: شتاب واردہ به پایه در مدل شماره ۲ تحت اثر (الف) زلزله El Centro ، ب) زلزله Hachinohe

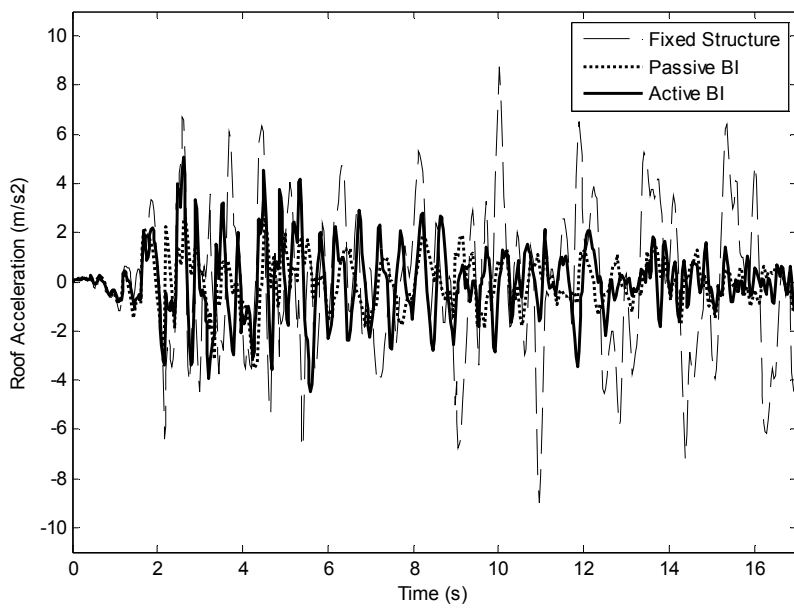


الف)

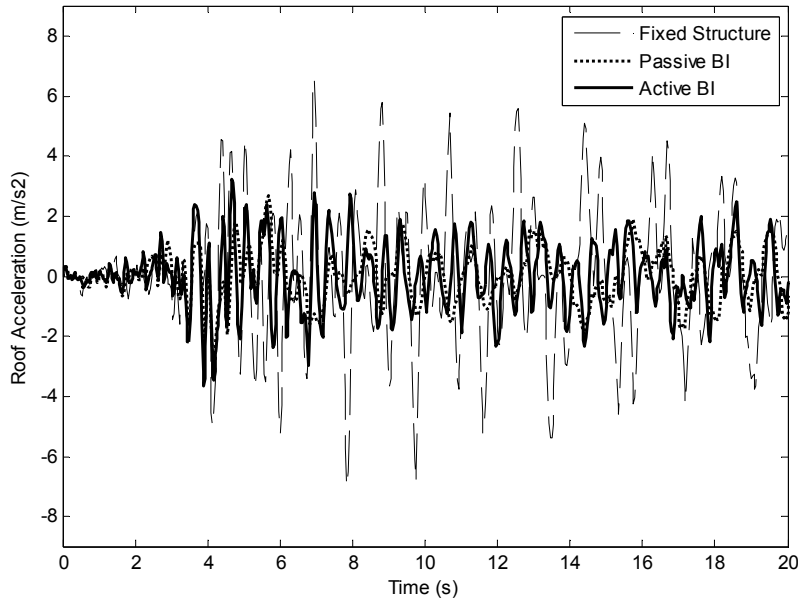


ب)

شکل ۳۳-۴: شتاب واردہ به پایه در مدل شماره ۲ تحت اثر (الف) زلزله Kobe ، ب) زلزله

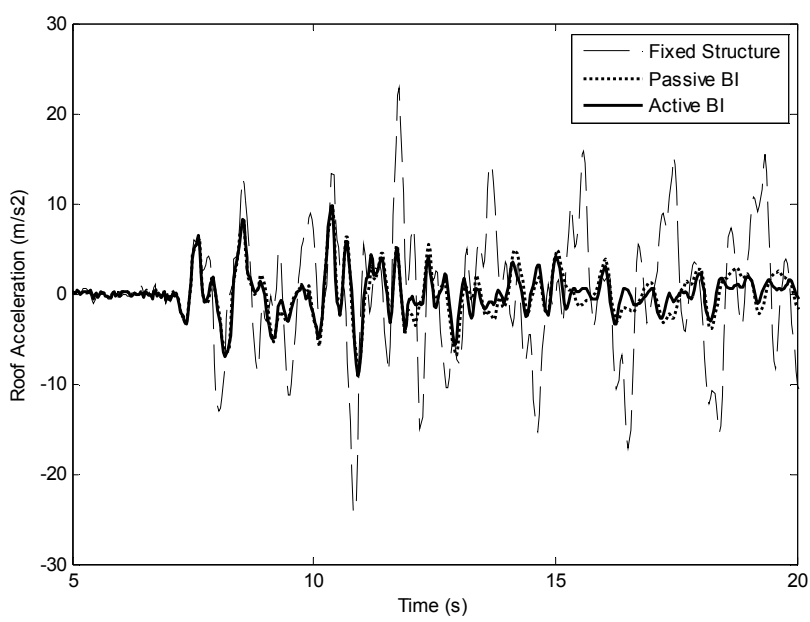


الف)

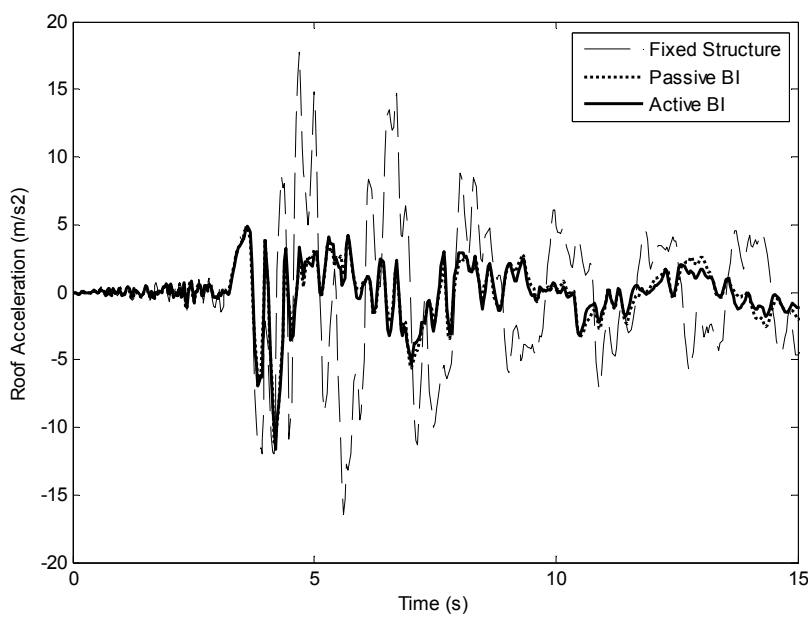


ب)

شكل ٣٤-٤ : شتاب واردہ به بام در مدل شماره ۲ تحت اثر (الف) زلزله El Centro ، (ب) زلزله Hachinohe



الف)



ب)

شكل ٣٥-٤ : شتاب وارده به بام در مدل شماره ۲ تحت اثر الف) زلزله Kobe ، ب) زلزله Northridge

جدول ۱۶-۴: بررسی شتاب بیشینه واردہ به پایه در مدل شماره ۲

شتاب بیشینه واردہ به پایه (m/s ²)	El Centro	Hachinohe	Kobe	Northridge
مدل شماره ۲ با جداساز لرزه‌ای غیرفعال	2.88	2.49	7.87	7.84
مدل شماره ۲ با جداساز لرزه‌ای فعال	4.1	2.48	7.24	7.94
درصد کاهش شتاب بیشینه وارده به پایه	El Centro	Hachinohe	Kobe	Northridge
حالت با جداساز فعال نسبت به غیرفعال	-42%	0%	8%	-1.3%

مطابق شکل‌های ۳۲-۴ و ۳۳-۴ و همچنین جدول ۱۶-۴، ملاحظه می‌شود که شتاب واردہ به پایه در هر دو نوع زلزله حوزه‌نزدیک و حوزه دور، بر اثر کنترل فعال تغییر قابل توجهی از خود نشان نداده است و حتی در مواردی تأثیر نامطلوبی داشته است.

مطابق شکل‌های ۳۴-۴ و ۳۵-۴ و جدول ۱۷-۴، مشاهده می‌گردد که در تمامی موارد کنترل فعال تأثیر نامطلوب بر شتاب واردہ به بام داشته است؛ البته به دلیل اینکه در حالت جداساز لرزه‌ای غیرفعال شتاب واردہ به سازه بطور قابل ملاحظه‌ای نسبت به حالت بدون جداساز لرزه‌ای کاهش یافته است، می‌توان نتیجه گرفت که در مجموع جداساز لرزه‌ای، تأثیر مطلوبی در کاهش شتاب واردہ به سازه دارد.

با مقایسه درصدهای کاهش شتاب بیشینه واردہ به بام در مدل شماره ۱ و ۲، نتیجه می‌شود که با زیاد شدن ارتفاع سازه از تأثیر کاهنگی شتاب واردہ به سازه در اثر جداسازی لرزه‌ای بخصوص جداسازی لرزه‌ای فعال، کاسته شده است.

جدول ۴-۱۷: بررسی شتاب بیشینه واردہ به بام در مدل شماره ۲

شتاب بیشینه واردہ به بام (m/s^2)	El Centro	Hachinohe	Kobe	Northridge
مدل شماره ۲ بدون جداساز لرزه‌ای	8.96	6.99	24.30	17.78
مدل شماره ۲ با جداساز لرزه‌ای غیرفعال	3.49	2.89	9.79	11.07
مدل شماره ۲ با جداساز لرزه‌ای فعال	5.33	3.37	10.15	11.62
درصد کاهش شتاب بیشینه واردہ به بام	El Centro	Hachinohe	Kobe	Northridge
حالت با جداساز غیرفعال نسبت به بدون جداساز	61%	59%	60%	38%
حالت با جداساز فعال نسبت به غیرفعال	-53%	-17%	-3.7%	-5%
حالت با جداساز فعال نسبت به بدون جداساز	41%	52%	58%	35%

فصل پنجم

نتیجه گیری

“Experimentalists think that it is a mathematical theorem while the mathematicians believe it to be an experimental fact.” *Gabriel Lippman*

در این تحقیق، تأثیر جداسازهای لرزه‌ای فعال بر روی سازه‌های با ارتفاع کم و متوسط تحت اثر زلزله‌های حوزه‌نزدیک و حوزه‌دور مورد بررسی قرار گرفت که نتایج شبیه‌سازی عددی حاکی از آن است که :

۱- یکی از مشکلات سیستم جداساز لرزه‌ای غیرفعال، تغییر مکان زیاد پایه در هر دو نوع زلزله، مخصوصاً زلزله حوزه‌نزدیک است که سیستم جداساز لرزه‌ای فعال با کاهش قابل ملاحظه تغییر مکان پایه، این مشکل را مرتفع می‌کند.

۲- بر اثر کنترل فعال جداسازهای لرزه‌ای، پاسخ تغییر مکان پایه در زلزله‌های حوزه‌دور کاهش بیشتری نسبت به زلزله‌های حوزه‌نزدیک از خود نشان می‌دهد. یکی از دلایل این امر پایین بودن فرکانس زمین‌لرزه‌های حوزه‌نزدیک و همچنین سازه‌های جداسازی شده است که باعث می‌شود سازه به حالت تشدید نزدیک شود.

۳- تغییر مکان نسبی بام در حالت جداساز لرزه‌ای غیرفعال نسبت به حالت بدون جداساز لرزه‌ای کاهش چشمگیری داشته است، با اعمال سیستم کنترل فعال تغییر مکان بام مجدداً کاهش داشته است که نشان‌دهنده تأثیر مطلوب کنترل فعال بر روی پاسخ سازه است. همچنین از بررسی نمودارهای مربوط به تغییر مکان بام در هر دو نوع زلزله نتیجه می‌شود که فرکانس سازه بر اثر جداسازی لرزه‌ای به شدت پایین آمده است.

۴- در هر دو نوع زلزله با استفاده از سیستم جداساز لرزه‌ای غیرفعال، شتاب واردہ به سازه کاهش قابل توجهی نسبت به حالت بدون جداساز پیدا می‌کند. با اعمال سیستم کنترل فعال، پاسخ شتاب واردہ به سازه تغییر قابل ملاحظه‌ای پیدا نمی‌کند؛ در مجموع می‌توان

گفت که در هر دو حالت جداسازی فعال و غیرفعال، کاهش پاسخ شتاب مطلوب بوده است.

۵- در صد کاهش تغییر مکان پایه و تغییر مکان نسبی بام بر اثر کنترل فعال در هردو نوع زلزله حوزه دور و حوزه نزدیک، در مدل شماره ۱ که یک سازه با ارتفاع کم محسوب می‌گردد، طور قابل توجهی بیشتر از مدل شماره ۲ که یک سازه با ارتفاع متوسط است، می‌باشد که نشان‌دهنده آن است که با زیاد شدن ارتفاع سازه، از کارآیی سیستم جداساز لرزه‌ای فعال، کاسته شده است.

۶- از مقایسه مدل شماره ۱ و ۲ نتیجه می‌شود که با زیاد شدن ارتفاع سازه از تأثیر کاهنده‌گی سیستم جداساز لرزه‌ای بر روی پاسخ شتاب وارد به سازه، کاسته می‌شود و حتی با اضافه کردن سیستم کنترل فعال، این تأثیر ضعیفتر می‌گردد.

پیشنهادات

- ۱- بررسی تأثیر استفاده از جداسازها در نیروی برشی پایه و سایر نیروهای وارد بر سازه در اثر زلزله و در نتیجه تغییر مقاطع طراحی و کاهش وزن سازه.
- ۲- استفاده از رویتگر و خارج شدن از حالت full state feedback برای بررسی کارآیی الگوریتم LQR.
- ۳- استفاده از سایر الگوریتم های موجود و مقایسه آن با الگوریتم LQR.
- ۴- بررسی روش های کنترل نیمه فعال و مقایسه عملکرد آن با روش های کنترل فعال.

مراجع

- 1.Komodromos. P., (2000), “**Seismic Isolation for Earthquake Resistant Structures,**” WIT PRESS.
- 2.Fragiacomo M., Rajgelj S. and Cimadom F., (2003), “**Design of bilinear hysteretic isolation system,**” Earthquake Eng. Struct. Dyn.
- 3.Nagarajaiah S., Sahasrabudhe S., (2006), “**Seismic response control of smart sliding isolated buildings using variable stiffness systems: An experimental and numerical study,**” Earthquake Eng. Struct. Dyn., 35, p.177-197.
- 4.Masahiko Higashino and Shin Okamoto, (2006), “**Response Control and Seismic Isolation of Buildings,**” Taylor & Francis group, LONDON AND NEW YORK.
- 5.Franklin Y.Cheng, Hongping Jiang, Kangyu Lou, (2008), “**Smart Structures Innovative Systems for Seismic Response Control,** ” Taylor & Francis group, LONDON AND NEW YORK.
- 6.A. Preumont and K. Seto, (2008), “**Active Control of Structures,**” John Wiley & Sons, Ltd, Publication.
- 7.T.T.Soong and M.C.Constantinou, (1994), “**Passive and Active Structural Vibration Control in Civil Engineering,**” SPRINGER-VERLAG, WIEN-NEW YORK.
- 8.سونگ تی.تی. ، دارگوش جی.اف. ، "سیستم‌های اتلاف انرژی غیرفعال در مهندسی سازه" ترجمه مهران تیو و بابک کریمخانی، (۱۳۸۱)، تهران، پژوهشگاه بین‌المللی زلزله‌شناسی و مهندسی زلزله.
9. T.T.Soong and Spencer Jr.B.F., (2002), “**Supplemental Energy Dissipation : state of the art and state of the practice,**” Eng.Struct., Vol.24, Part.3.
10. تقی راد ح، (۱۳۸۲)، " مقدمه‌ای بر کنترل مدرن،" دانشگاه صنعتی خواجه نصیرالدین طوسی، تهران.
11. نصرالله الحسینی ه ، (۱۳۸۶)، پایان‌نامه کارشناسی ارشد : "استفاده از میراگر نیمه‌فعال MR برای کنترل سازه‌ها،" دانشکده عمران و معماری، دانشگاه صنعتی شاهروود.
- 12.Dingyu Xue, Yang Quan Chen, Derek P. Atherton, (2007), “**Linear Feedback**

Control Analysis and Design with MATLAB,” siam, Society for Industrial and Applied Mathematics, Philadelphia.

13.Erik A. Johnson, Juan C. Ramallo, Billie F. Spencer, and Michael K. Sain, (1998), “**Intelligent Base Isolation Systems,**” Presented at the Second World Conference on Structural Control, Kyoto, Japan.

14.Oral Buyukozturk and Oguz Gunes , (2003), “**Advances in Earthquake Risk Assessment and Hazard Reduction for Large Inventory of Structures with High Characteristic Variability,**” Massachusetts Institute of Technology, Cambridge, Massachusetts 02139,U.S.A.

15.Rahmi Guclu, Hakan Yazici, (2008), “**Vibration control of a structure with ATMD against earthquake using fuzzy logic controllers,**” Journal of Sound and Vibration 318 (2008) 36–49.

16. Tsang H.H., Su R.K.L, Chandler A.M., (2006), “**Simplified inverse dynamics models for MR fluid dampers,**” Journal of Engineering Structures. 28, p.p. 327–341.

17. Yang, J. N., Li, Z., and Vongchavalitkul, S., (1992), “**A generalization of optimal control theory: Linear and nonlinear control,**” Technical Rep. NCEER-92-26, National Center for Earthquake Engineering Research, Buffalo, N.Y.

18.Tzu-Ying Lee and Kazuhiko Kawashima (2006), “**Effectiveness of Seismic Displacement Response Control for Nonlinear Isolated Bridge,**” Doboku Gakkai Ronbunshuu A Vol.62 No.1.

19. Katsushiko Ogata, (1997), “**Modern Control Engineering,**” University of Minnesota, Prentice Hall, Inc. Upper Saddle River, New Jersey.

20.Charles De Vore, Chia-Ming Chang, B.F. Spencer, (2007), “**Active Base Isolation of Building Structures in Two Dimensions,**” Proceeding of the 2007 Earthquake Engineering Symposium for Young Researchers.

21. J. C. Ramallo, E. A. Johnson and B. F. Spencer, (2002), “**Smart Base Isolation Systems,**” Journal of Engineering Mechanics, Page 1088.

۲۲. امانپور آ، زهرايی م، تقى خانى ت، (۱۳۸۷)، ”**بررسی کارآیی الگوریتم LQR در راندمان جداسازی لرزهای در برابر زلزله‌های حوزه دور و حوزه نزدیک،**” ارائه شده در چهارمین کنگره ملی مهندسی عمران، دانشگاه تهران.

۲۳. تهرانی‌زاده حقیقی‌فر، برومند پ، (۱۳۸۷)، "بررسی عملکرد جداسازی از پایه در برابر زمین‌لرزه‌های حوزه‌نژدیک،" ارائه شده در اولین کنفرانس بین‌المللی مقاوم‌سازی لرزه‌ای، تبریز، ایران.

24. Alessandro Baratta, Ileana Corbi, (2002), "**Optimal design of base-isolators in multi-storey buildings**," Science Direct, Computers & Structures.

25. Wodek K. Gawronski, (2004), "**Advanced Structural Dynamics and Active Control of Structures**," Springer-Verlag New York Berlin Heidelberg.

Abstract

In this research the effectiveness of active base isolation system on vibration response of multi degree of freedom construction has been studied. Using of base isolation system is one of the most effective ways for vibration control of construction and mitigation of this vibration. Using of passive base isolation can not be desirable because constructions occur under variable condition of lateral loading. Apply of active base isolation system is proper solution for this problem.

Several algorithms is available for controlling of active systems, in this research have been used of Linear Quadratic Regulator algorithm (LQR). First, have been studied a five degree of freedom construction modeled by MATLAB in three states without base isolation, with passive base isolation and with active base isolation that have been occurred under two types of earthquakes near-field and far-field. Formulation has been done by matrix equations for without base isolation and with passive base isolation states, also formulation has been done by state space equations for with active base isolation state. Results indicate that active control system has desirable effect on vibration control of construction.

Then for investigation on performance of base isolation in high-rise structures, a fourteen degree of freedom construction has been studied. Results indicate that base isolation has not desirable effect on vibration control of high-rise structures.

In this method (LQR) for calculation of weighting matrixes Q and R in each type of earthquake and model, have been done parameteric study on weighting matrixes and have been determined based on desirable parameter of design.

Key words: Active base isolation, Vibration control, Near-field & Far-field Earthquakes, LQR.



Shahrood University of Technology
Architecture and Civil Engineering Faculty

Investigation on Active Seismic Isolation

Mohsen Barabadi

Supervisor:
Dr A. Keyhani

Advisor:
Dr R. Amini

Thesis submitted for the degree of Master of Science

June 2010